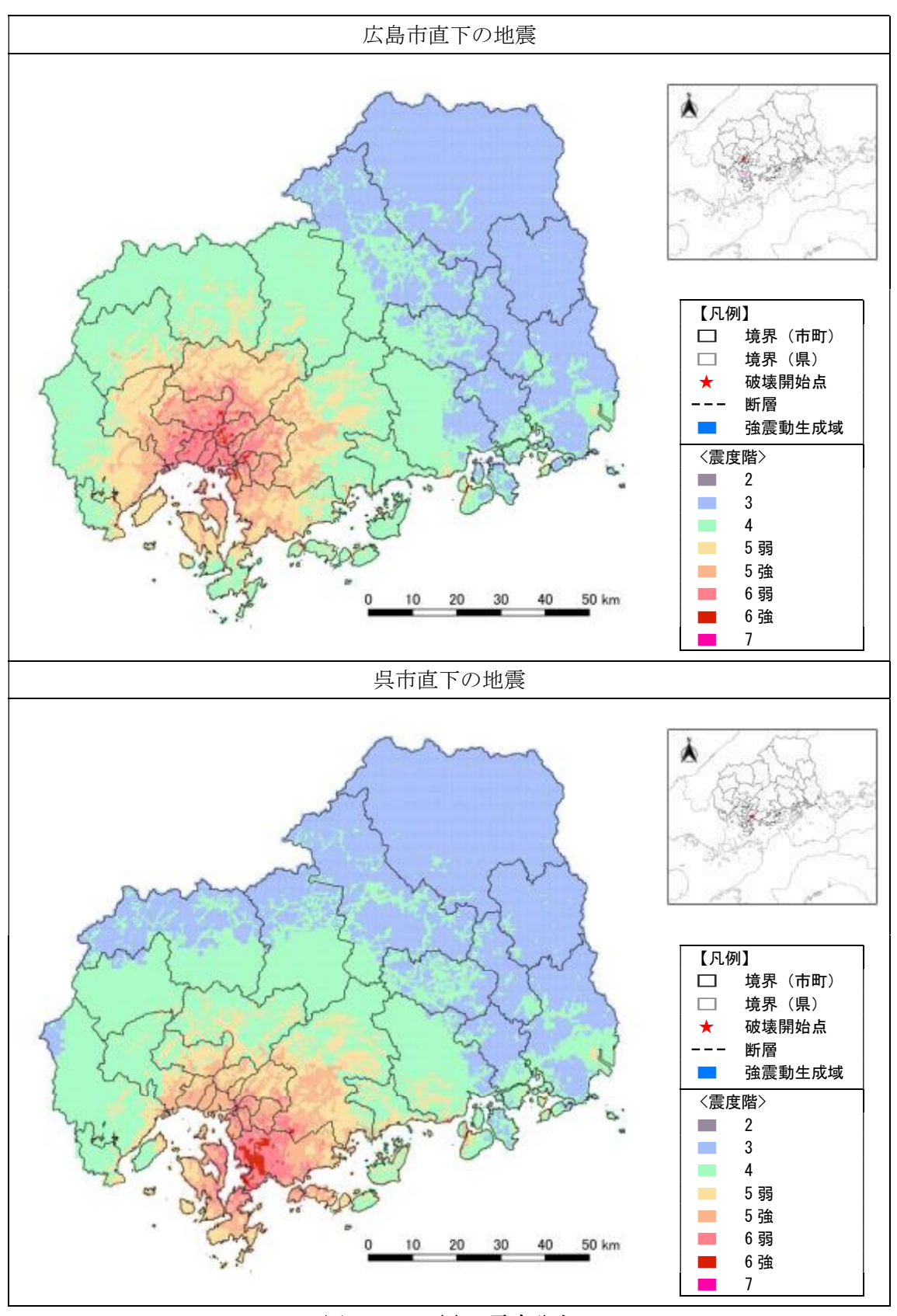
第2章 どこでも起こりうる直下の地震

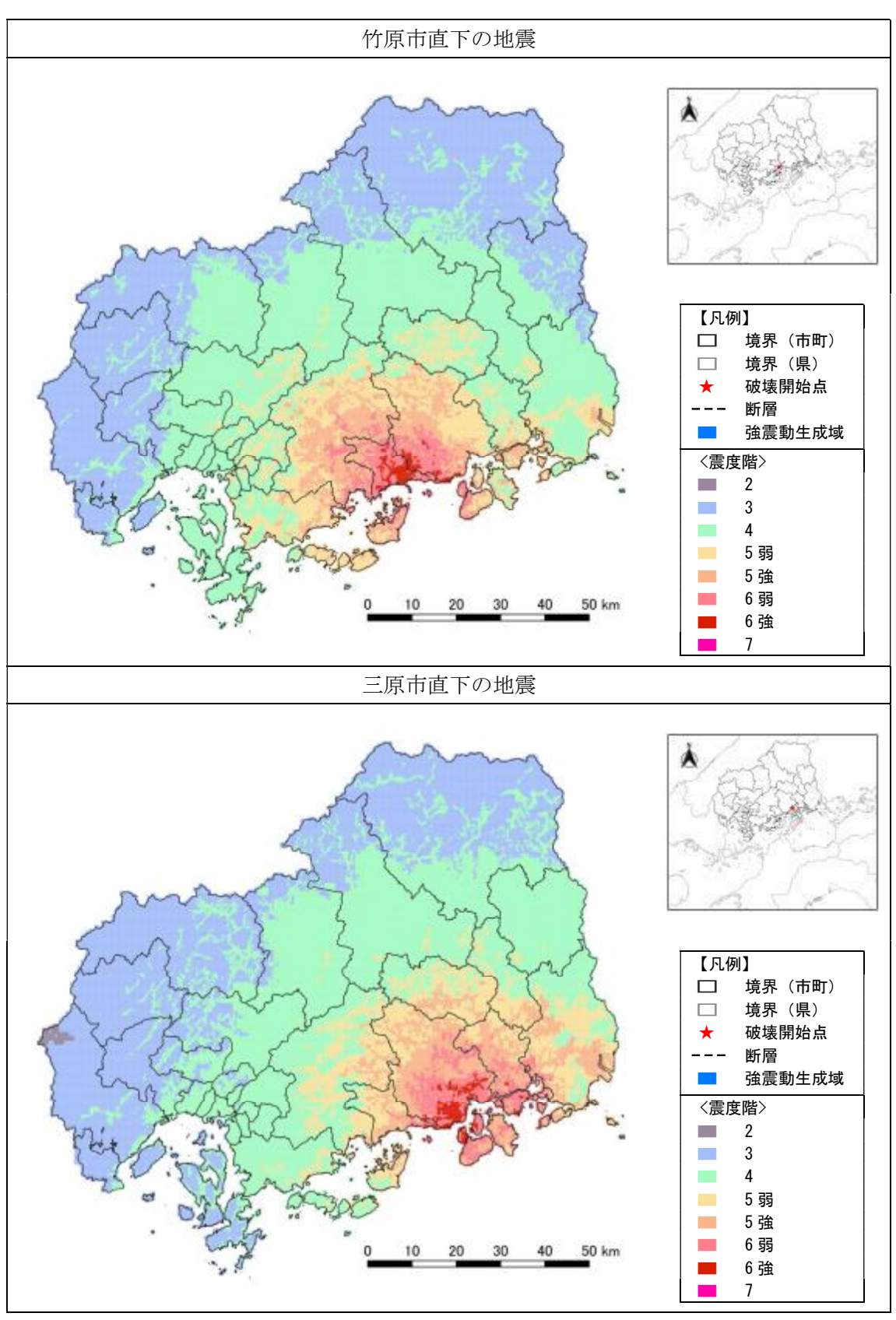
1 地震動等の予測

(1) 地震動

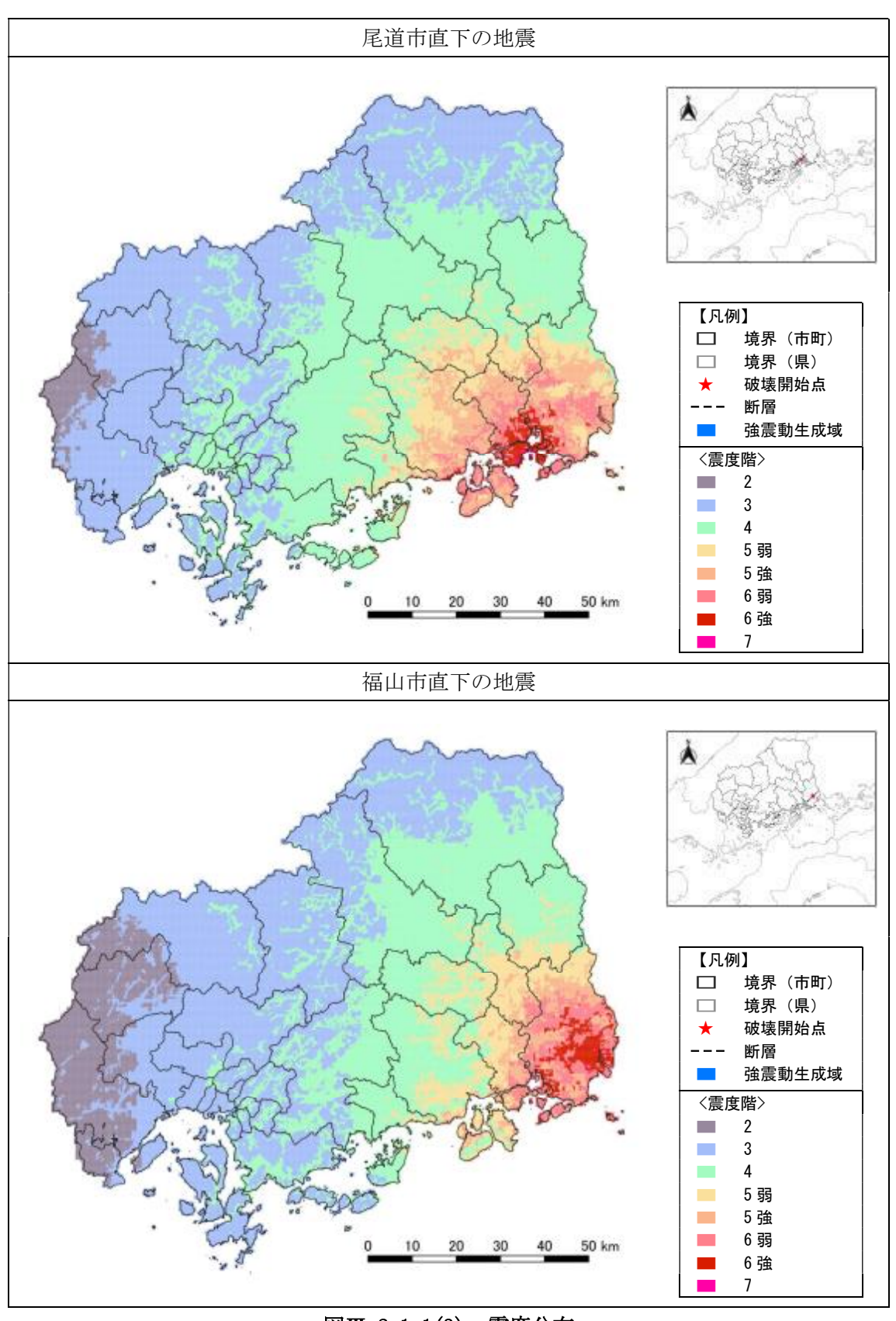
県内各市町役場の所在地に震源位置を仮定した23の地震を想定地震とする地震動の分布を250mメッシュで示す。



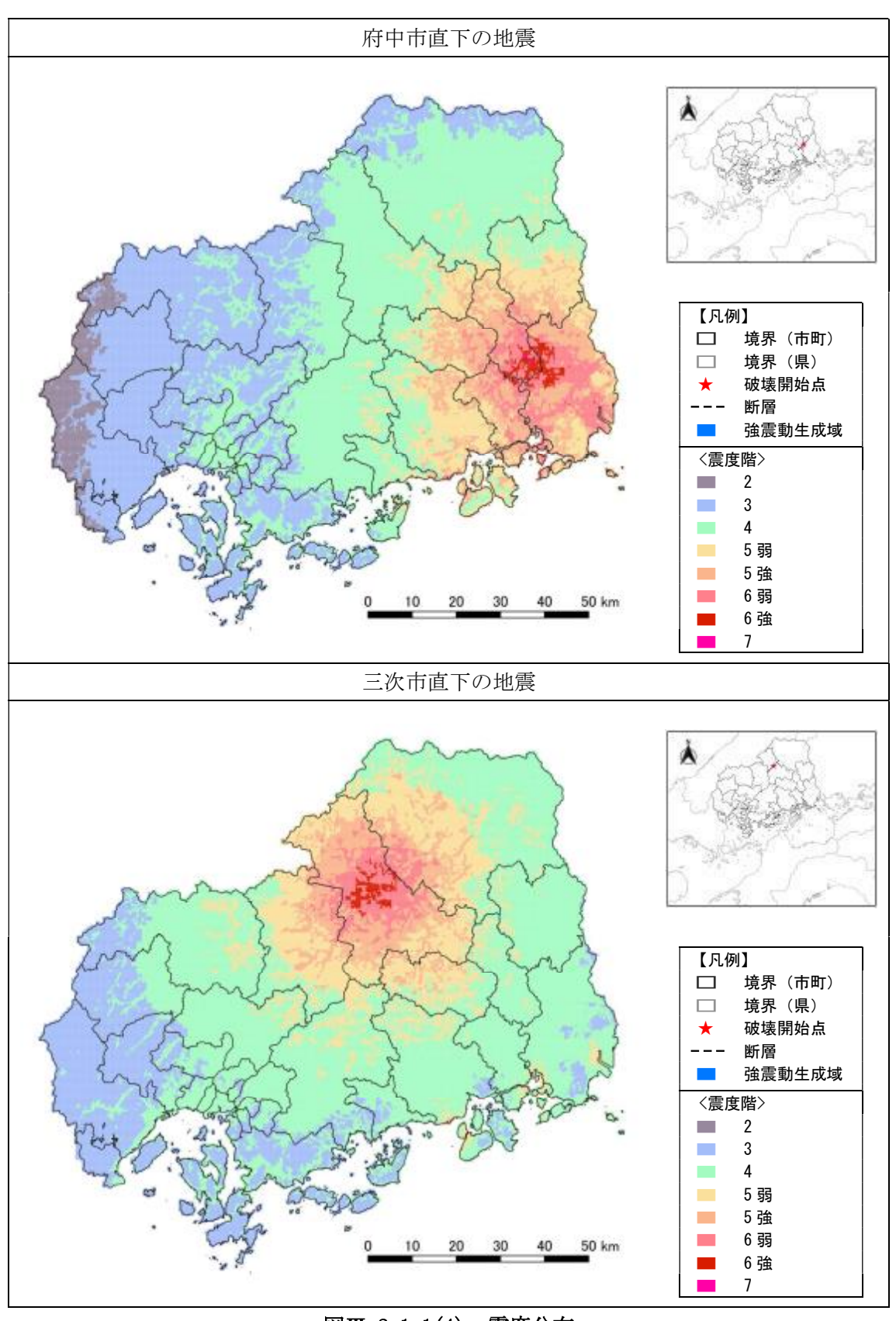
図Ⅲ.2.1-1(1) 震度分布



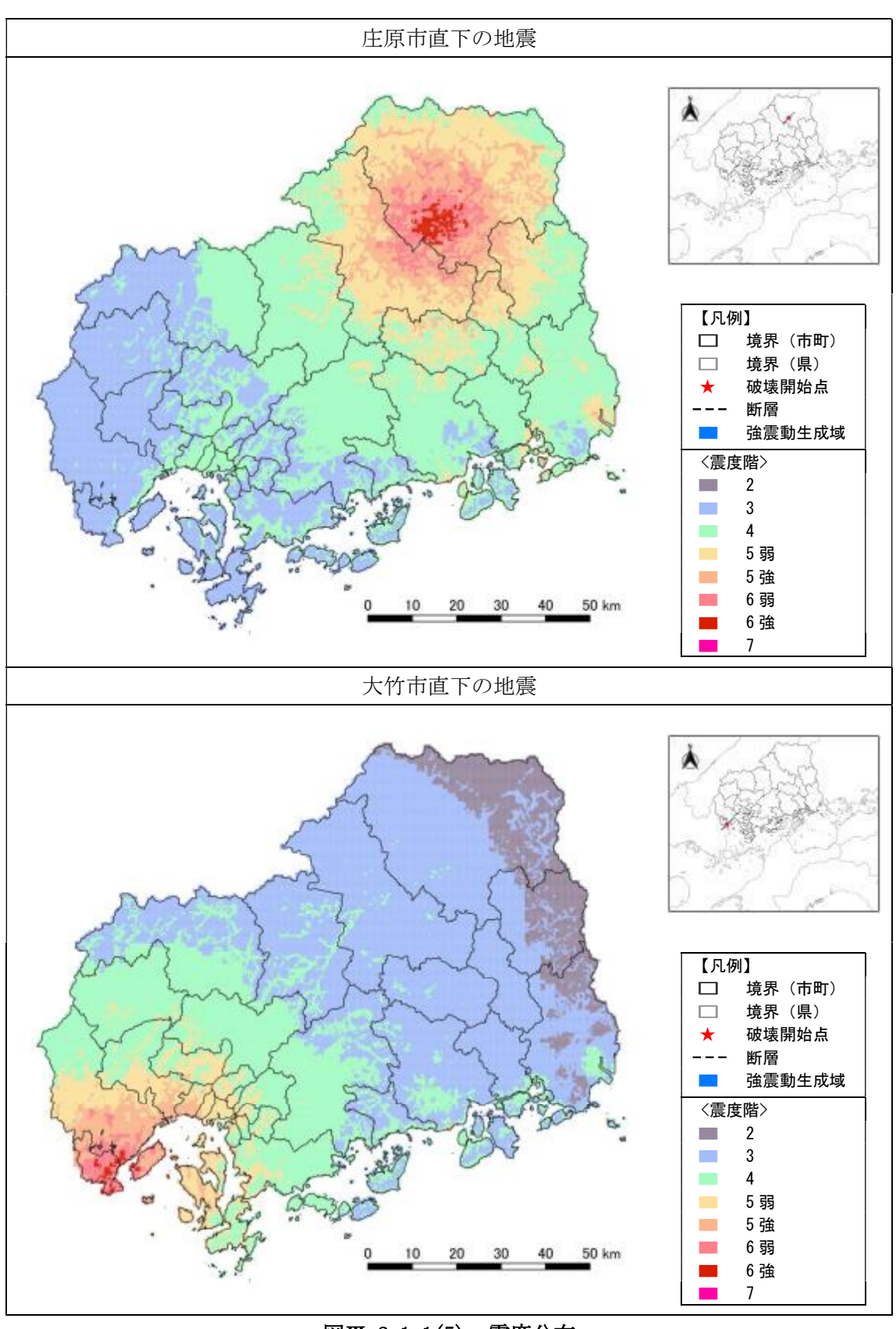
図Ⅲ.2.1-1(2) 震度分布



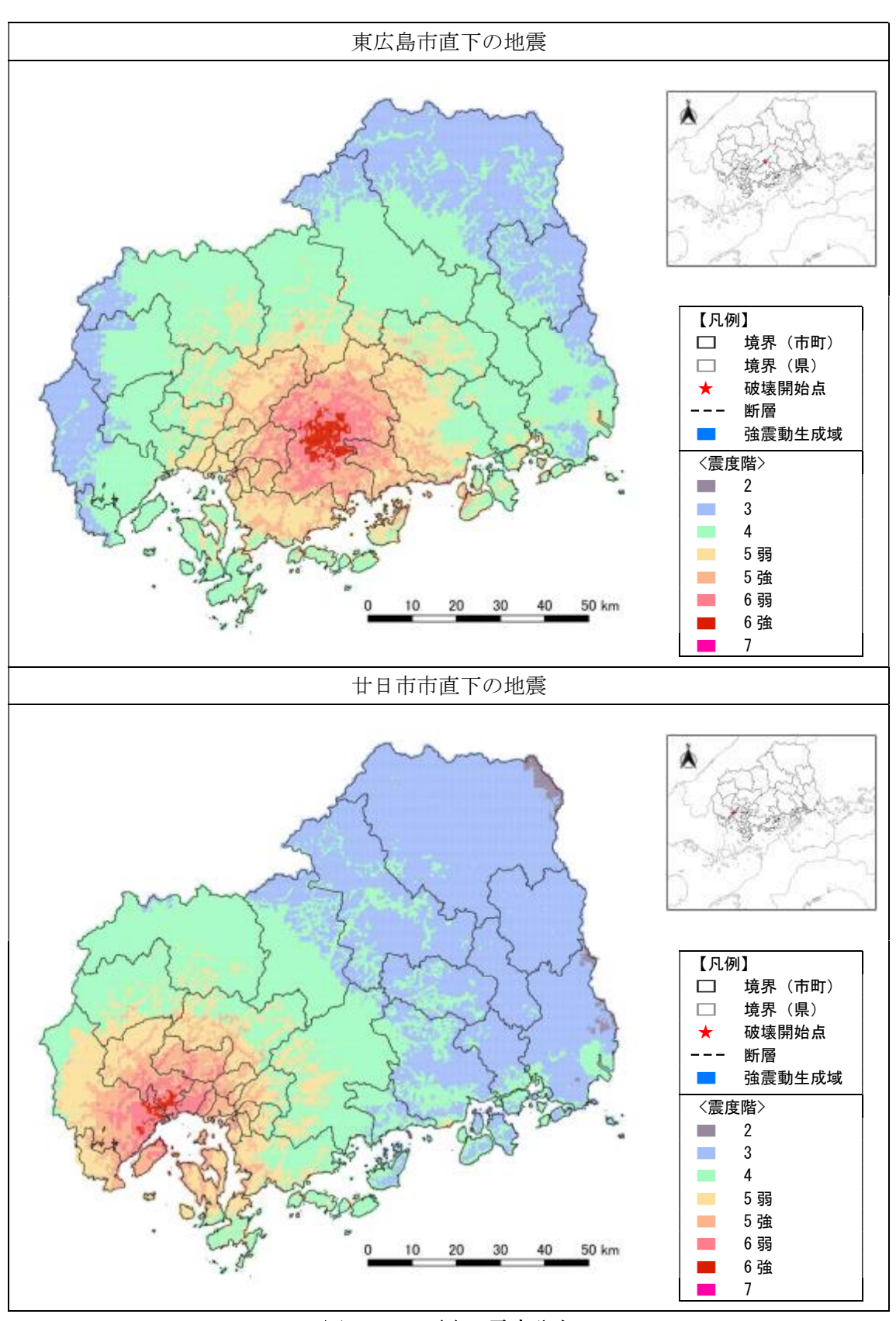
図Ⅲ.2.1-1(3) 震度分布



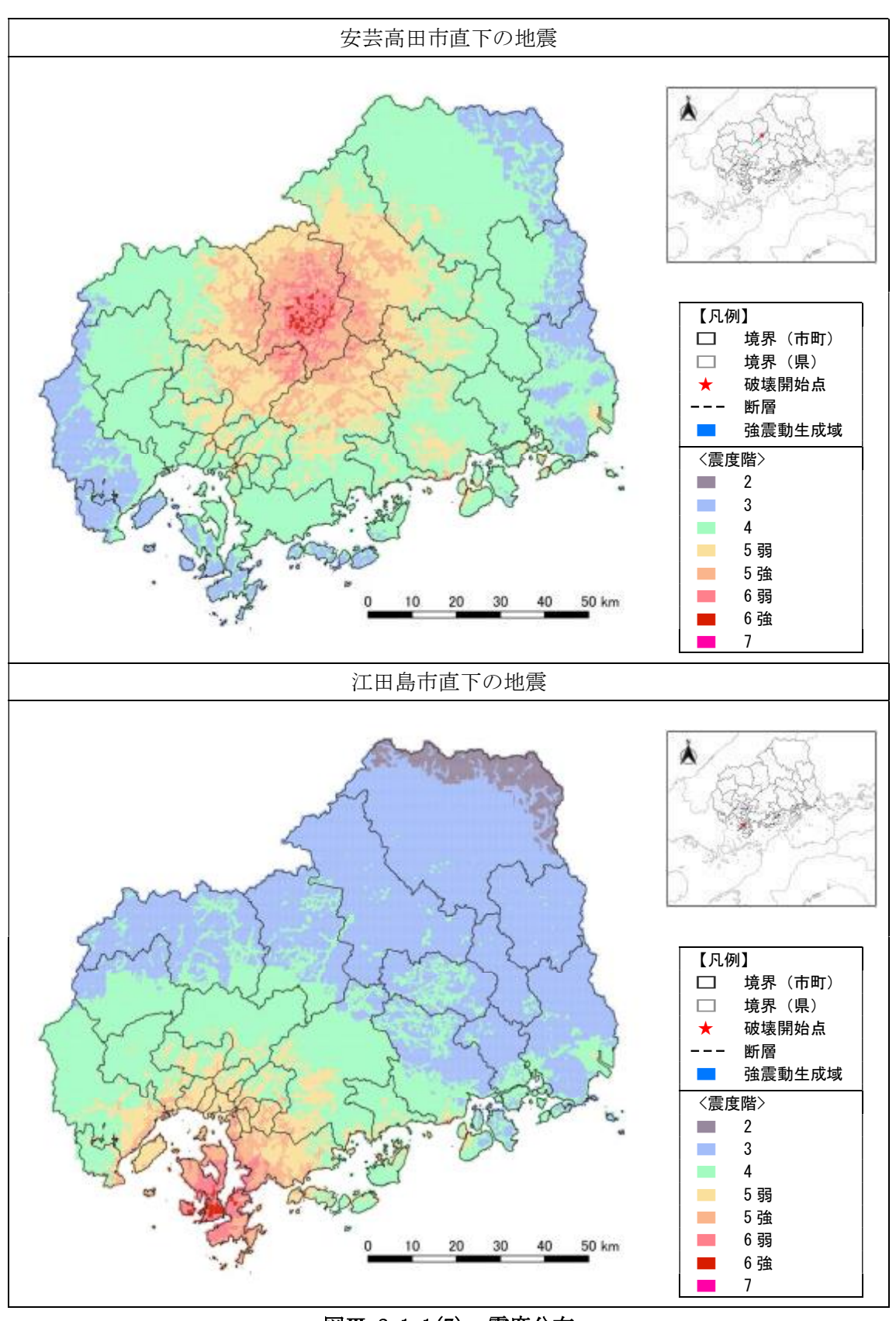
図Ⅲ.2.1-1(4) 震度分布



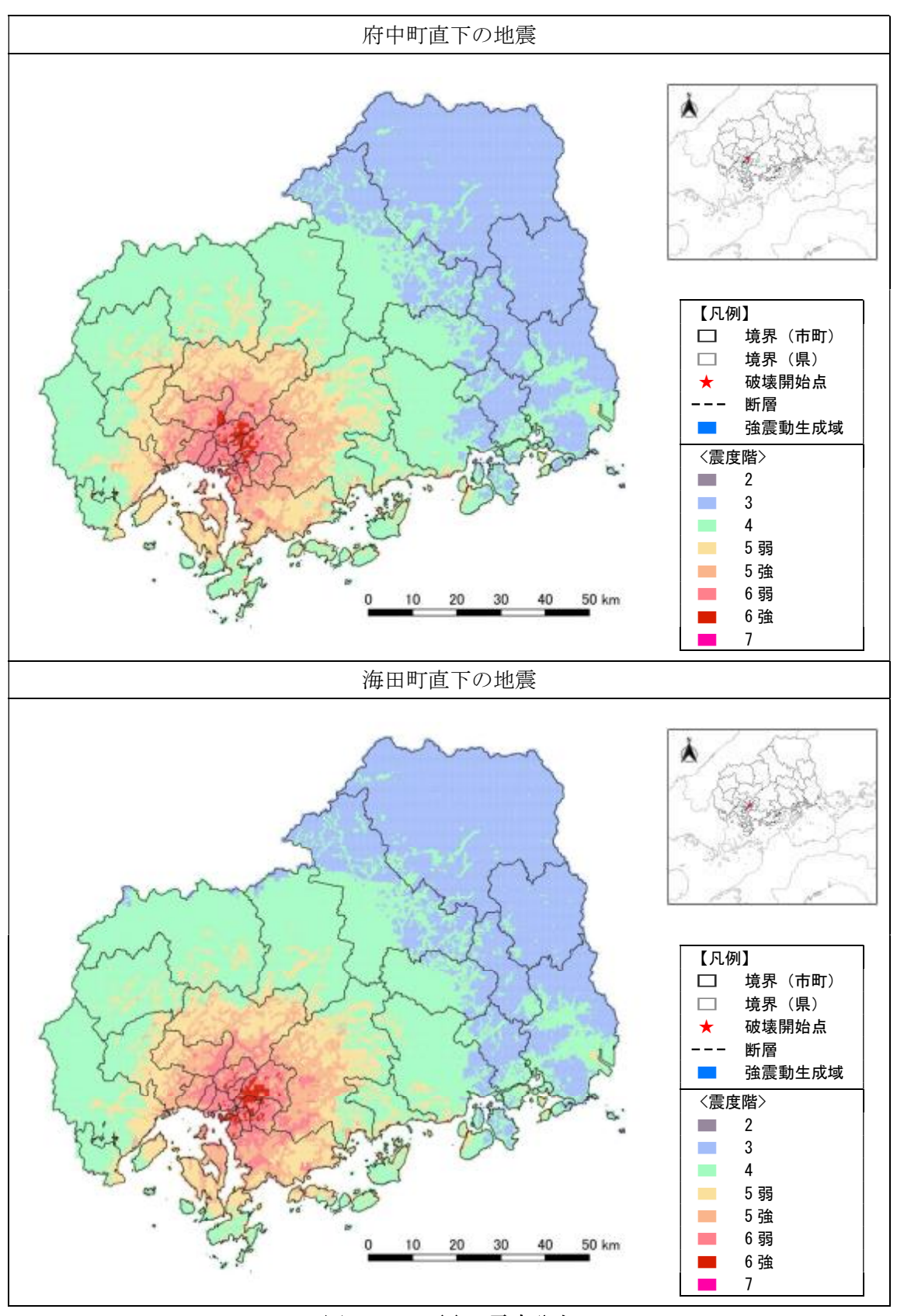
図Ⅲ.2.1-1(5) 震度分布



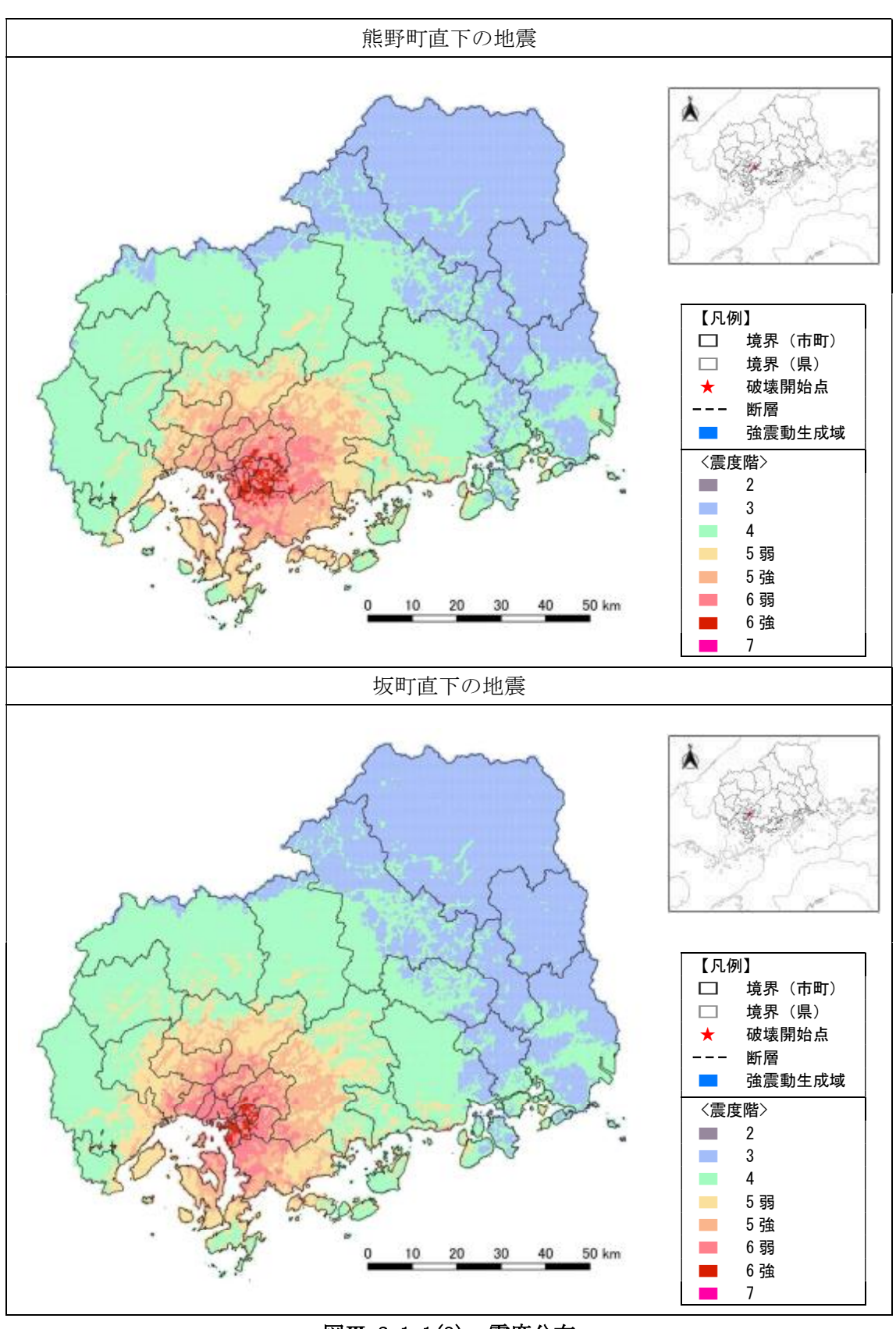
図Ⅲ.2.1-1(6) 震度分布



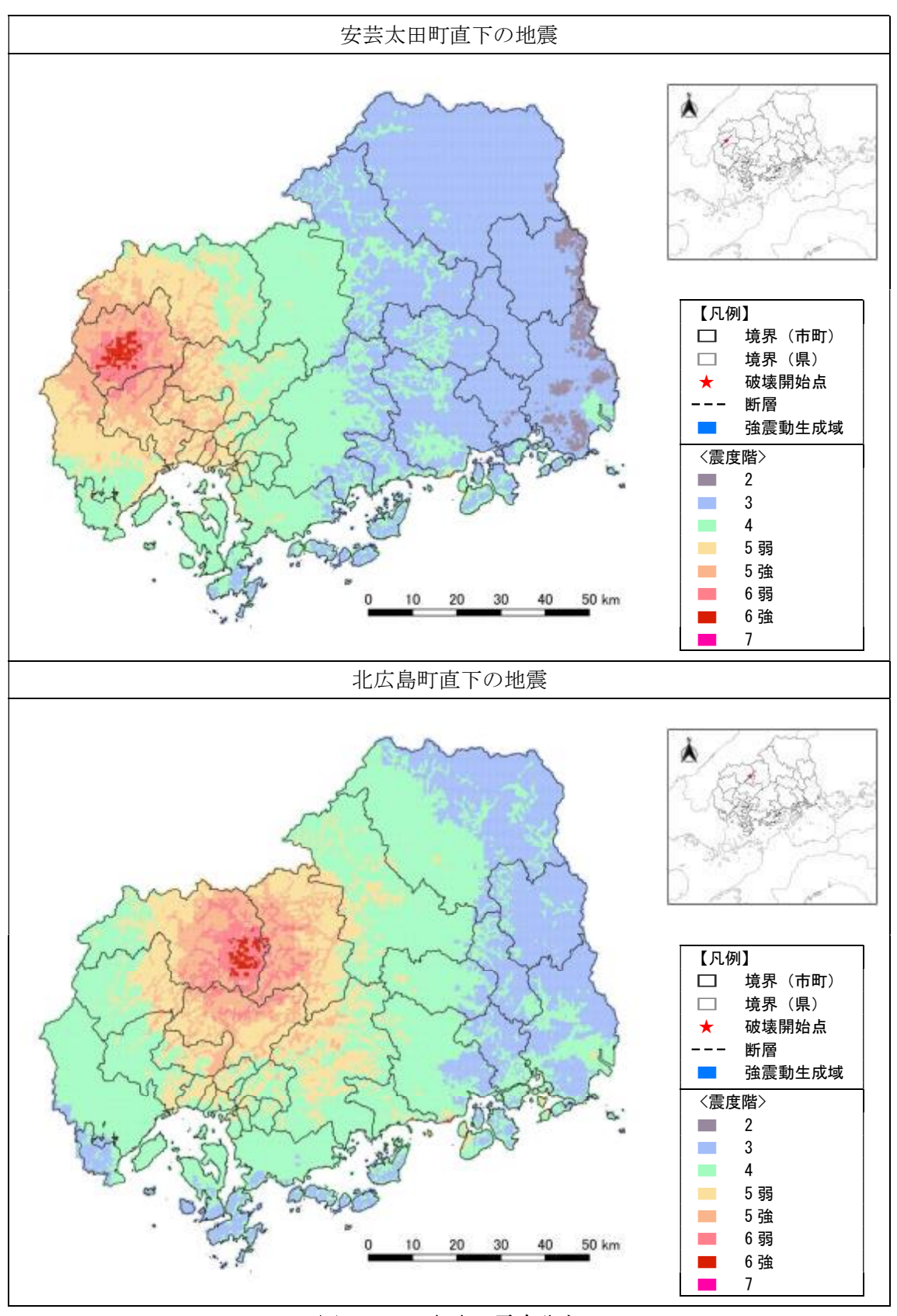
図Ⅲ.2.1-1(7) 震度分布



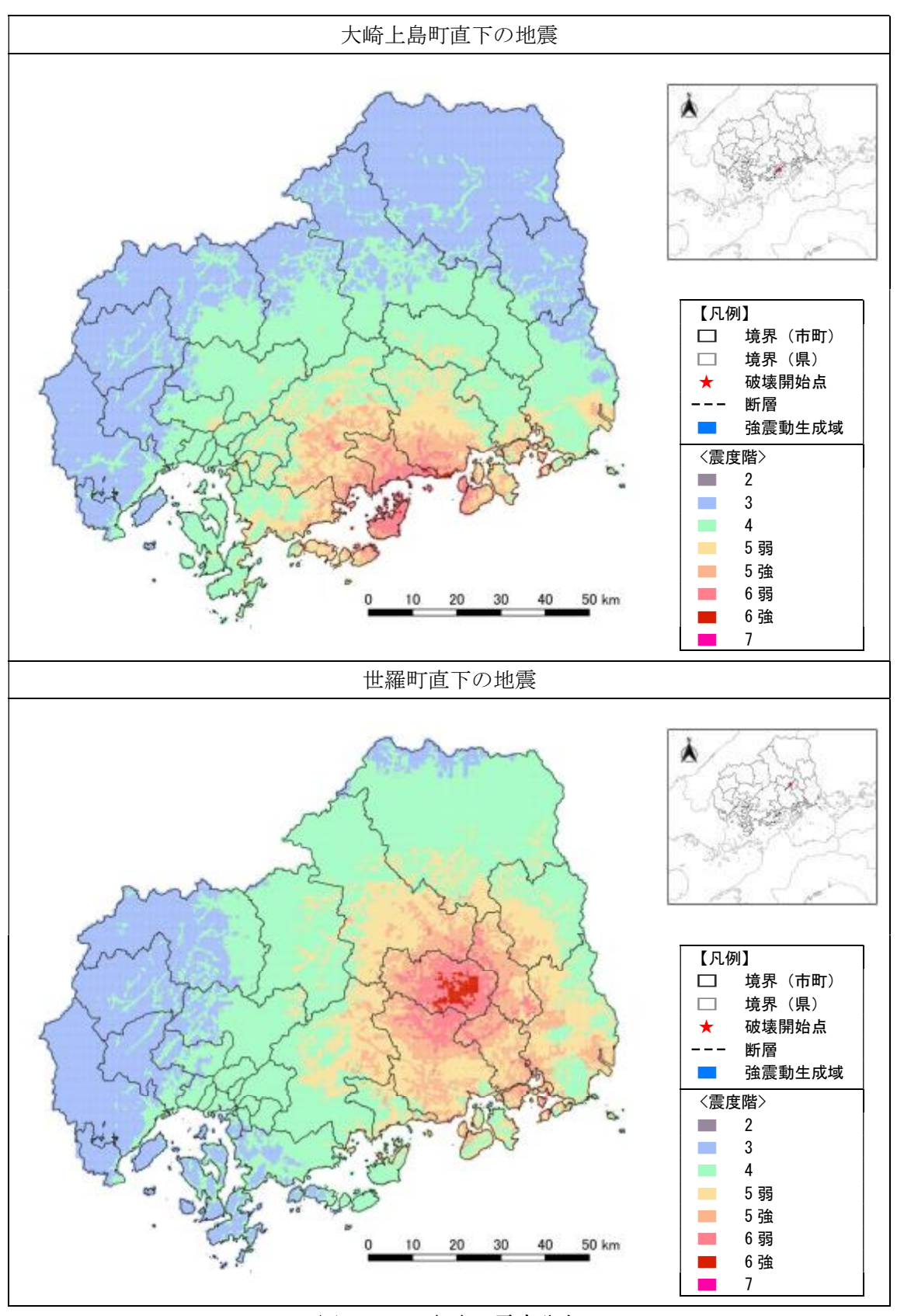
図Ⅲ.2.1-1(8) 震度分布



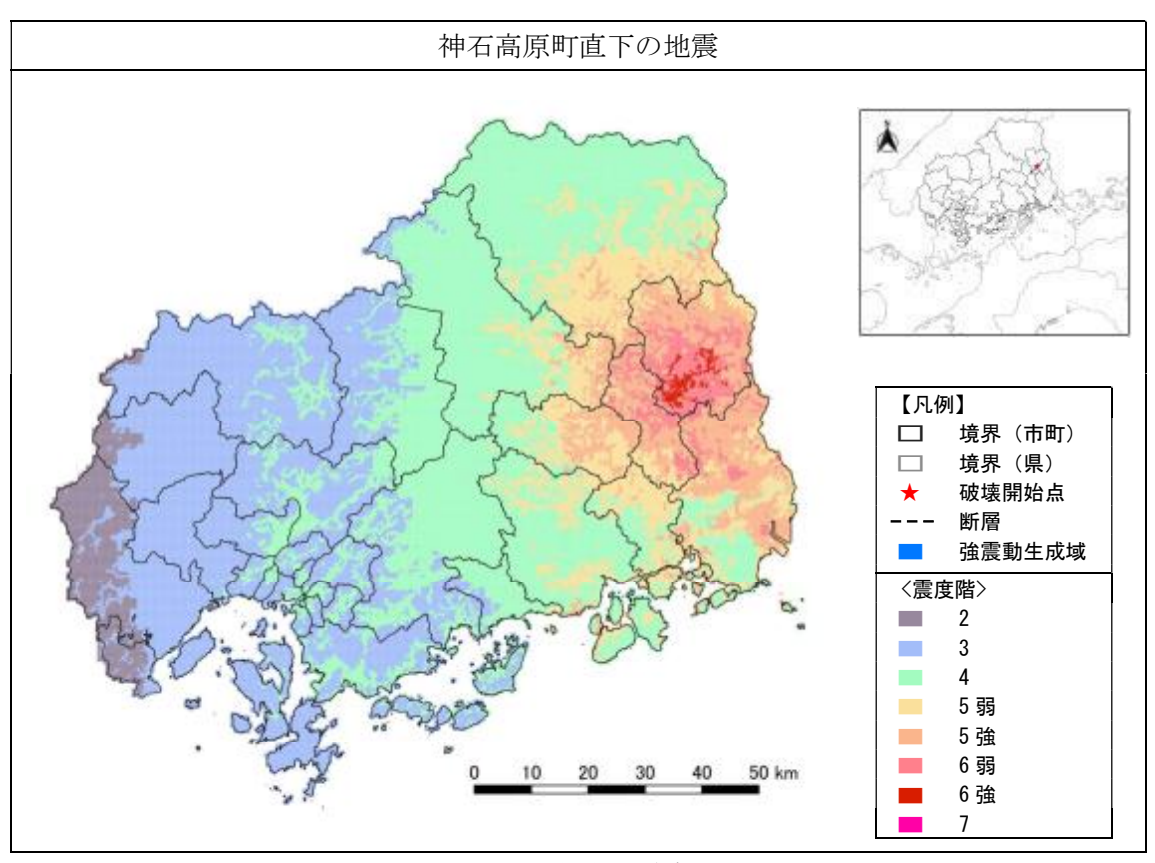
図Ⅲ.2.1-1(9) 震度分布



図Ⅲ.2.1-1(10) 震度分布



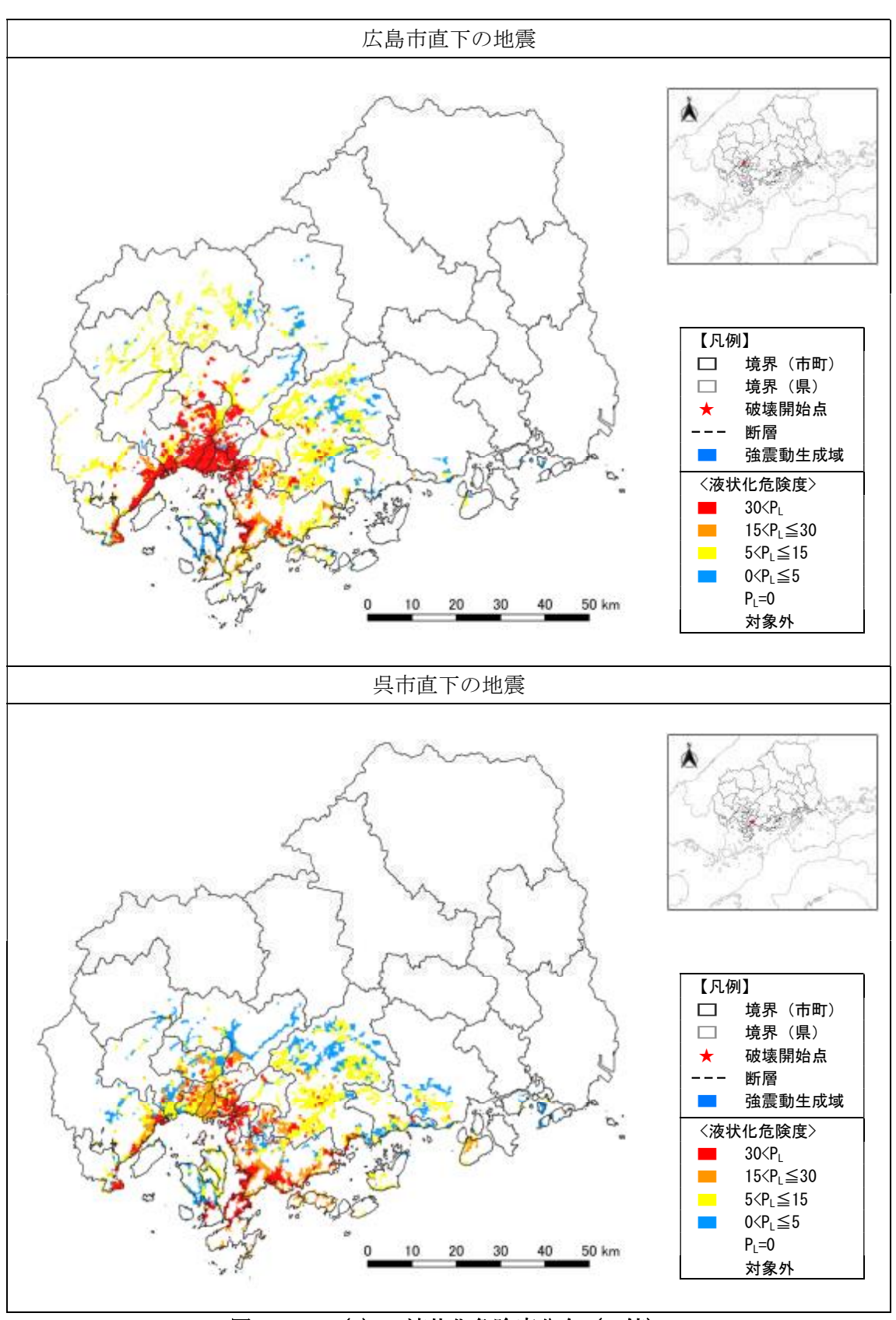
図Ⅲ.2.1-1(11) 震度分布



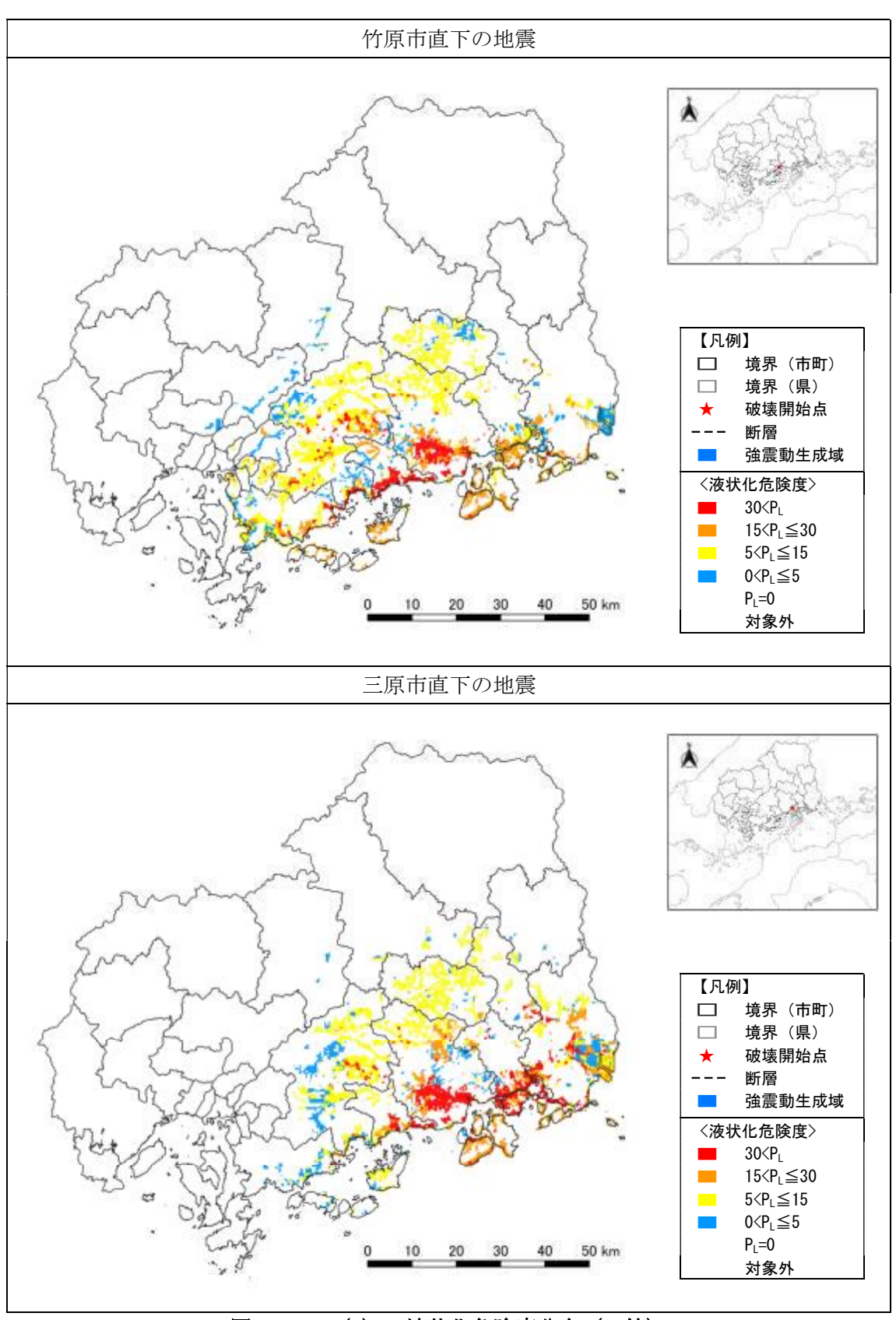
図Ⅲ.2.1-1(12) 震度分布

(2) 液状化

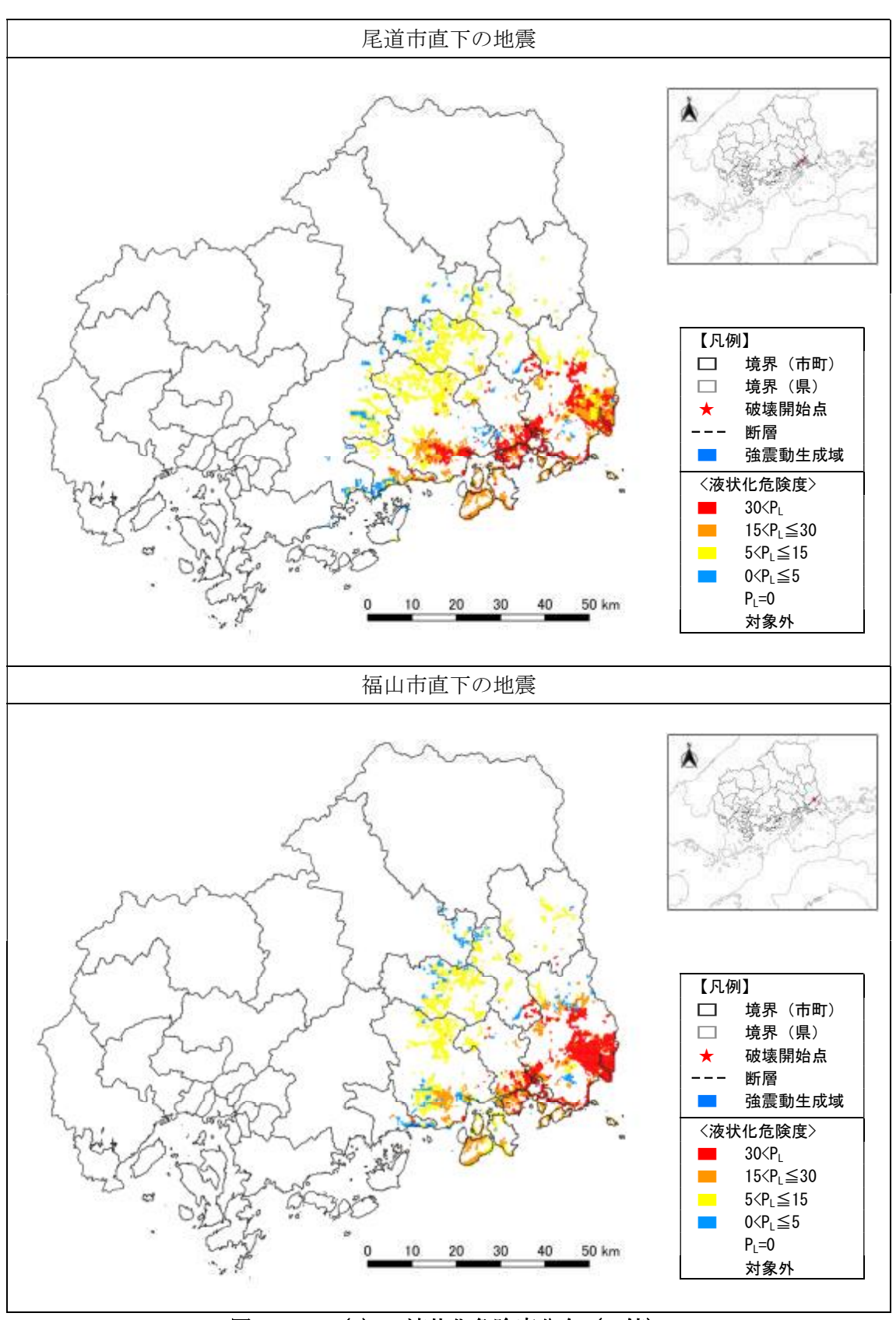
県内各市町役場の所在地に震源位置を仮定した23の地震を想定地震とする液状化危険度分布を250mメッシュで示す。



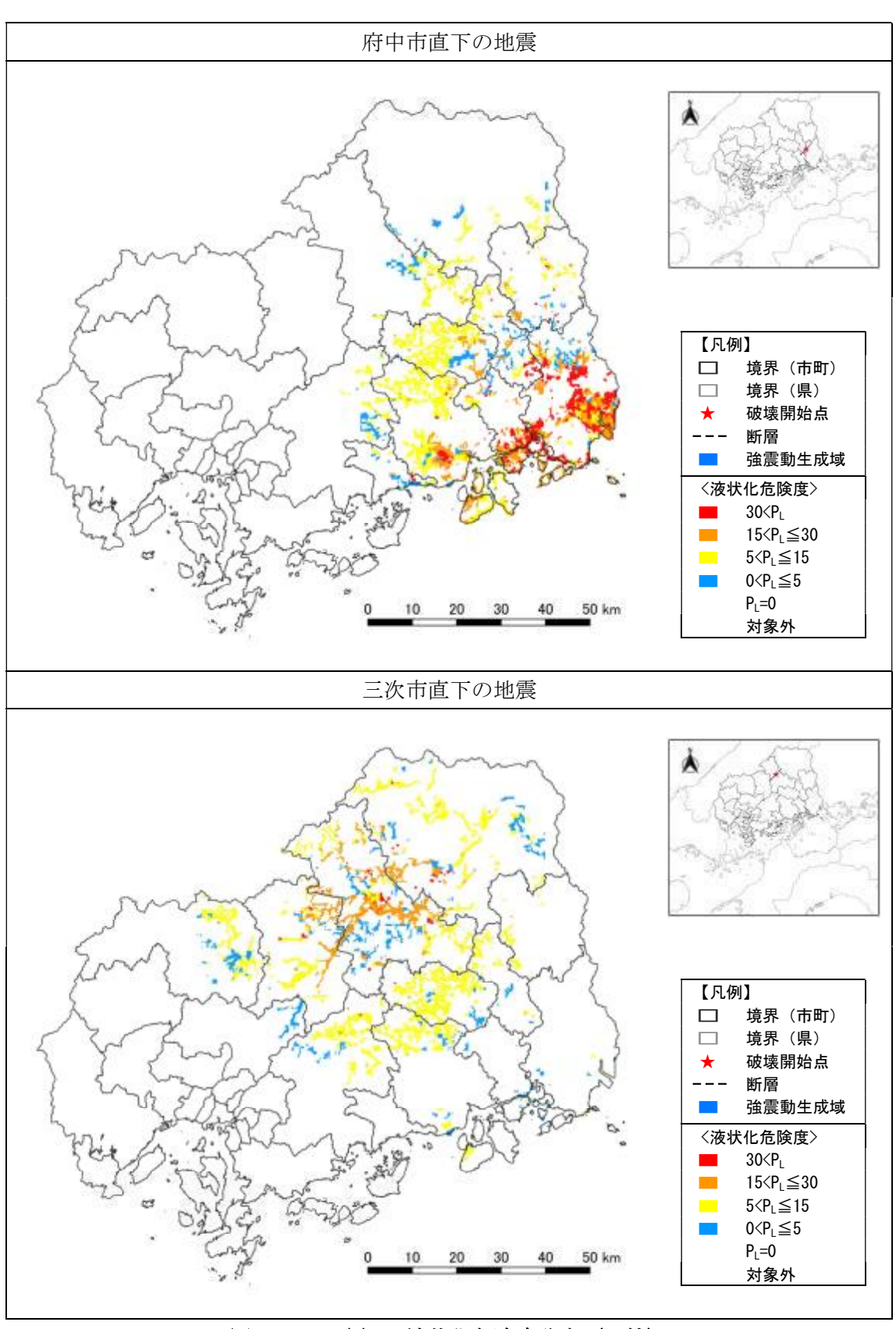
図Ⅲ. 2. 1-2(1) 液状化危険度分布 (P_L値)



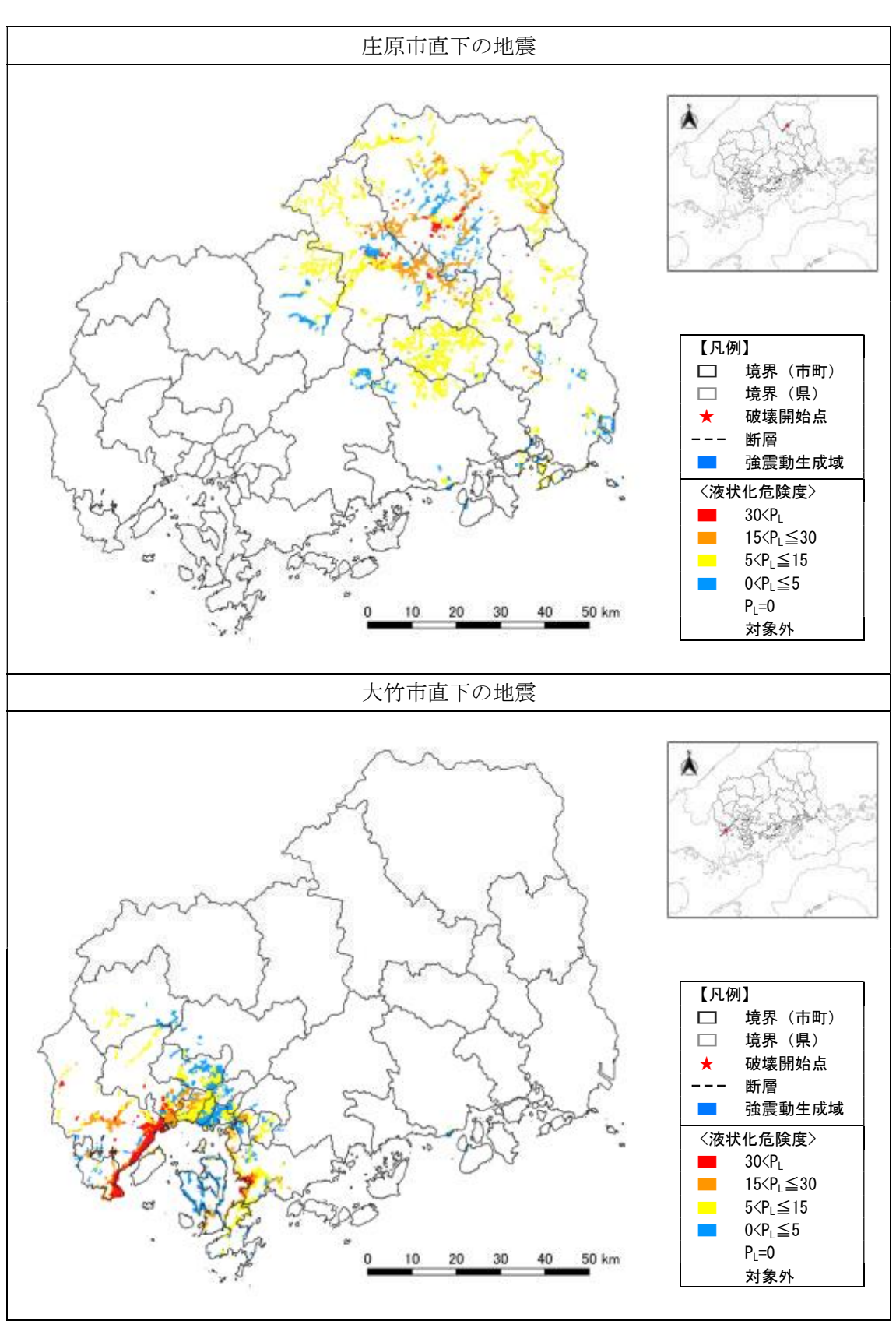
図Ⅲ. 2. 1-2(2) 液状化危険度分布 (P_L値)



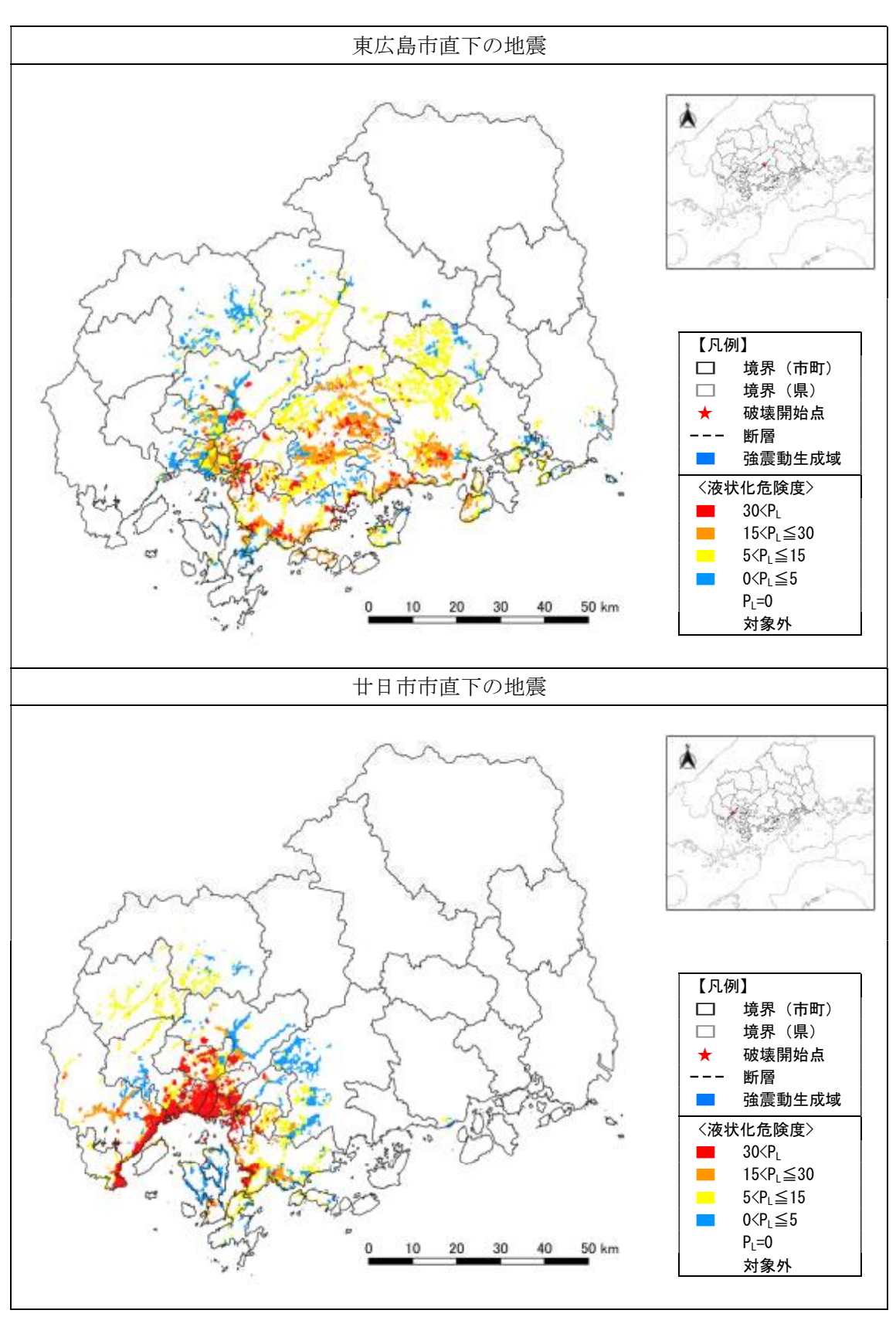
図Ⅲ. 2. 1-2(3) 液状化危険度分布 (P_L値)



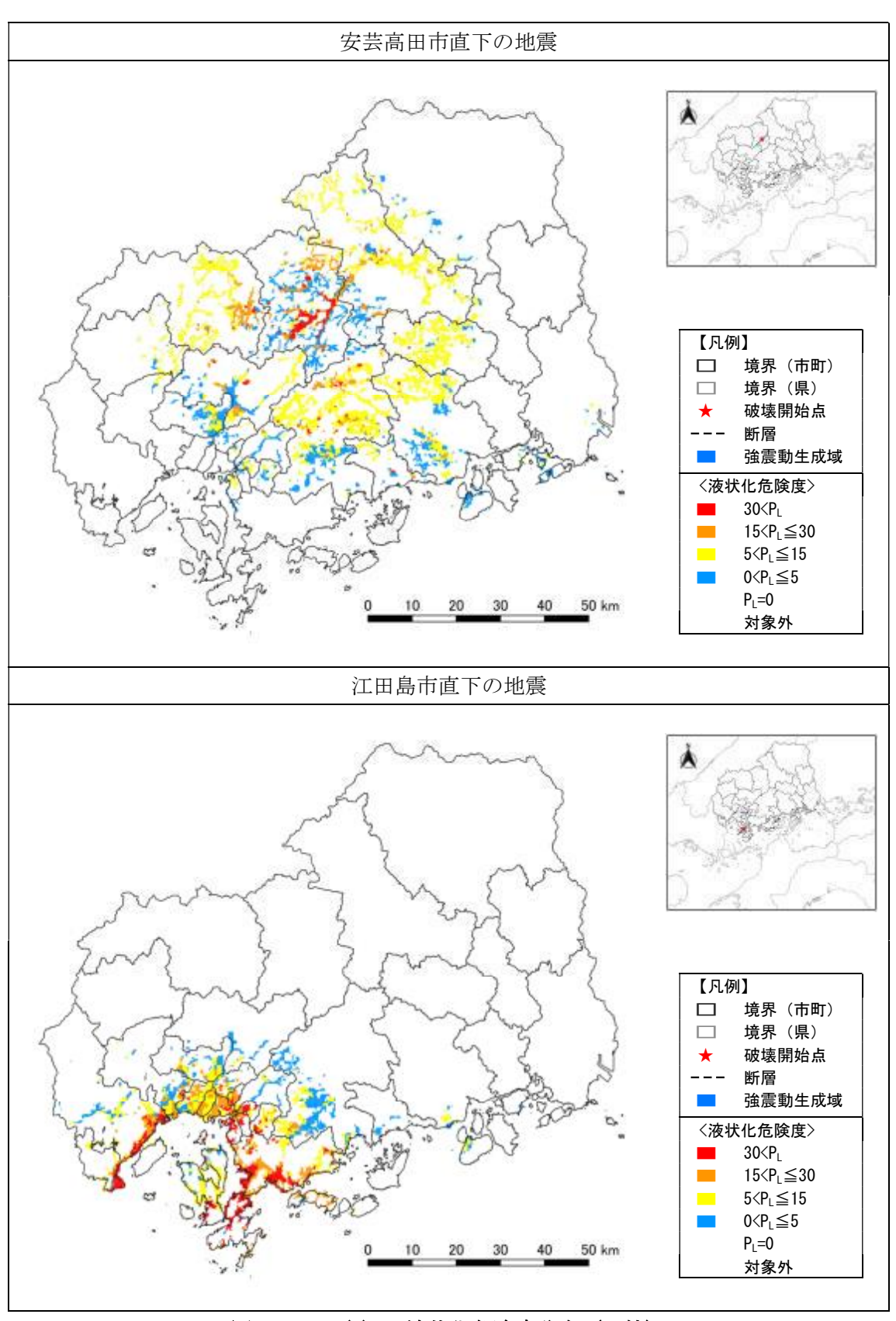
図Ⅲ.2.1-2(4) 液状化危険度分布(PL値)



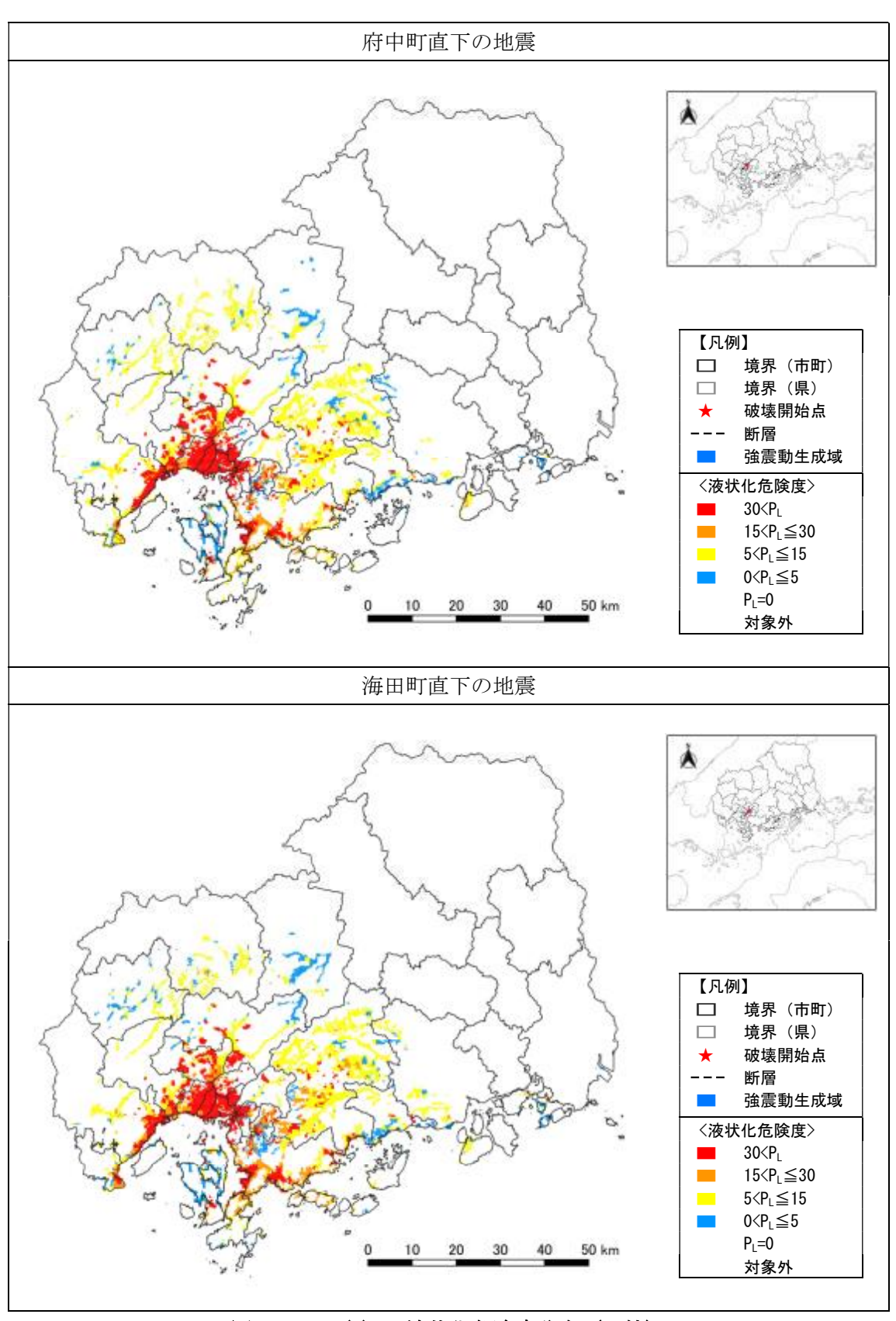
図Ⅲ.2.1-2(5) 液状化危険度分布 (PL値)



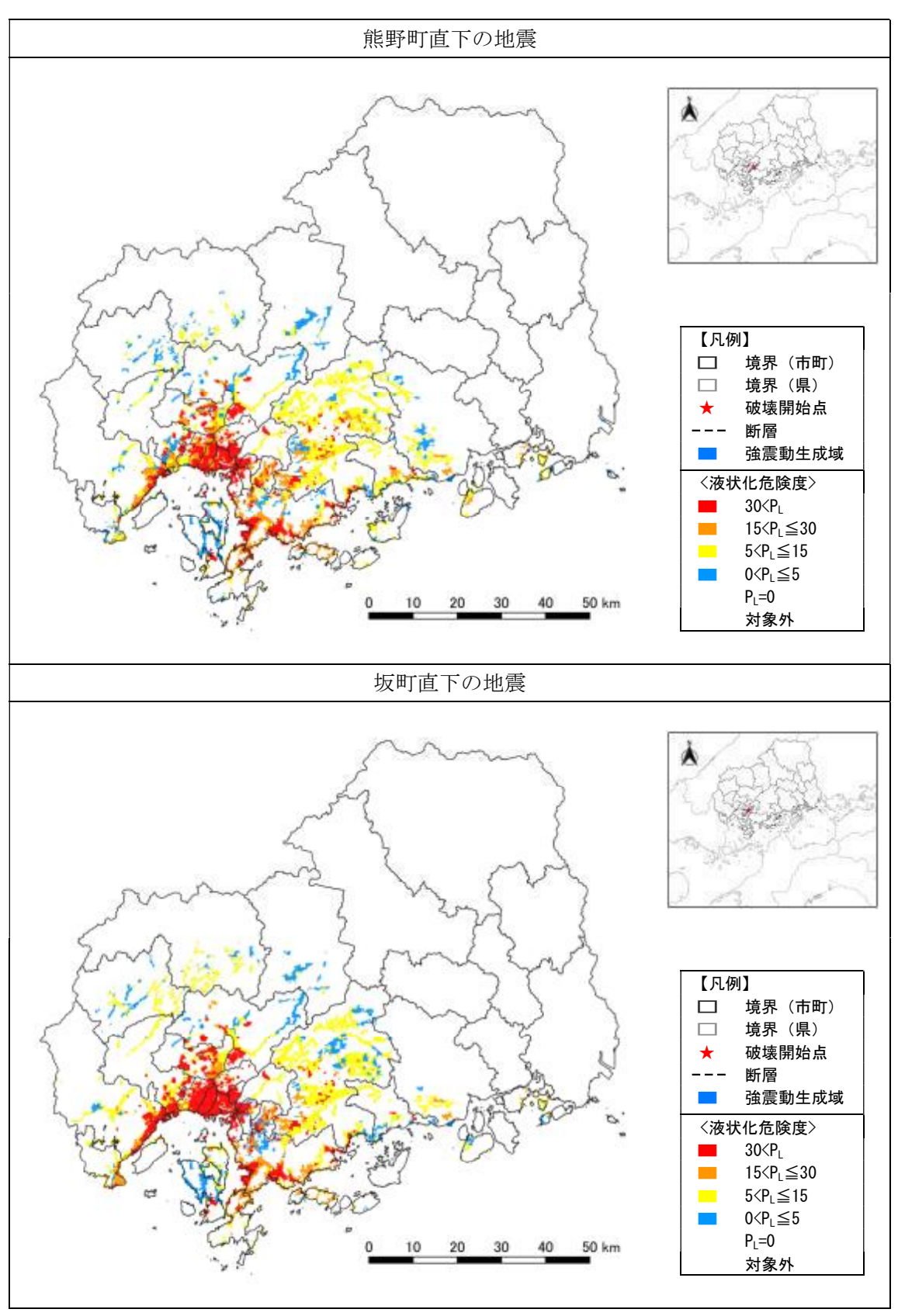
図Ⅲ.2.1-2(6) 液状化危険度分布 (PL値)



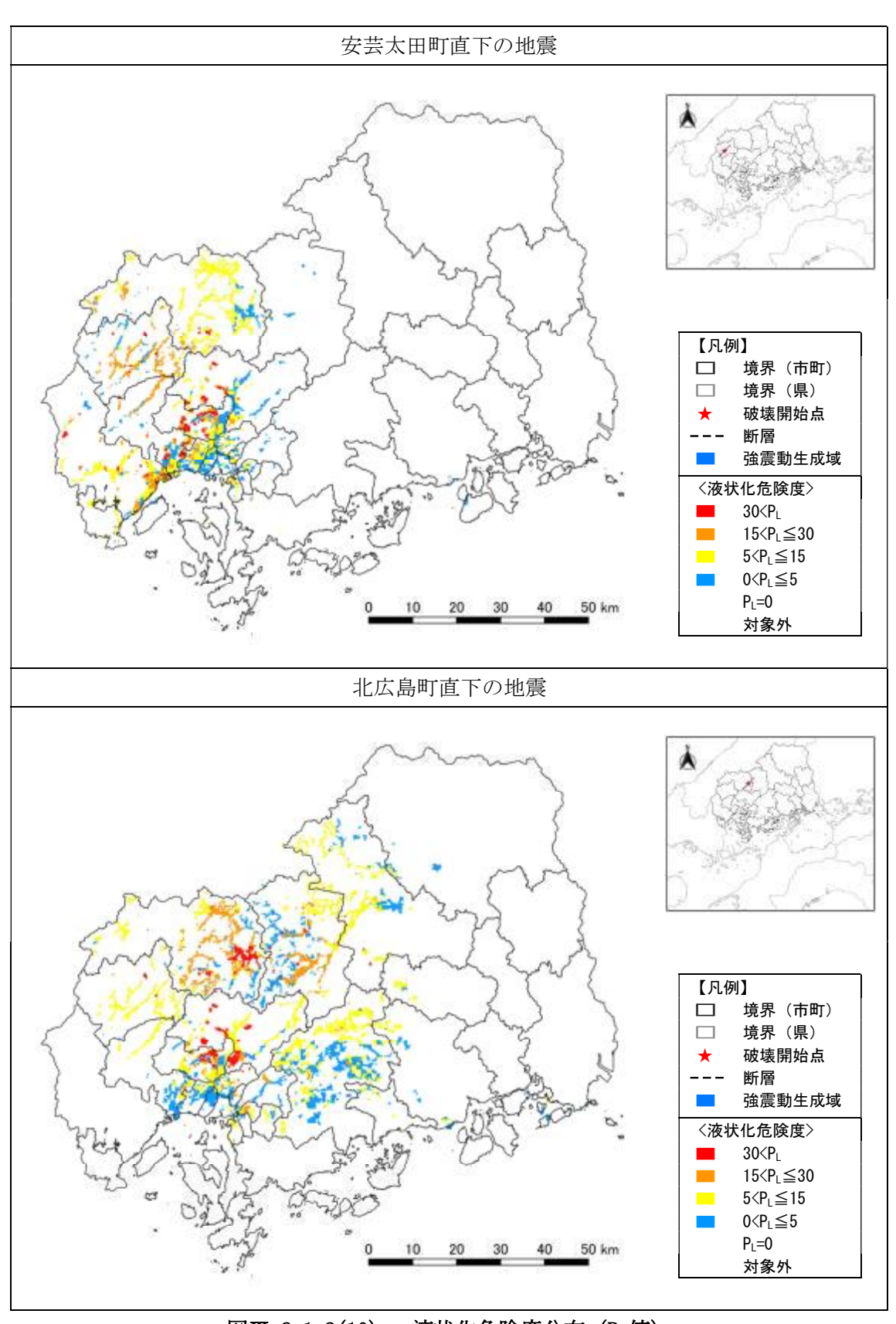
図Ⅲ.2.1-2(7) 液状化危険度分布 (PL値)



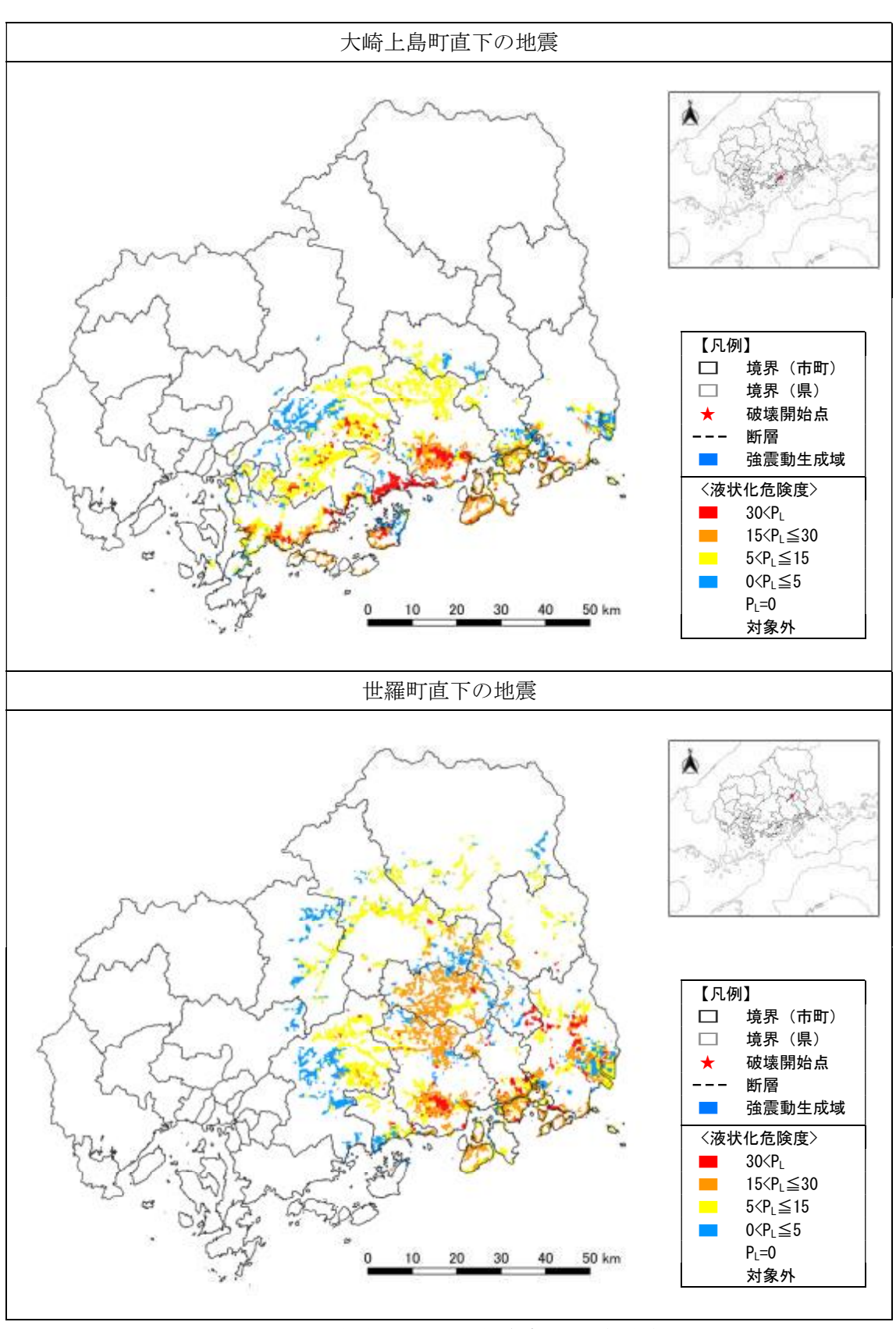
図Ⅲ.2.1-2(8) 液状化危険度分布 (PL値)



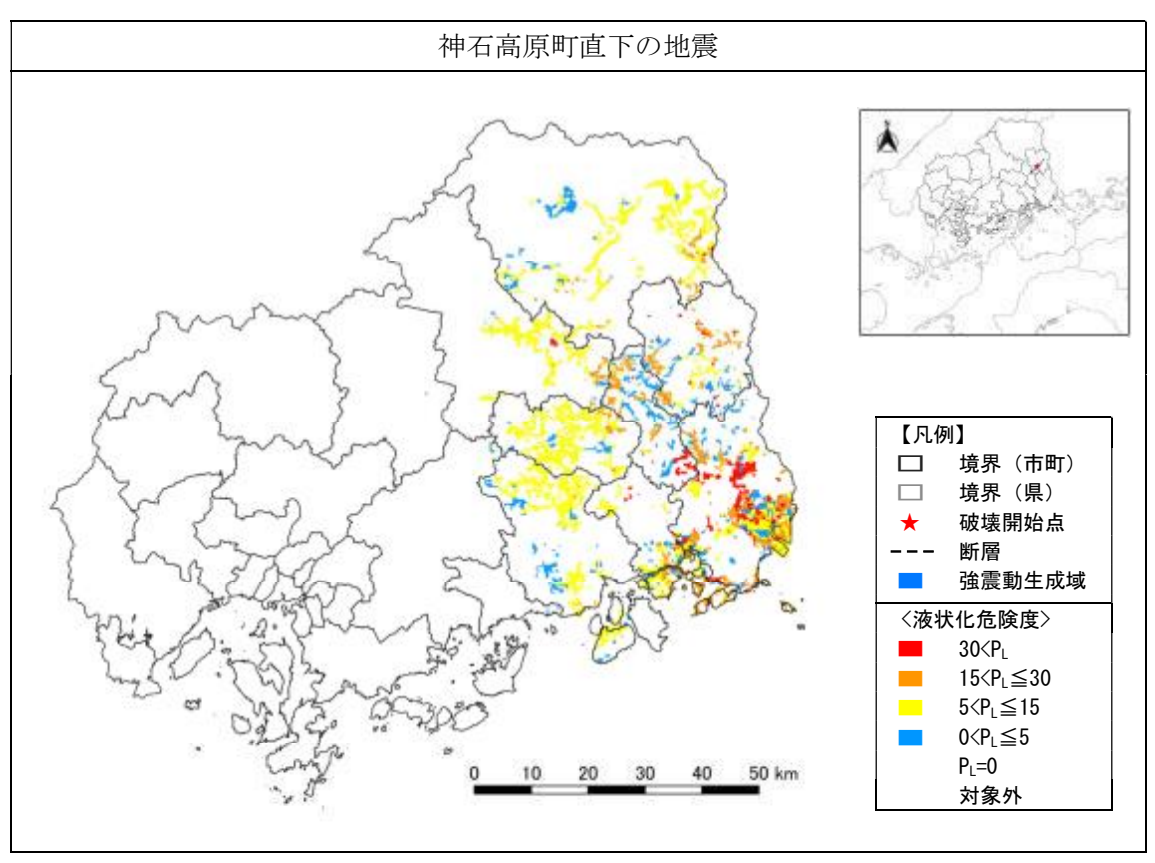
図Ⅲ.2.1-2(9) 液状化危険度分布 (PL値)



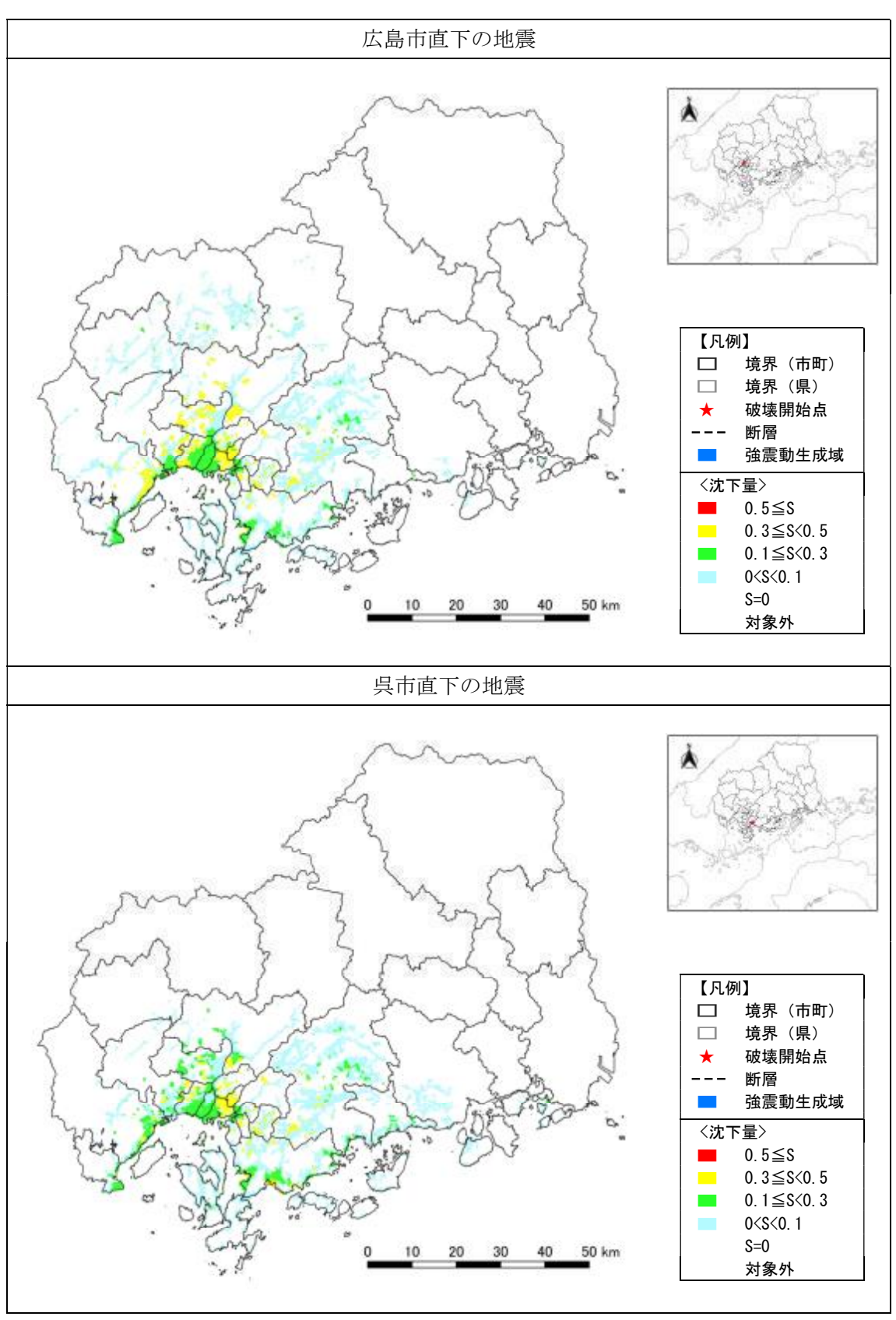
図Ⅲ.2.1-2(10) 液状化危険度分布(PL值)



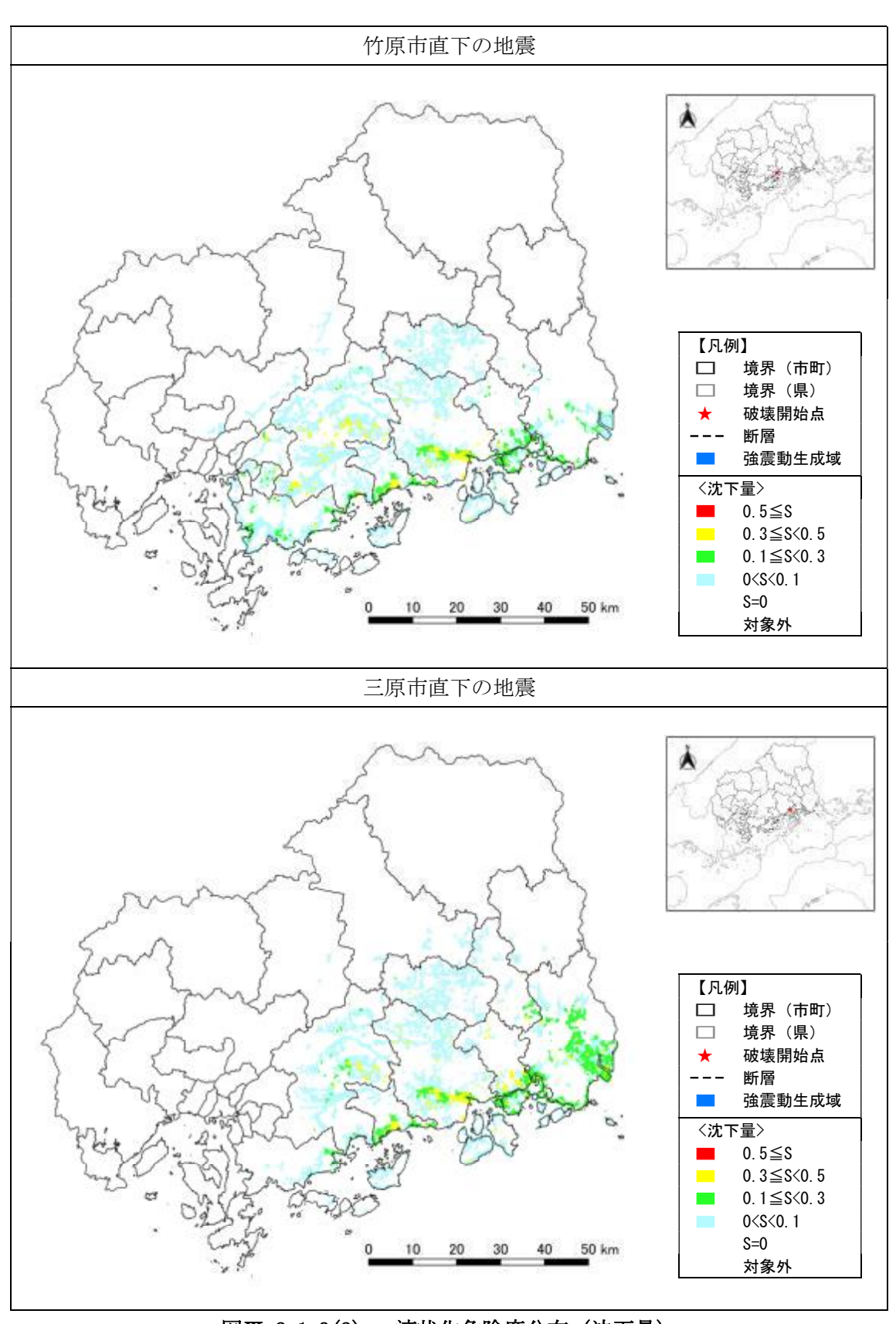
図Ⅲ.2.1-2(11) 液状化危険度分布 (P_L值)



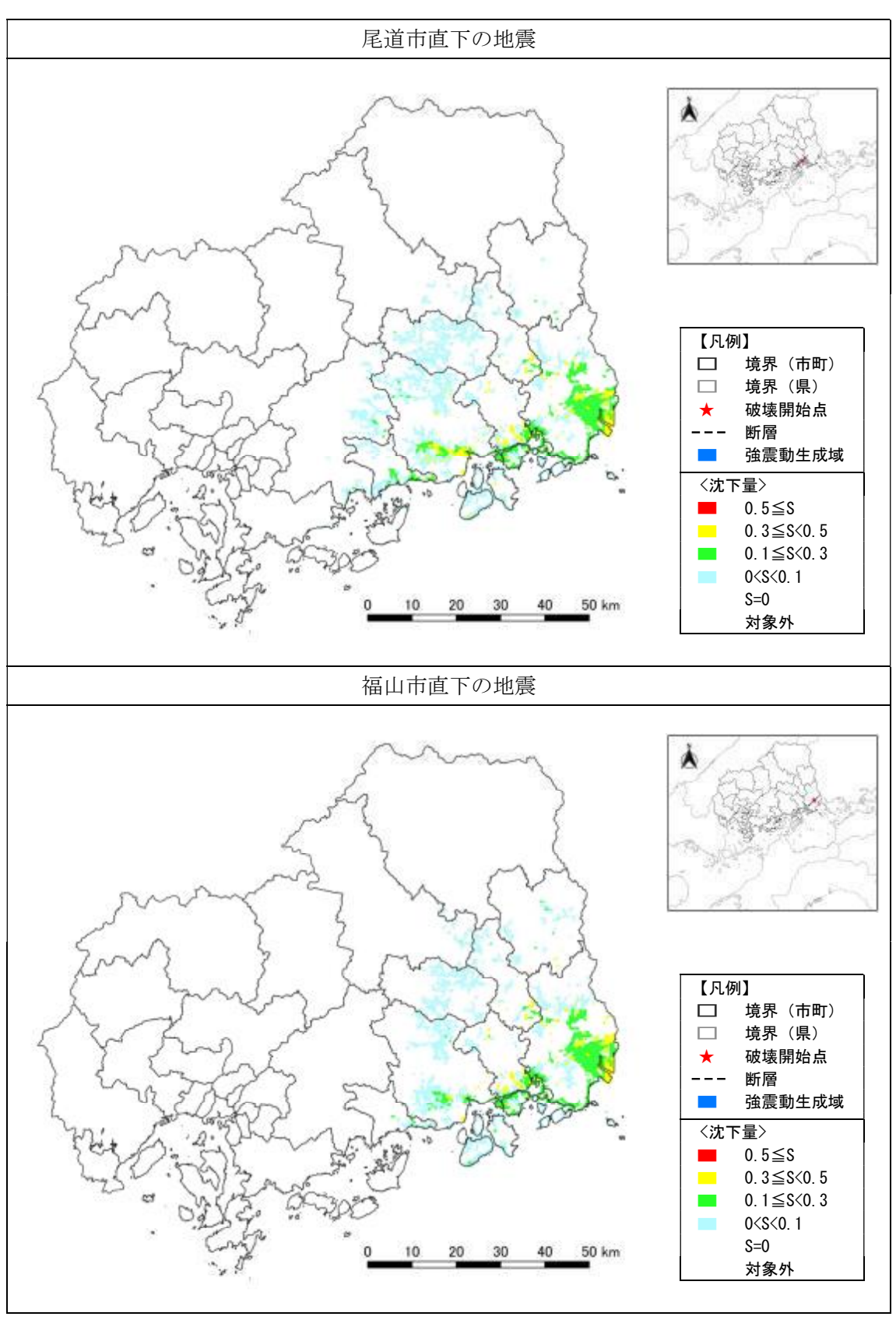
図Ⅲ. 2.1-2(12) 液状化危険度分布 (P_L值)



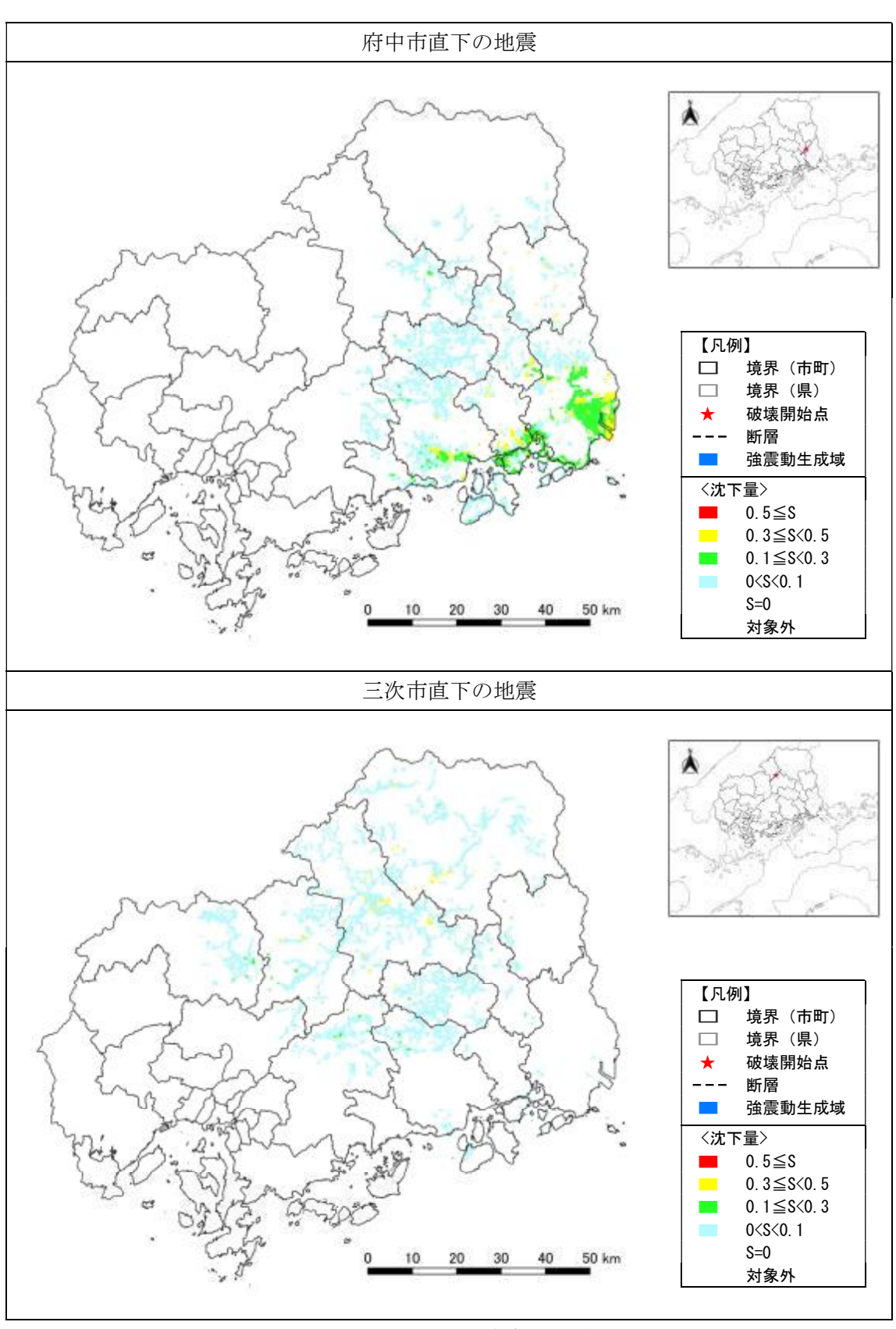
図Ⅲ.2.1-3(1) 液状化危険度分布(沈下量)



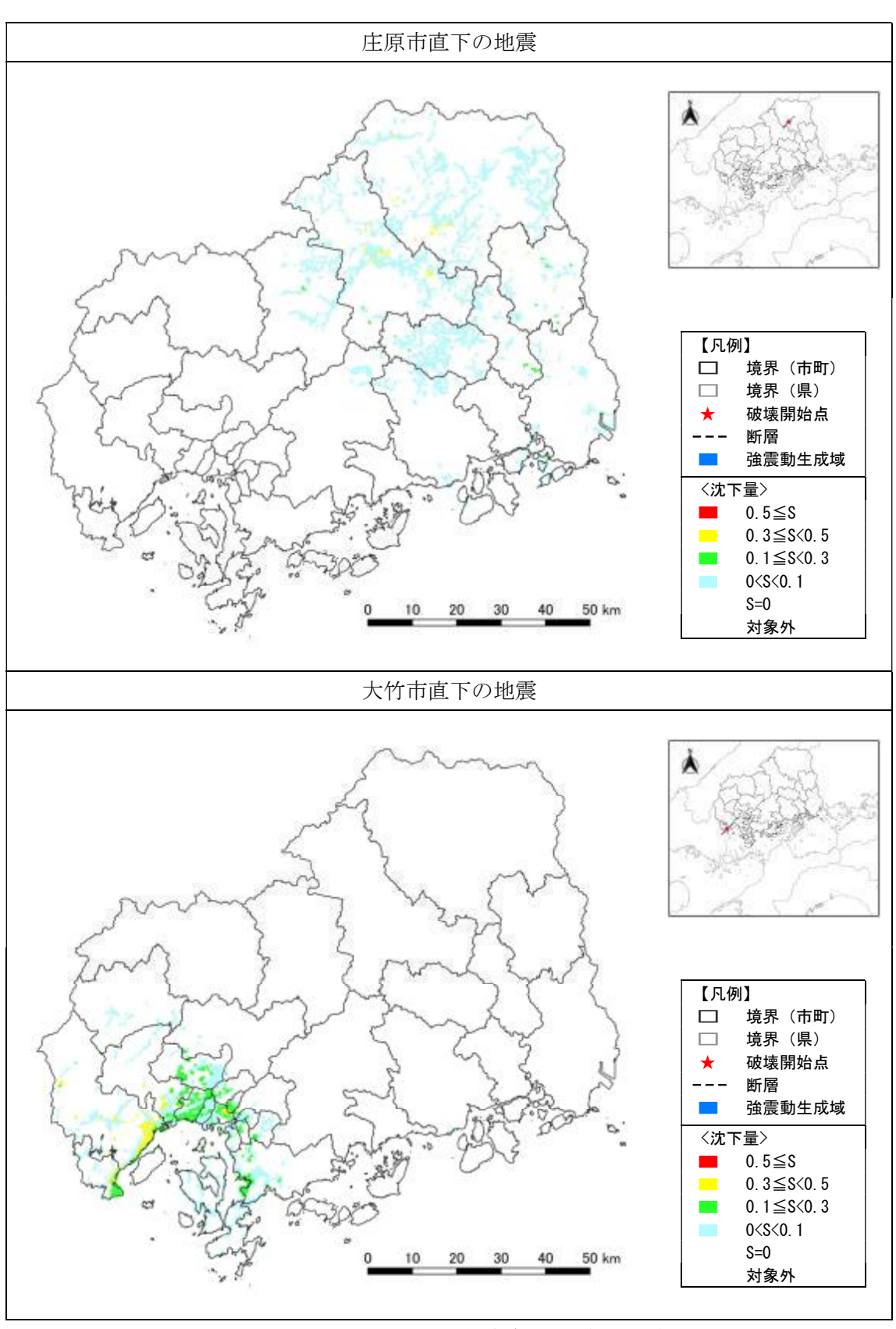
図Ⅲ.2.1-3(2) 液状化危険度分布(沈下量)



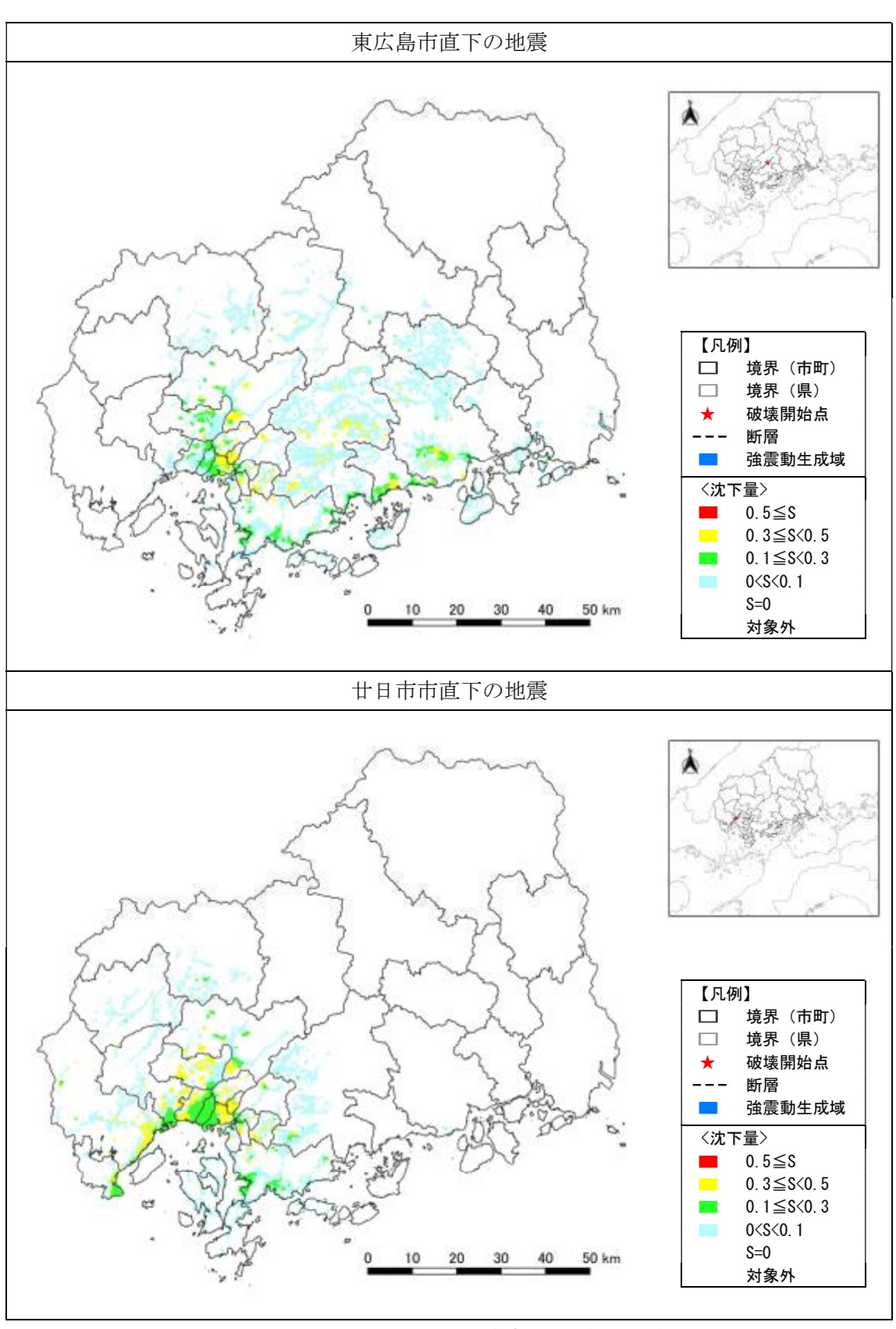
図Ⅲ.2.1-3(3) 液状化危険度分布(沈下量)



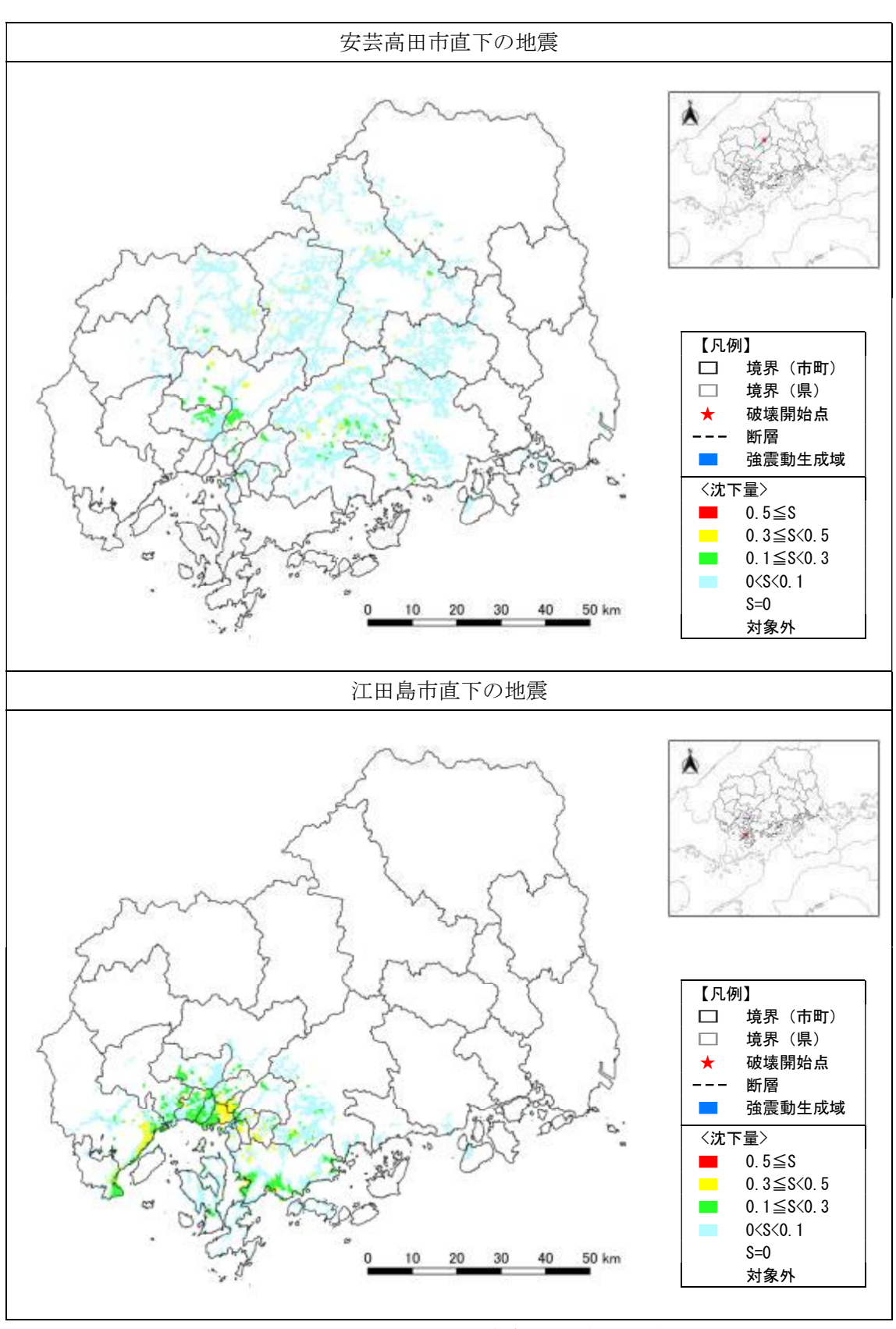
図Ⅲ.2.1-3(4) 液状化危険度分布(沈下量)



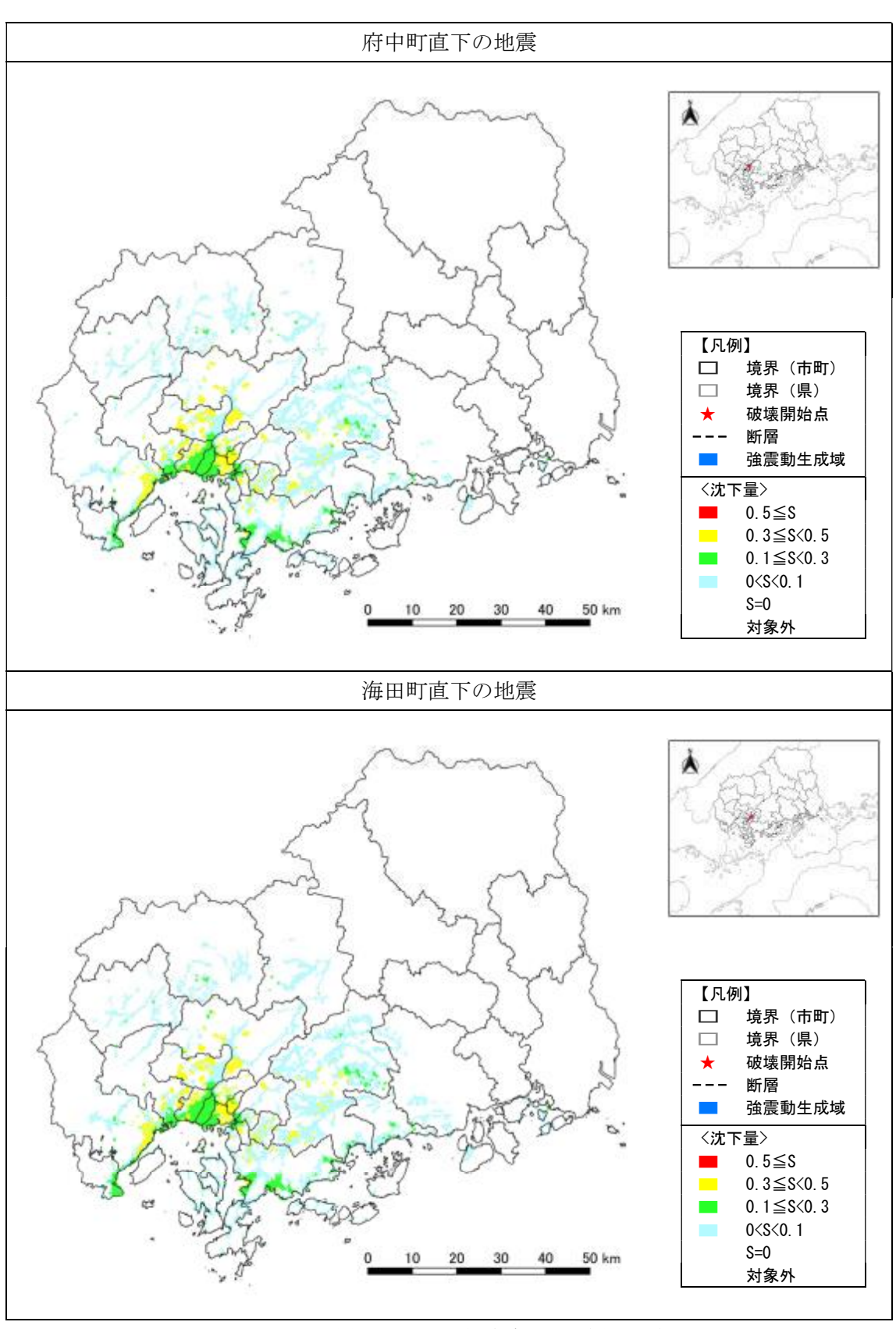
図Ⅲ.2.1-3(5) 液状化危険度分布(沈下量)



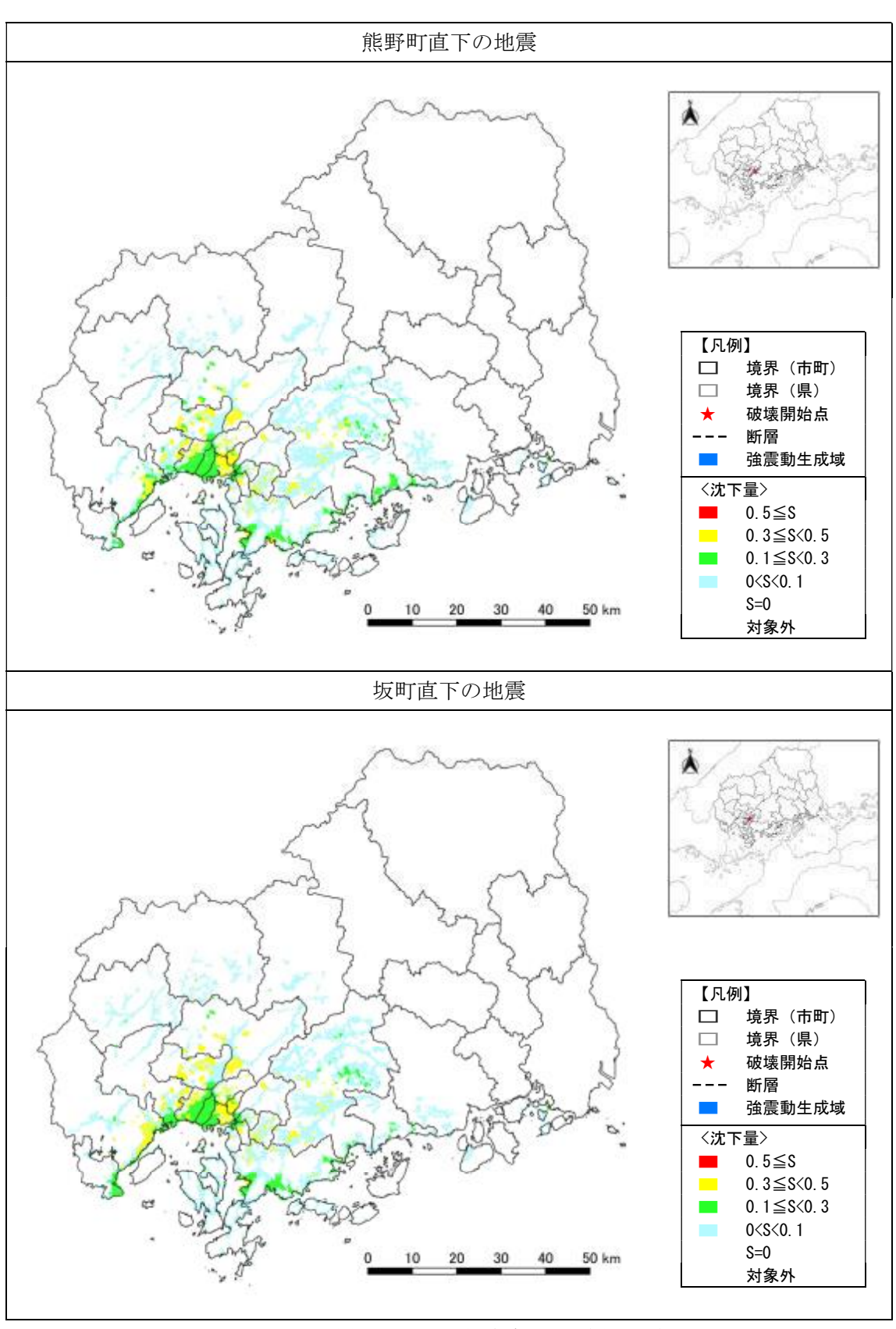
図Ⅲ.2.1-3(6) 液状化危険度分布(沈下量)



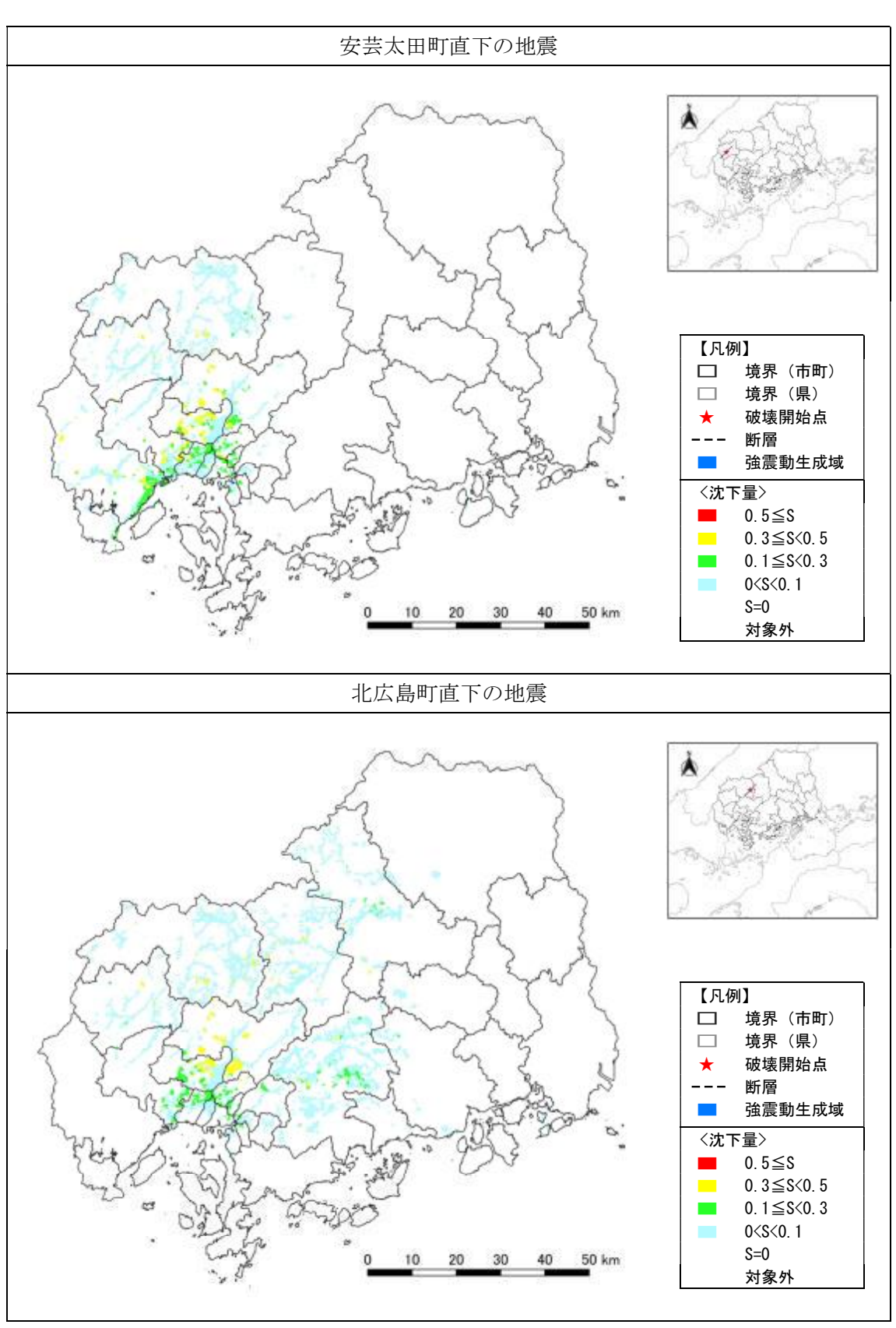
図Ⅲ.2.1-3(7) 液状化危険度分布(沈下量)



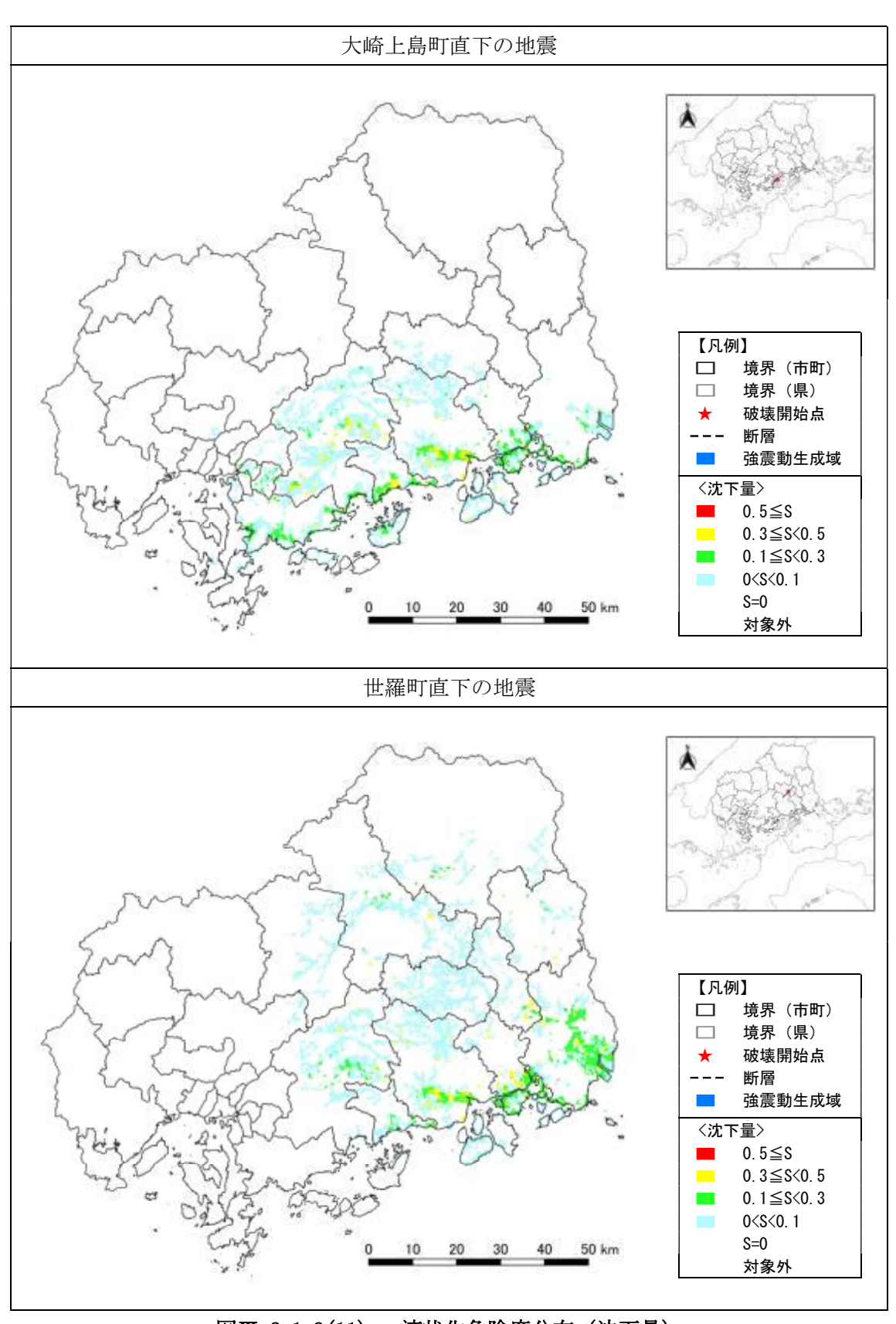
図Ⅲ.2.1-3(8) 液状化危険度分布(沈下量)



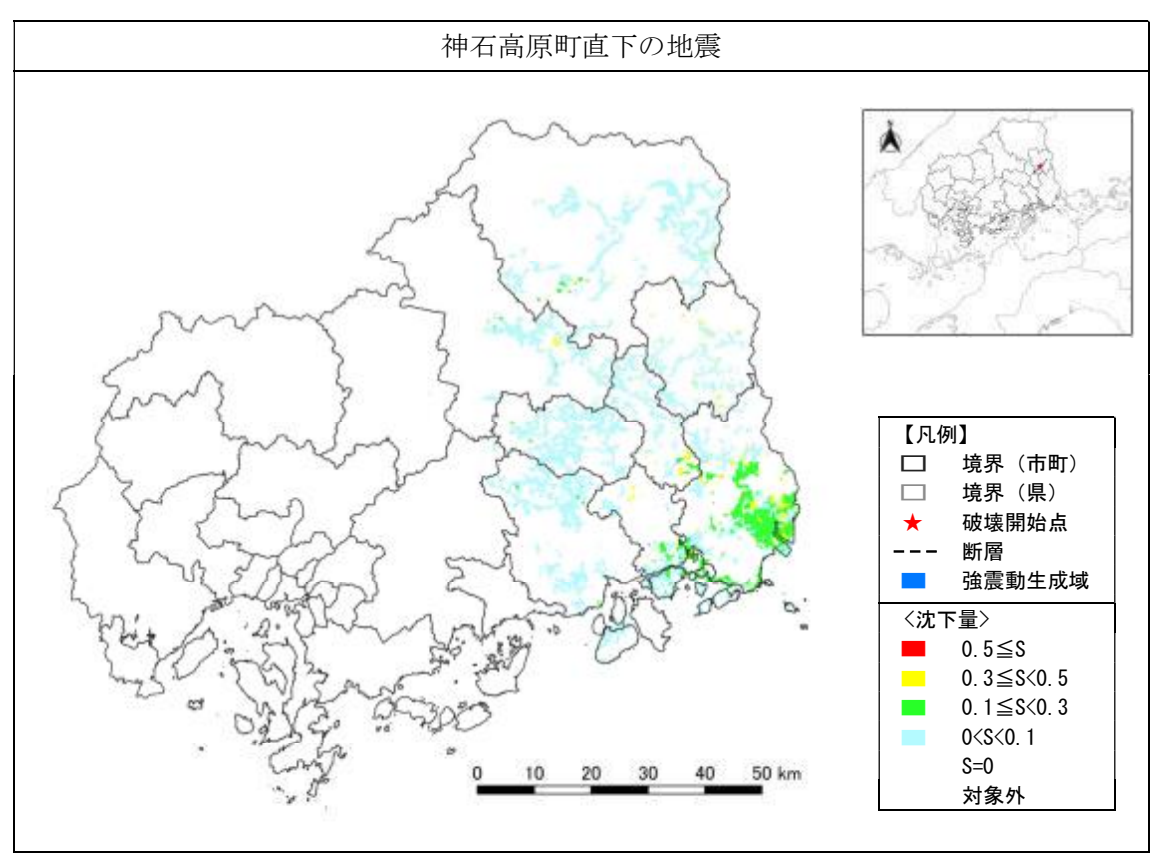
図Ⅲ.2.1-3(9) 液状化危険度分布(沈下量)



図Ⅲ.2.1-3(10) 液状化危険度分布(沈下量)



図Ⅲ.2.1-3(11) 液状化危険度分布(沈下量)

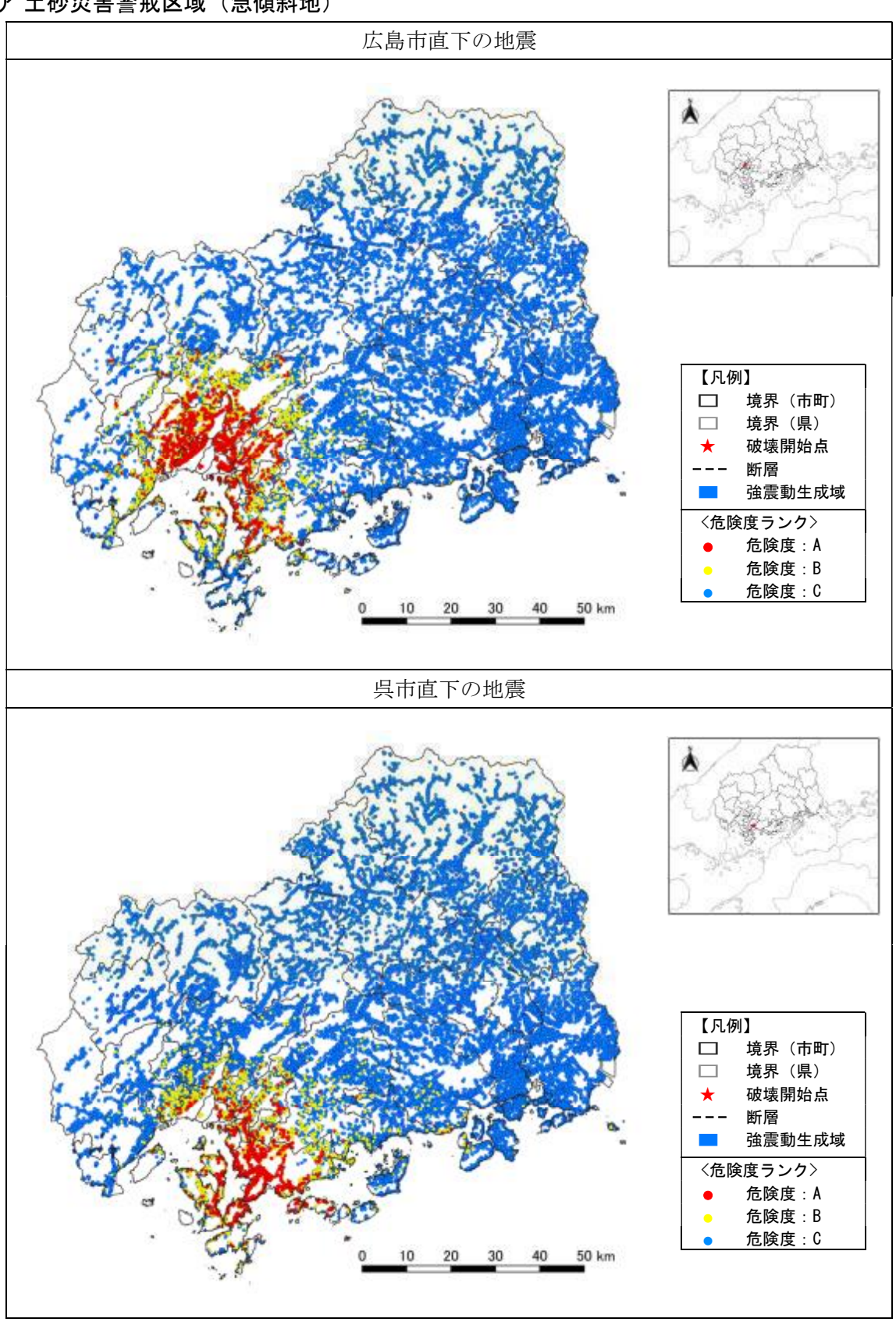


図Ⅲ.2.1-3(12) 液状化危険度分布(沈下量)

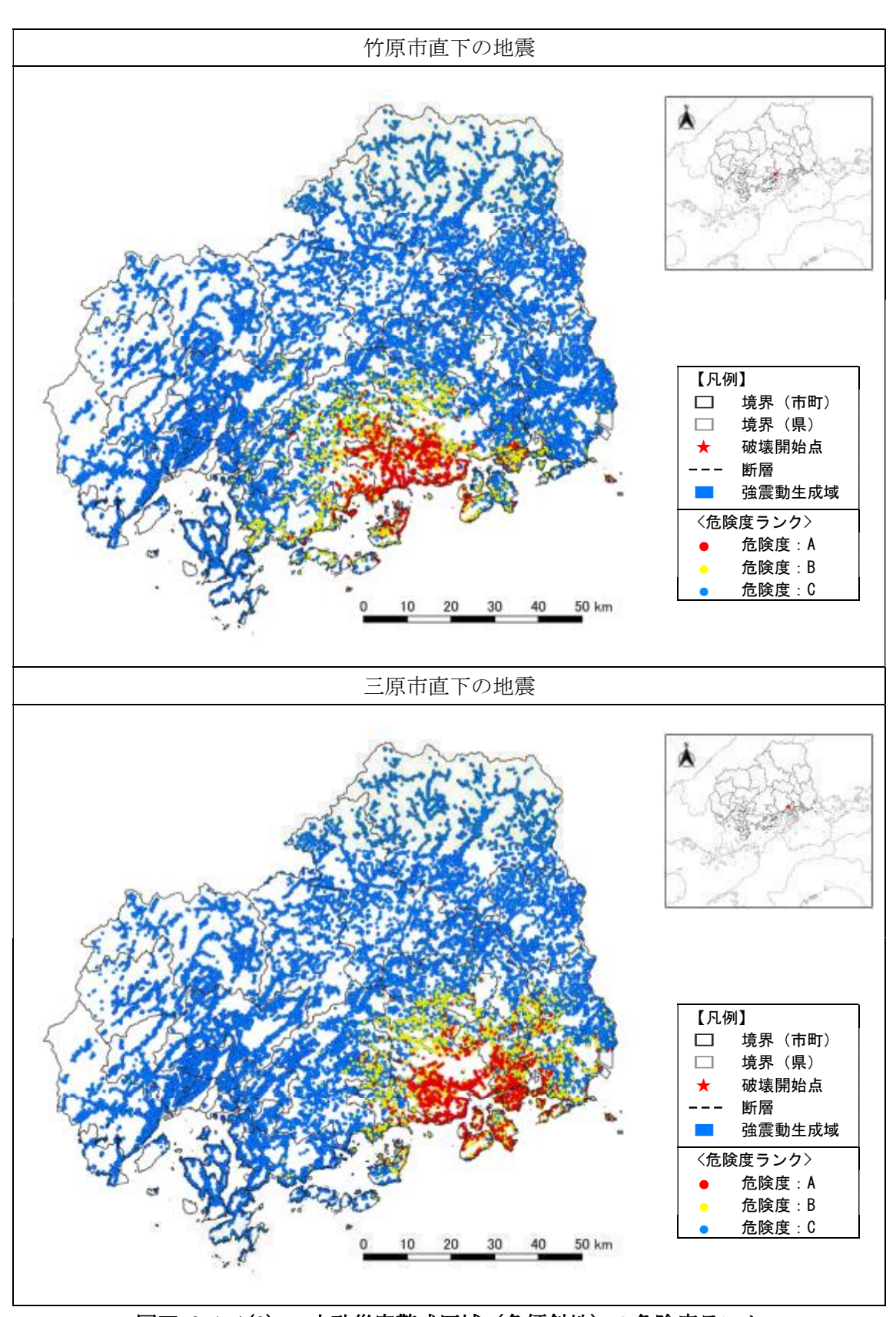
(3) 土砂災害

県内各市町役場の所在地に震源位置を仮定した 23 の地震を想定地震とする土砂災害発生危険度の分布を危険箇所別に土砂災害危険度ランクで示す。表示した土砂災害危険箇所等は、土砂災害警戒区域(急傾斜地、地滑り)である。

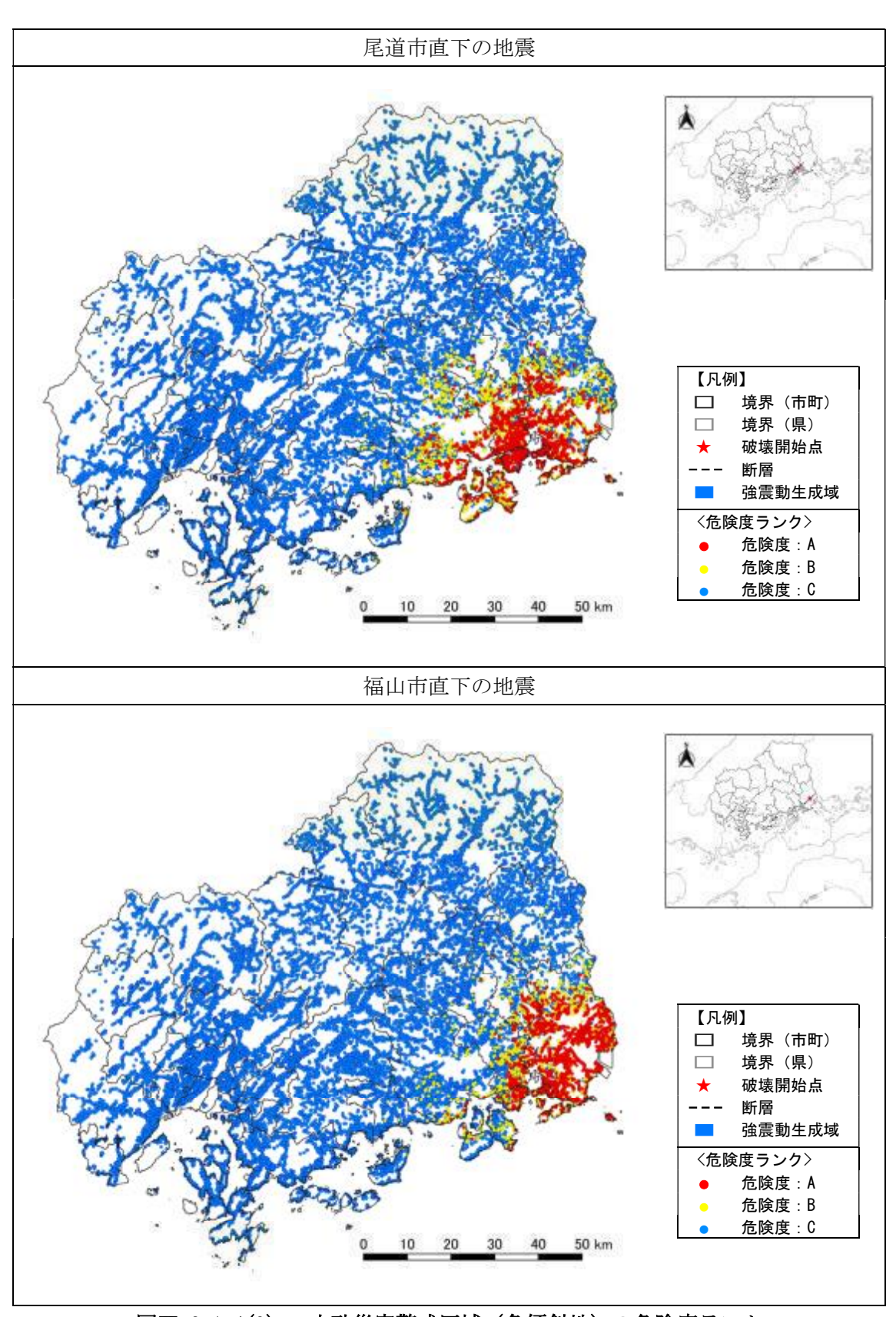
ア 土砂災害警戒区域 (急傾斜地)



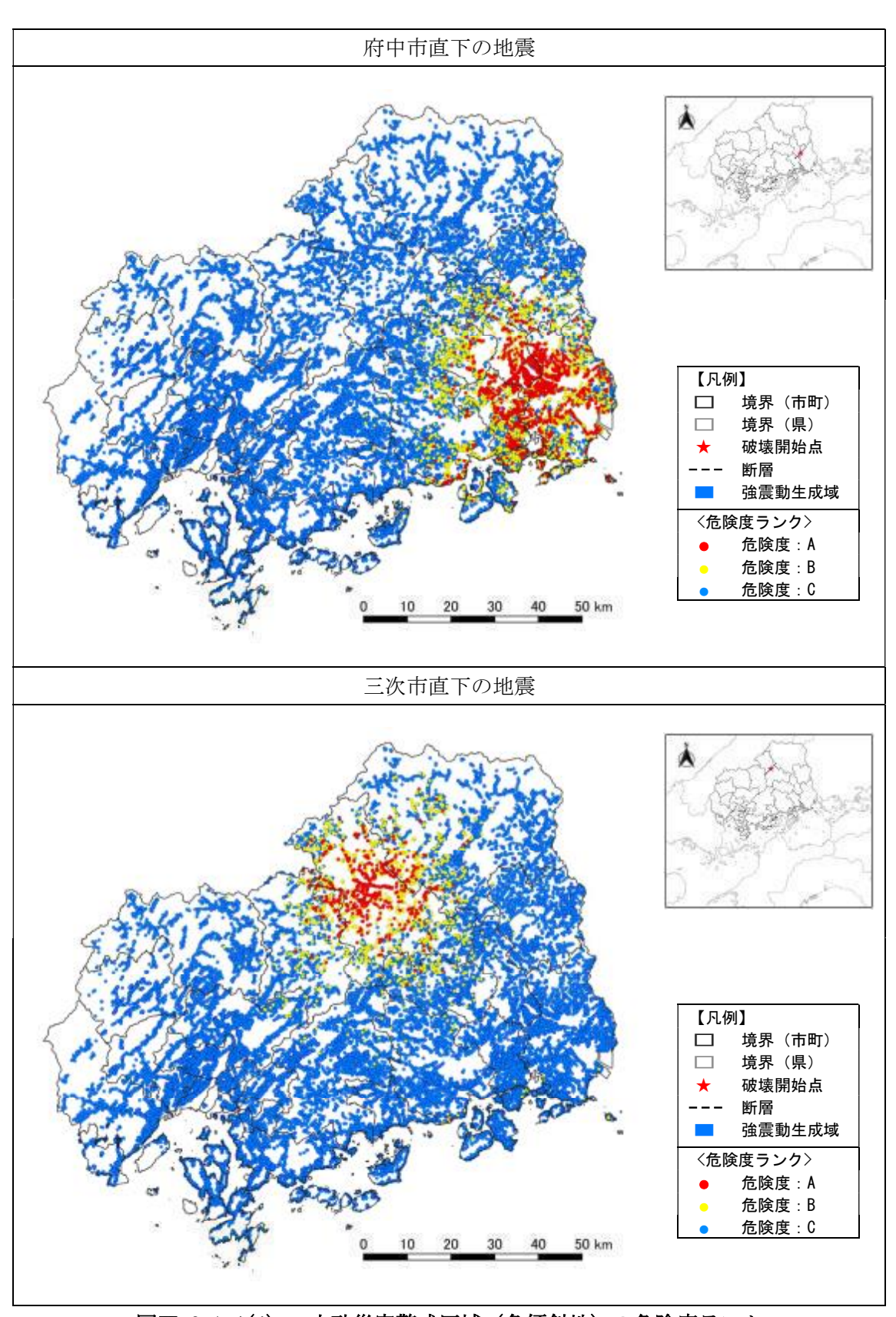
図Ⅲ.2.1-4(1) 土砂災害警戒区域(急傾斜地)の危険度ランク



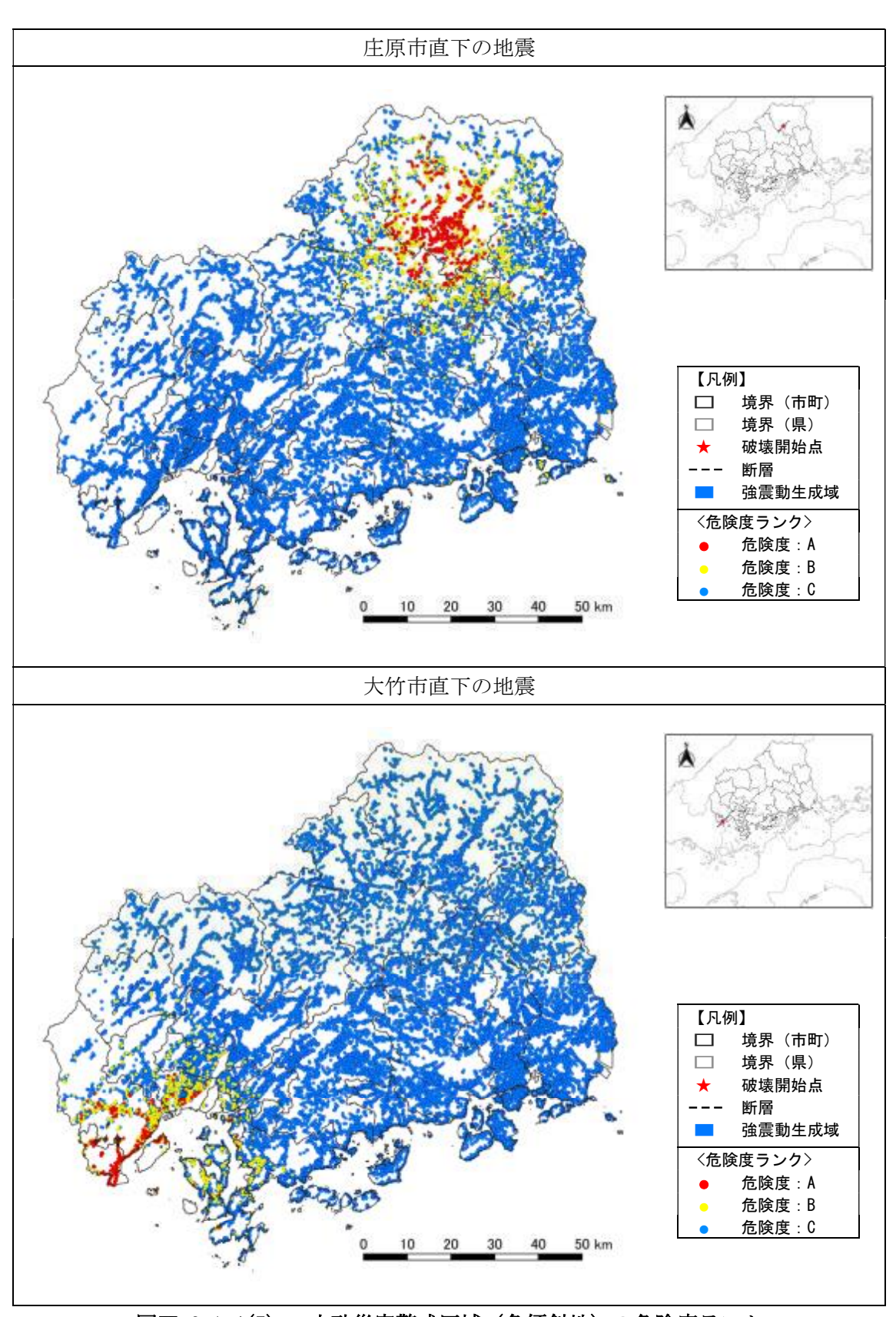
図Ⅲ.2.1-4(2) 土砂災害警戒区域(急傾斜地)の危険度ランク



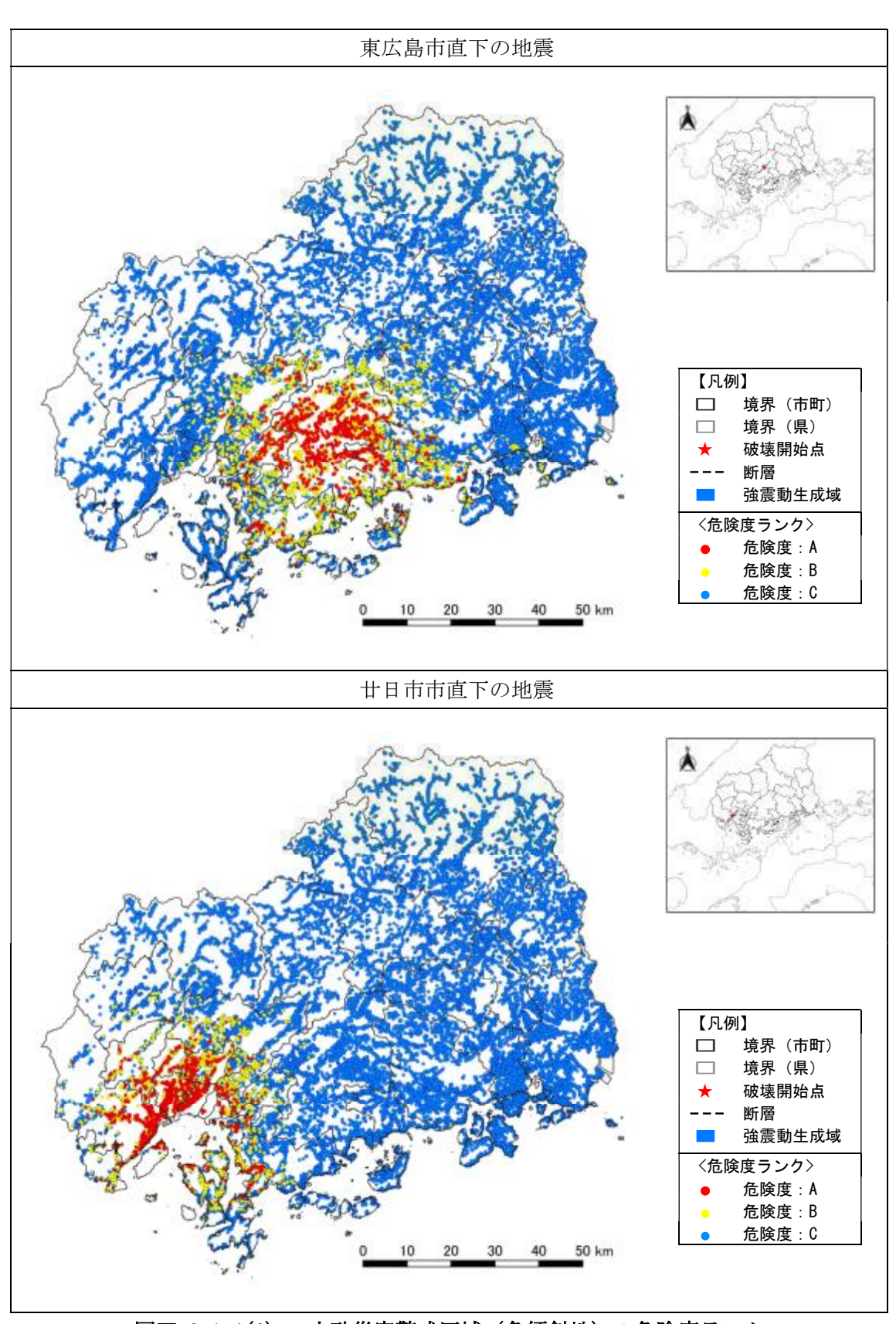
図Ⅲ.2.1-4(3) 土砂災害警戒区域(急傾斜地)の危険度ランク



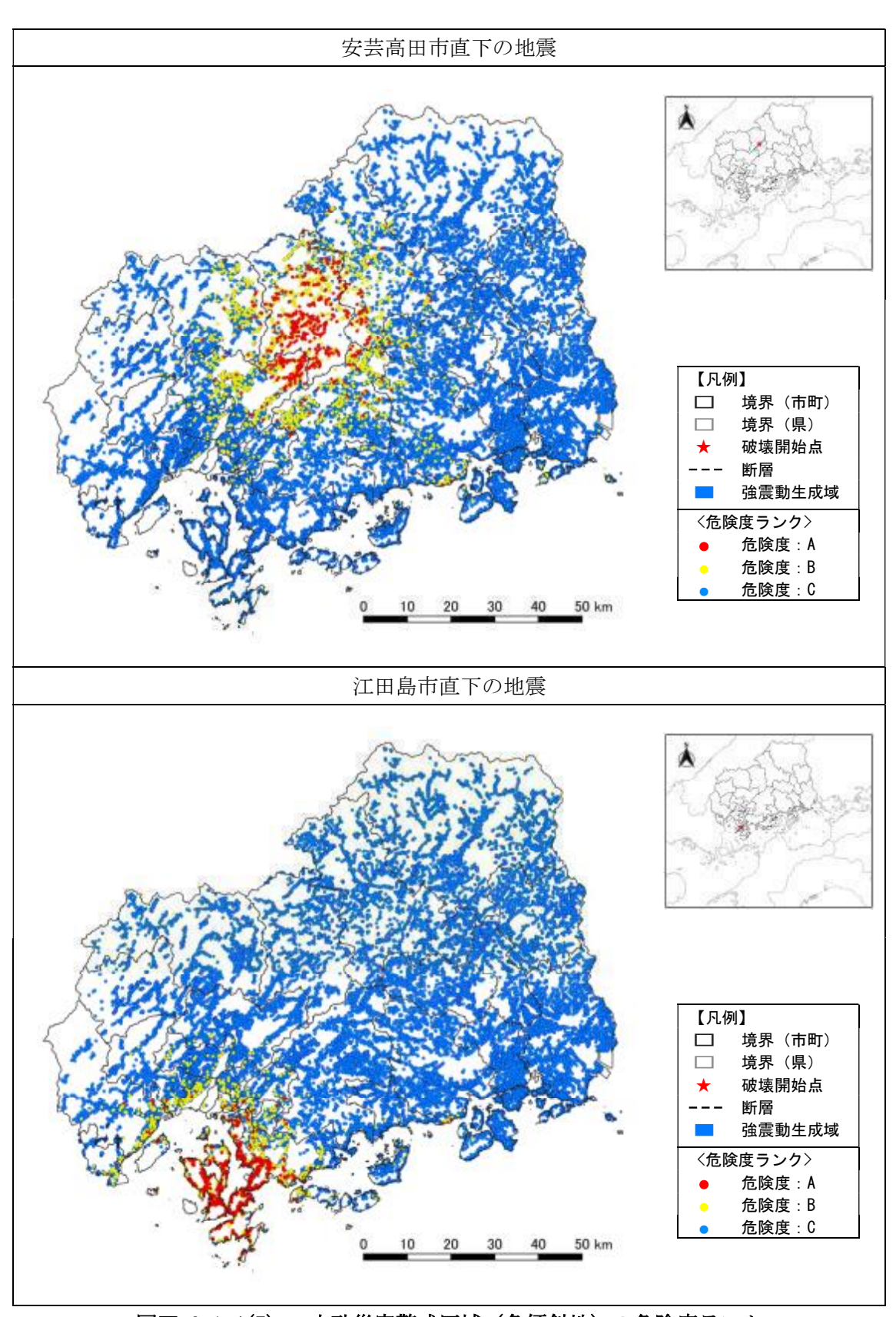
図Ⅲ.2.1-4(4) 土砂災害警戒区域(急傾斜地)の危険度ランク



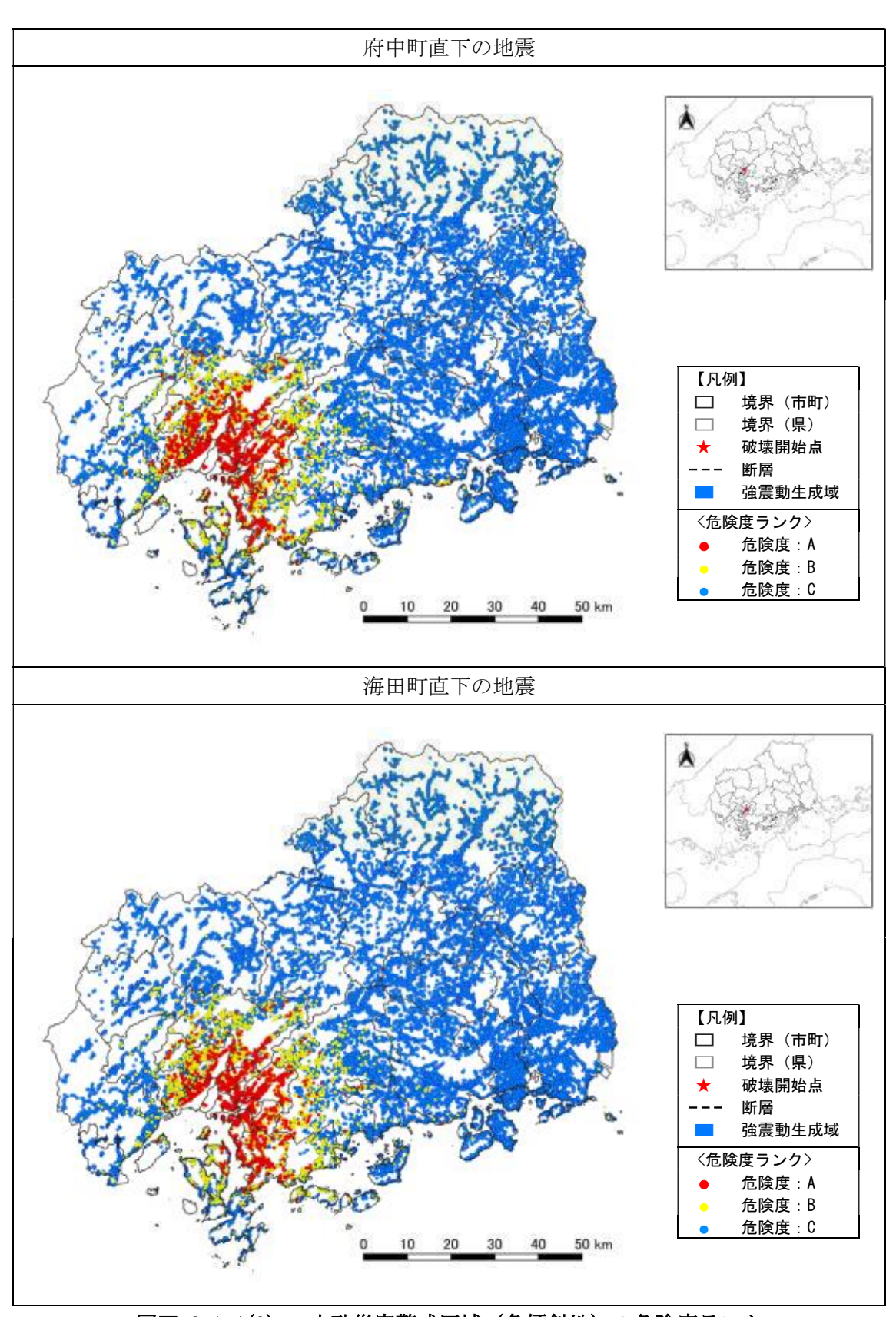
図Ⅲ.2.1-4(5) 土砂災害警戒区域(急傾斜地)の危険度ランク



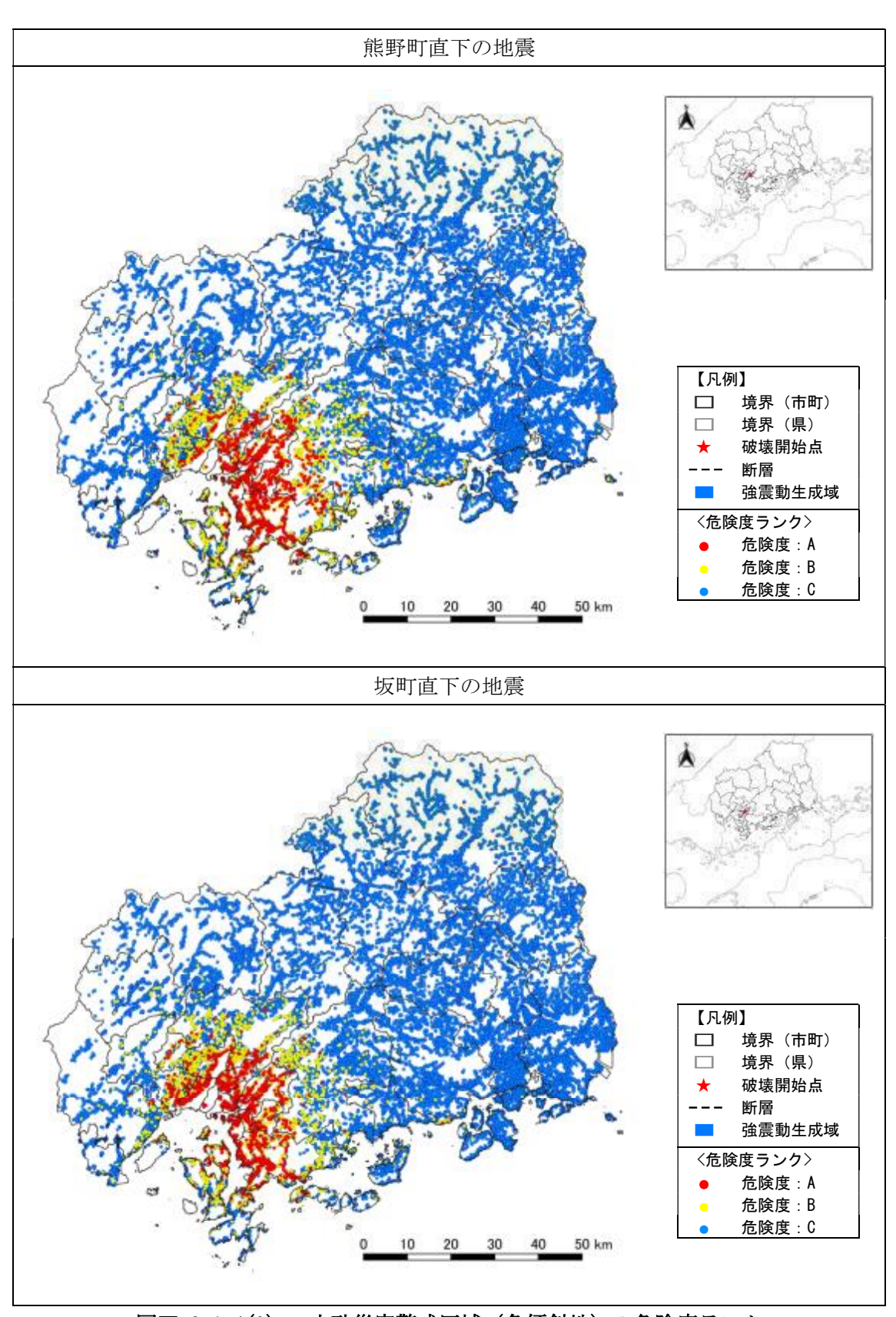
図Ⅲ.2.1-4(6) 土砂災害警戒区域(急傾斜地)の危険度ランク



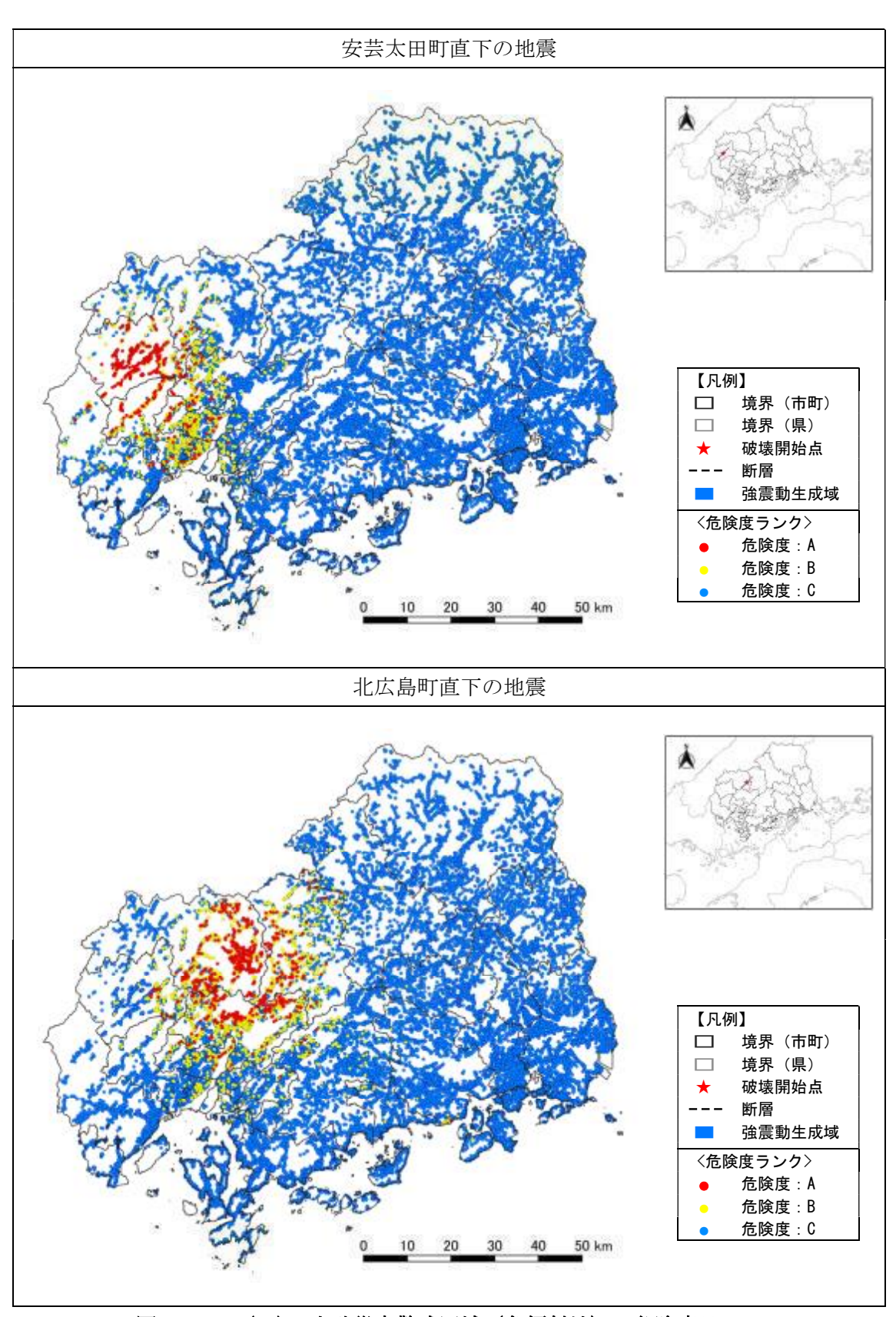
図Ⅲ.2.1-4(7) 土砂災害警戒区域(急傾斜地)の危険度ランク



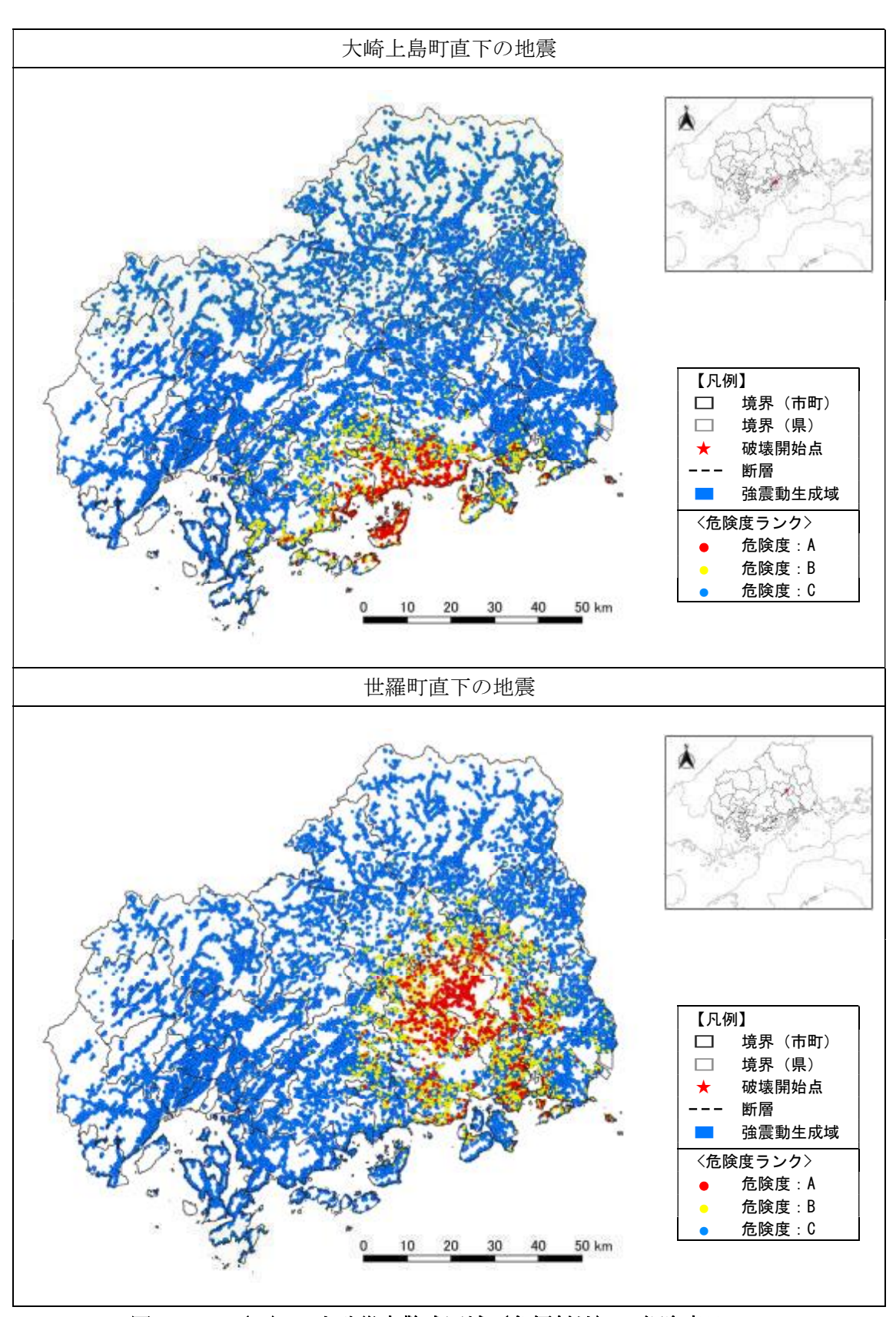
図Ⅲ.2.1-4(8) 土砂災害警戒区域(急傾斜地)の危険度ランク



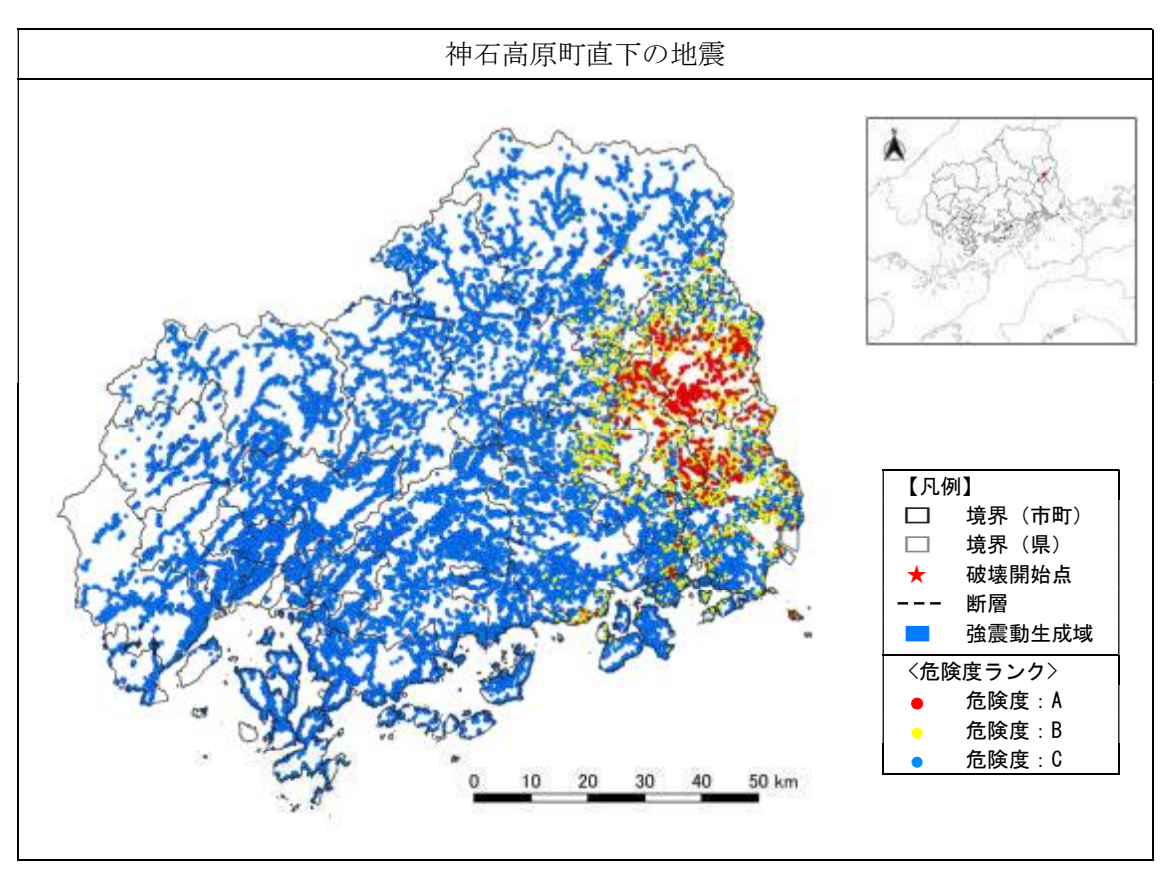
図Ⅲ.2.1-4(9) 土砂災害警戒区域(急傾斜地)の危険度ランク



図Ⅲ.2.1-4(10) 土砂災害警戒区域(急傾斜地)の危険度ランク

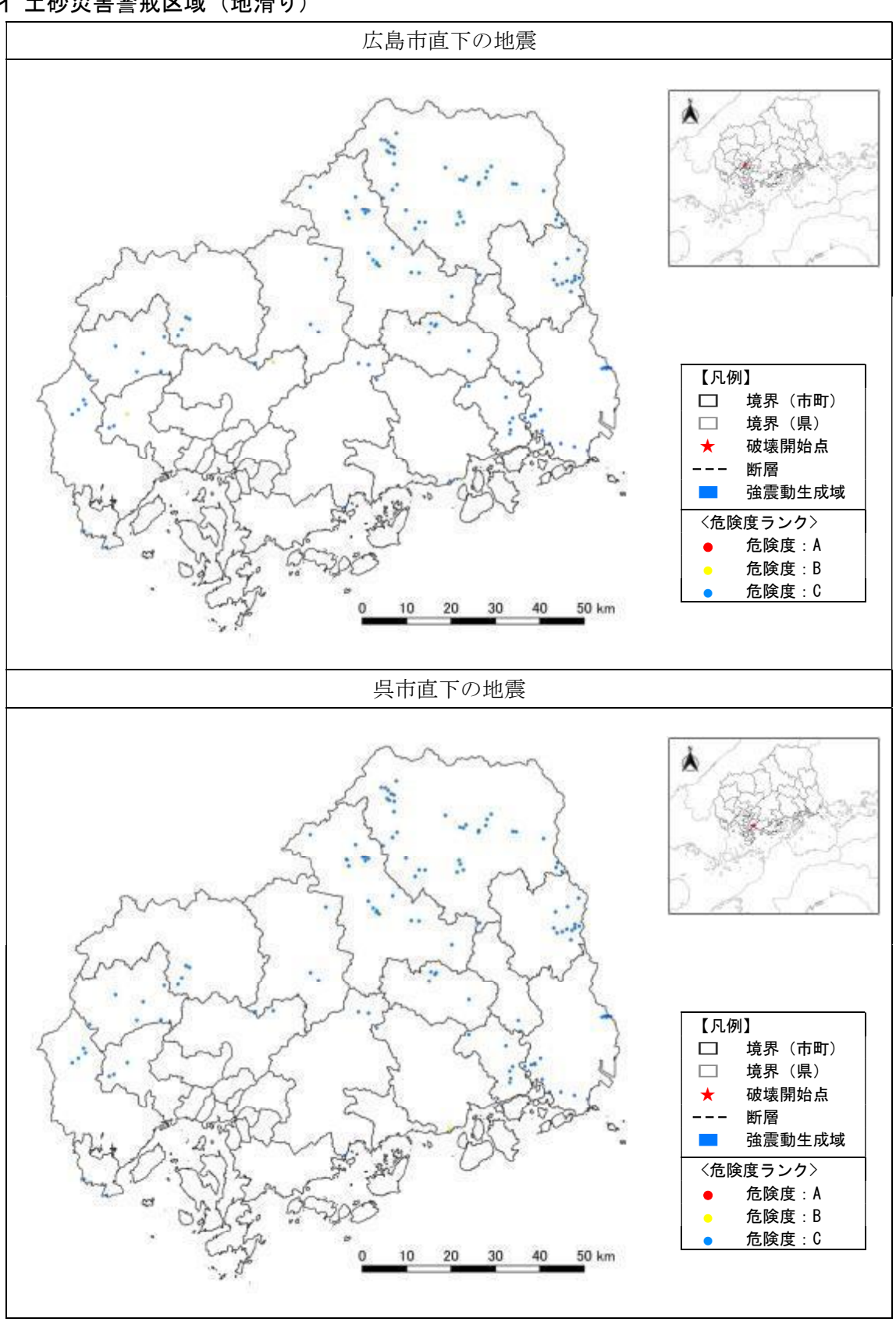


図Ⅲ.2.1-4(11) 土砂災害警戒区域(急傾斜地)の危険度ランク

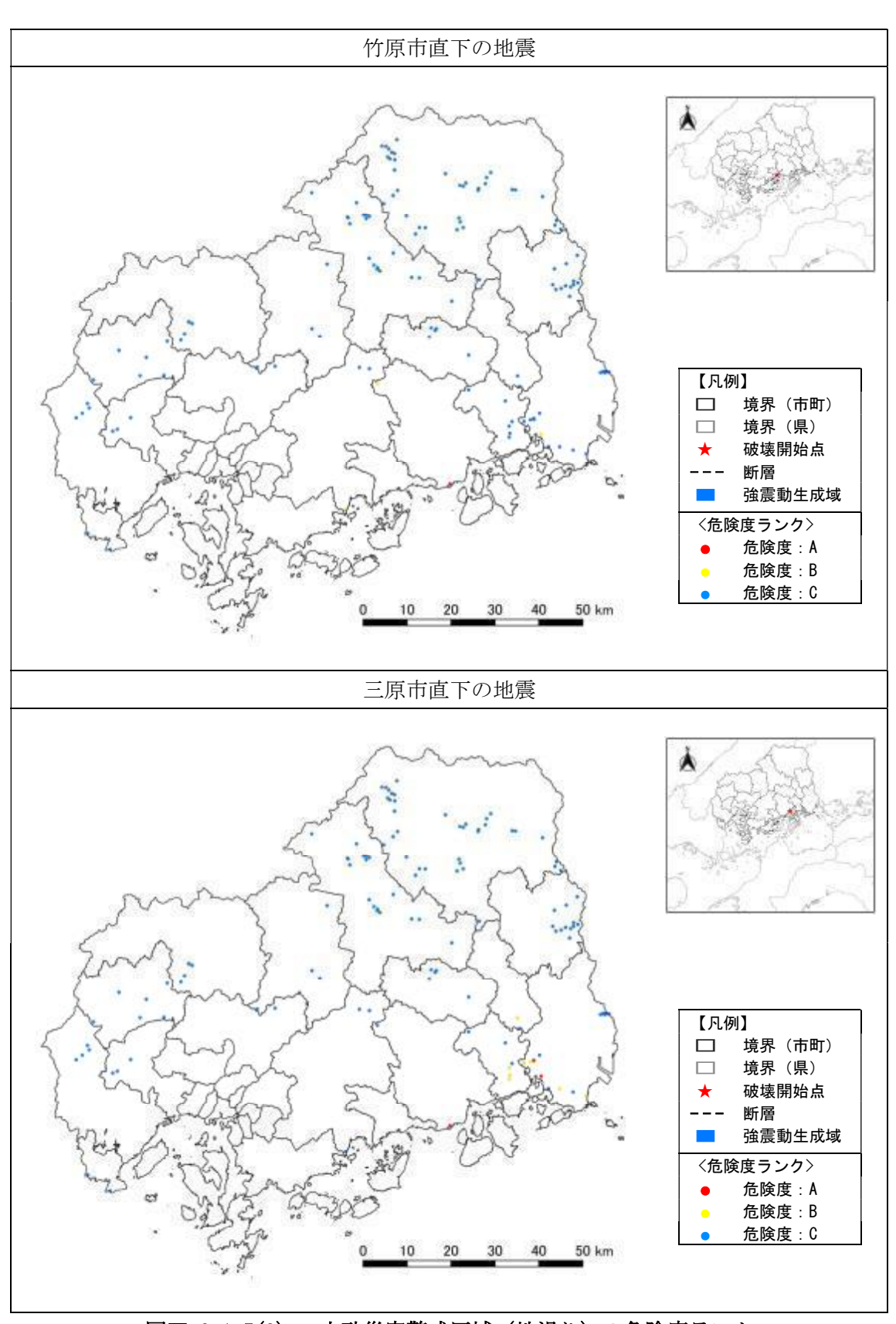


図Ⅲ.2.1-4(12) 土砂災害警戒区域(急傾斜地)の危険度ランク

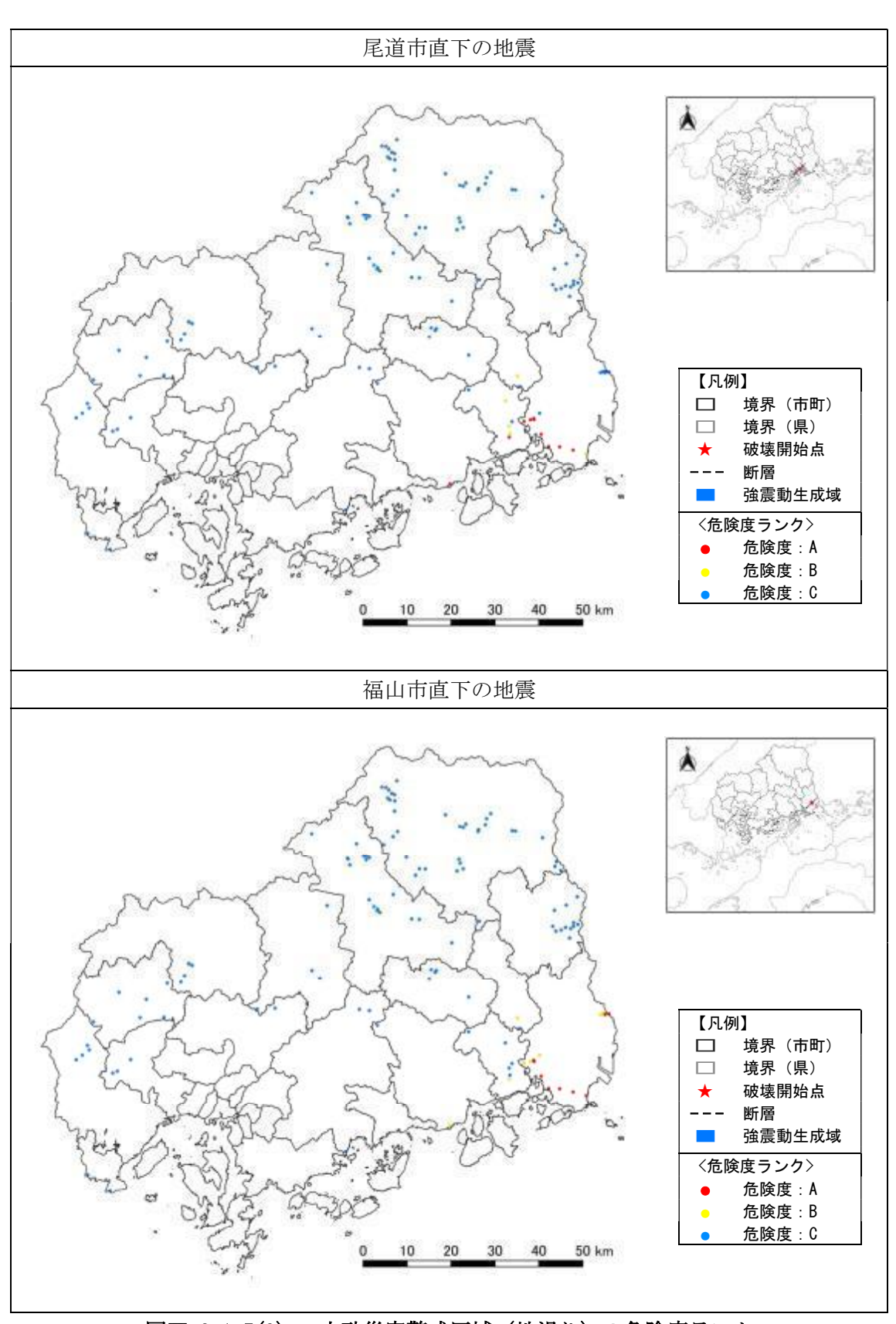
イ 土砂災害警戒区域(地滑り)



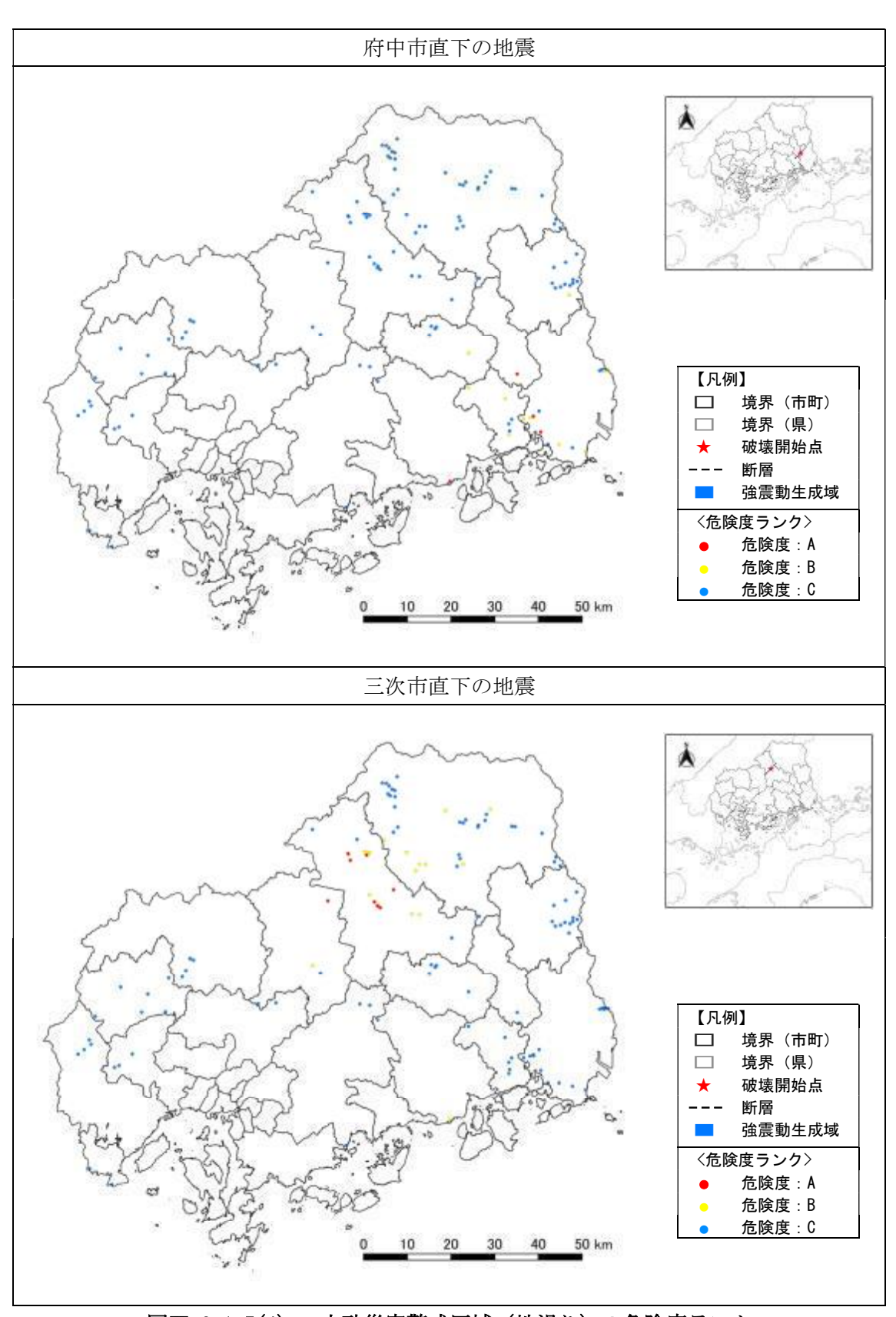
土砂災害警戒区域(地滑り)の危険度ランク 図Ⅲ.2.1-5(1)



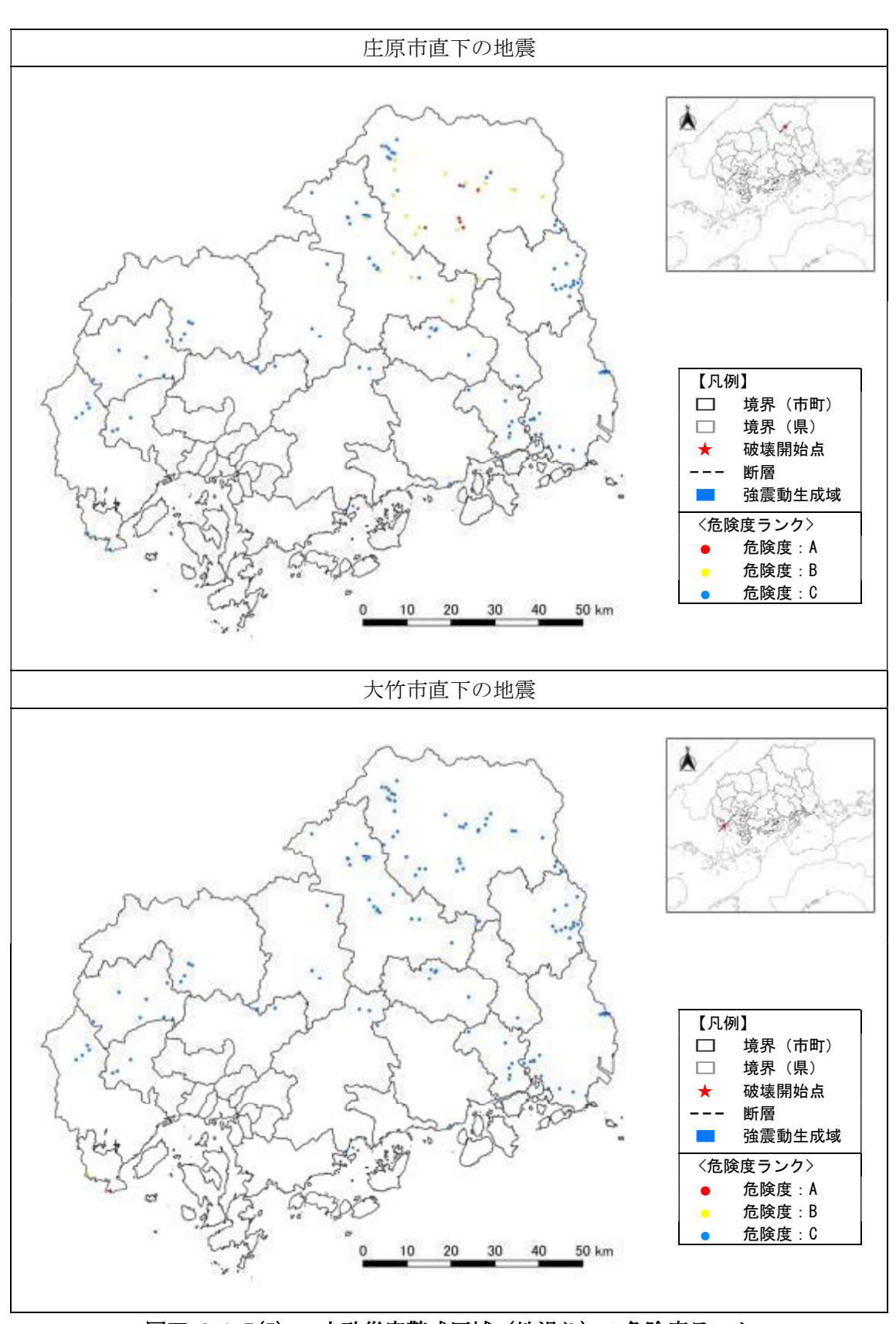
図Ⅲ.2.1-5(2) 土砂災害警戒区域(地滑り)の危険度ランク



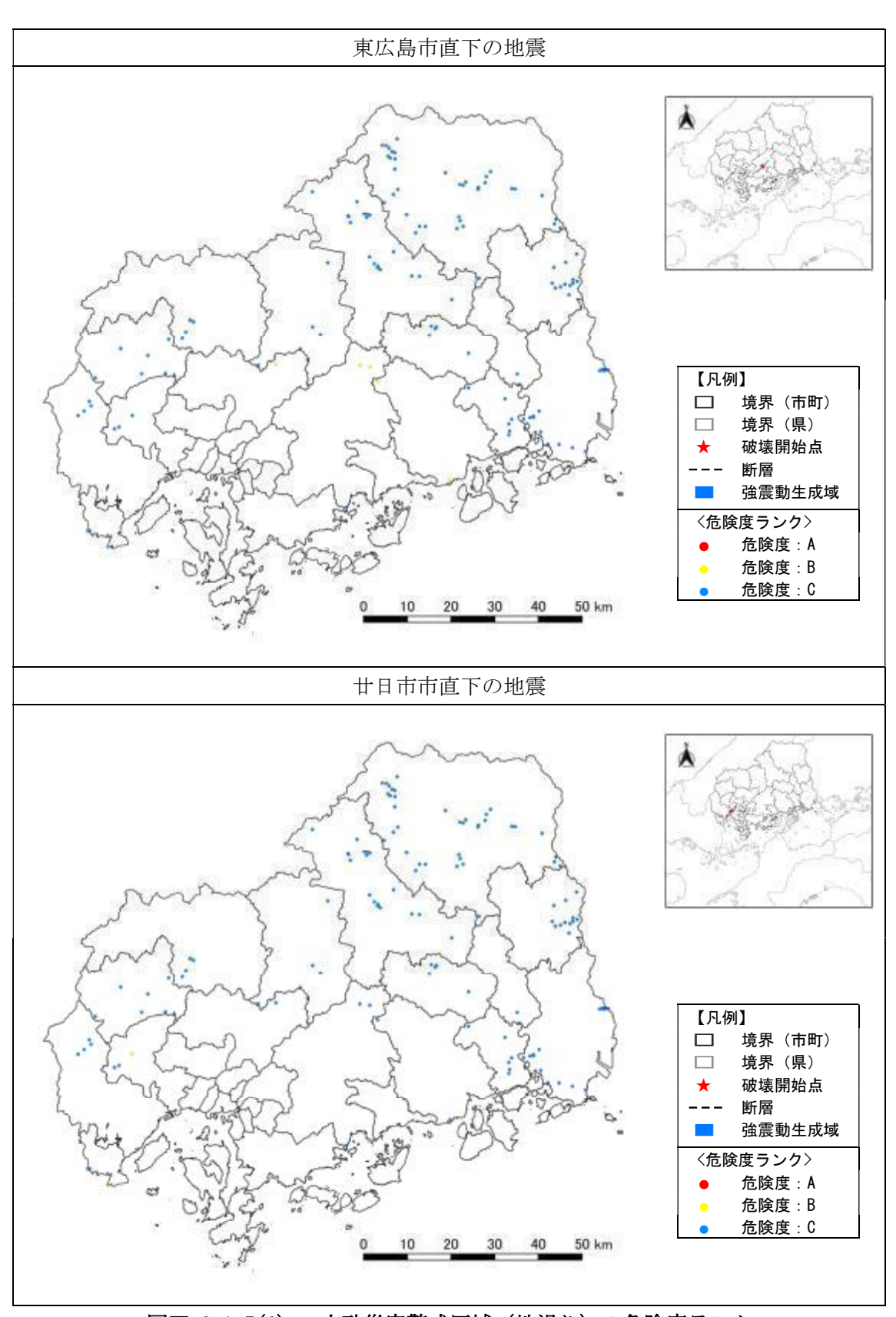
図Ⅲ.2.1-5(3) 土砂災害警戒区域(地滑り)の危険度ランク



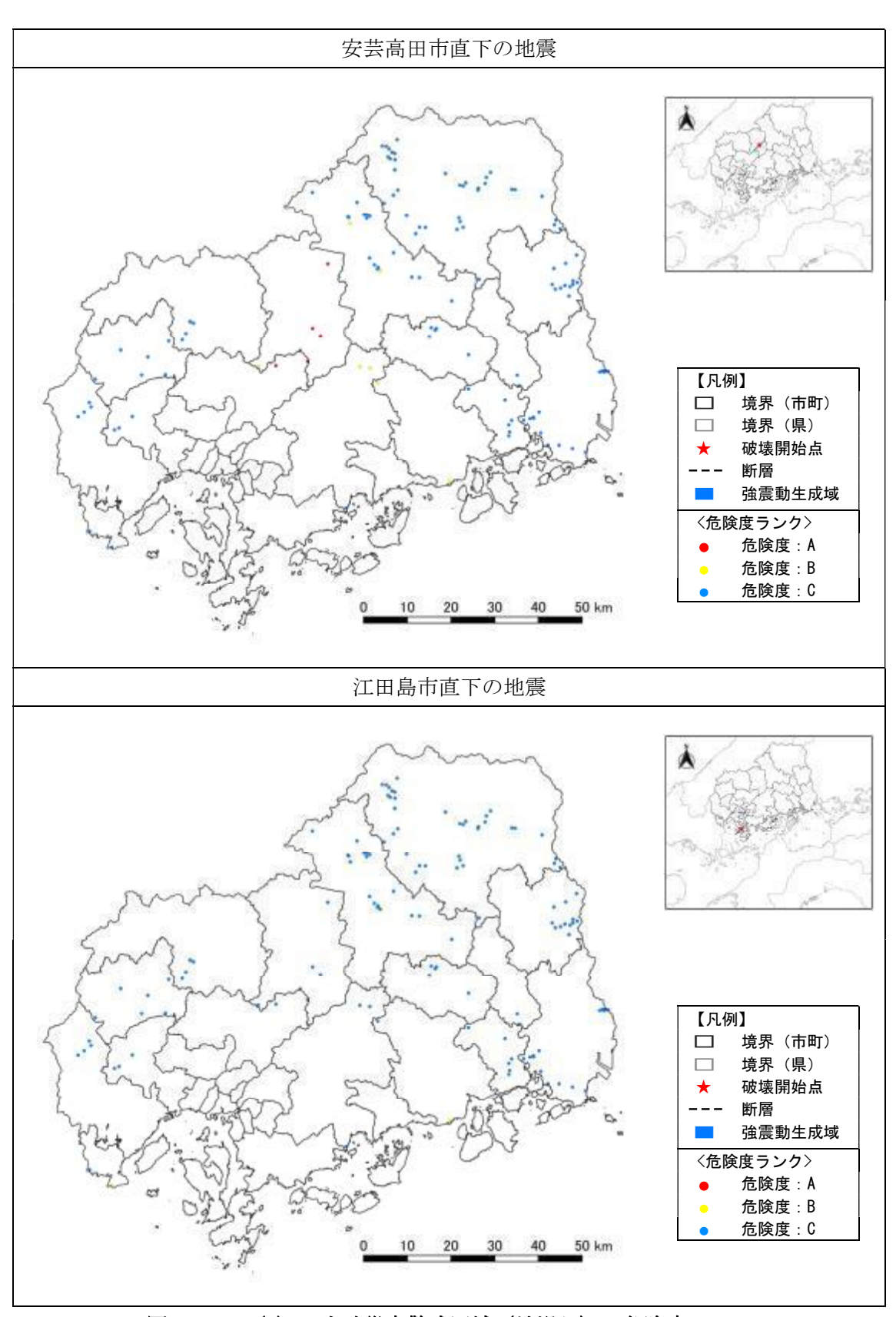
図Ⅲ.2.1-5(4) 土砂災害警戒区域(地滑り)の危険度ランク



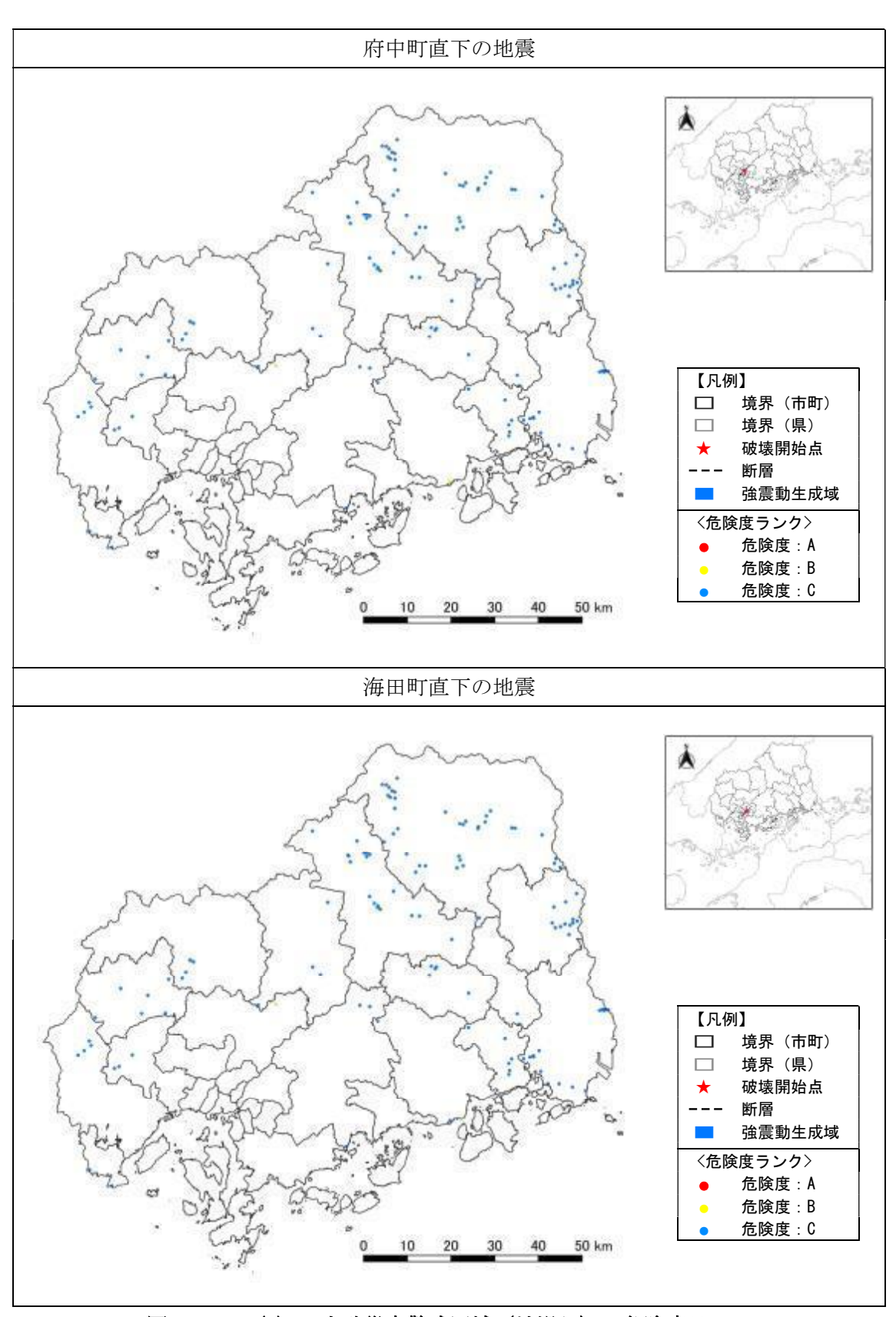
図Ⅲ.2.1-5(5) 土砂災害警戒区域(地滑り)の危険度ランク



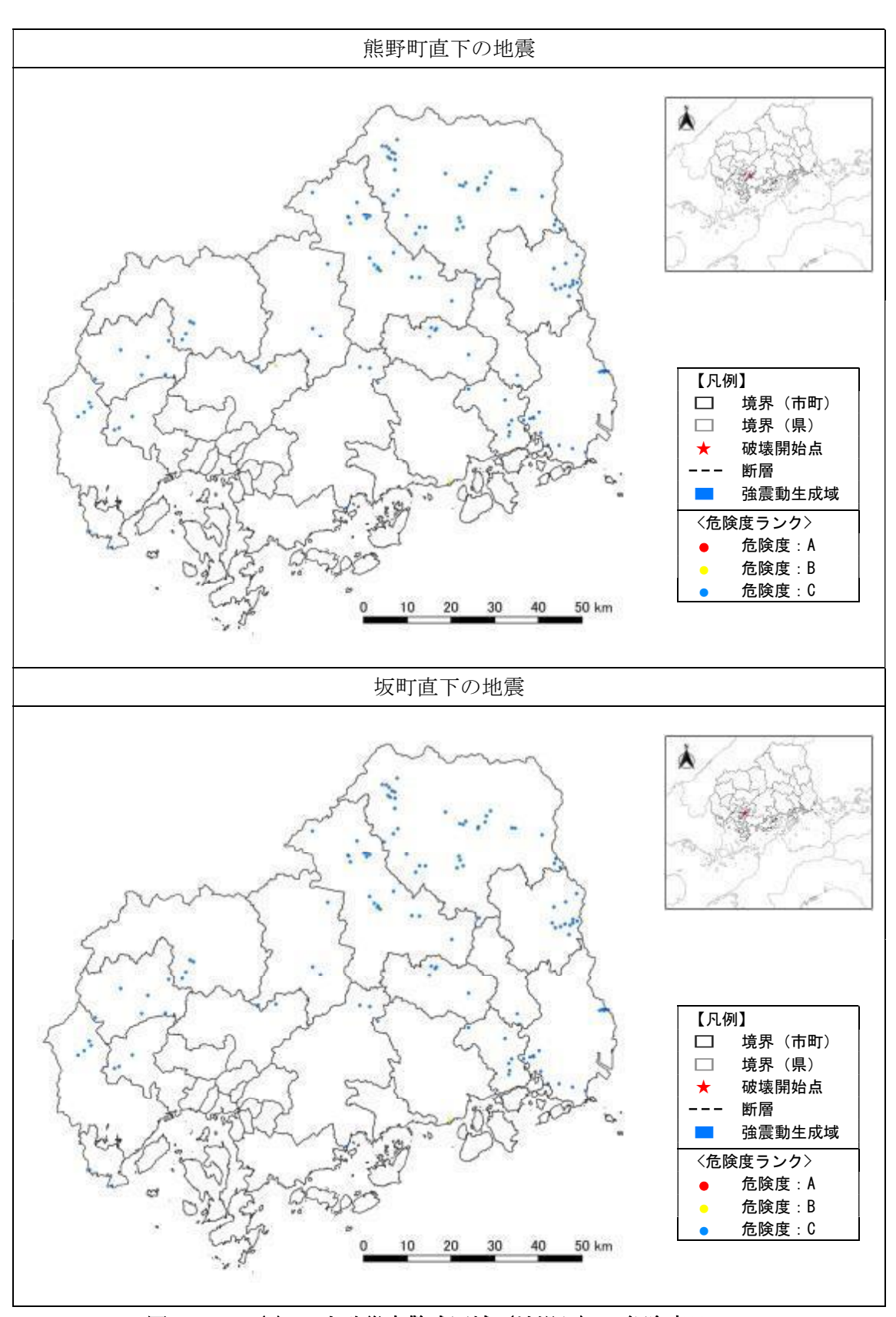
図Ⅲ.2.1-5(6) 土砂災害警戒区域(地滑り)の危険度ランク



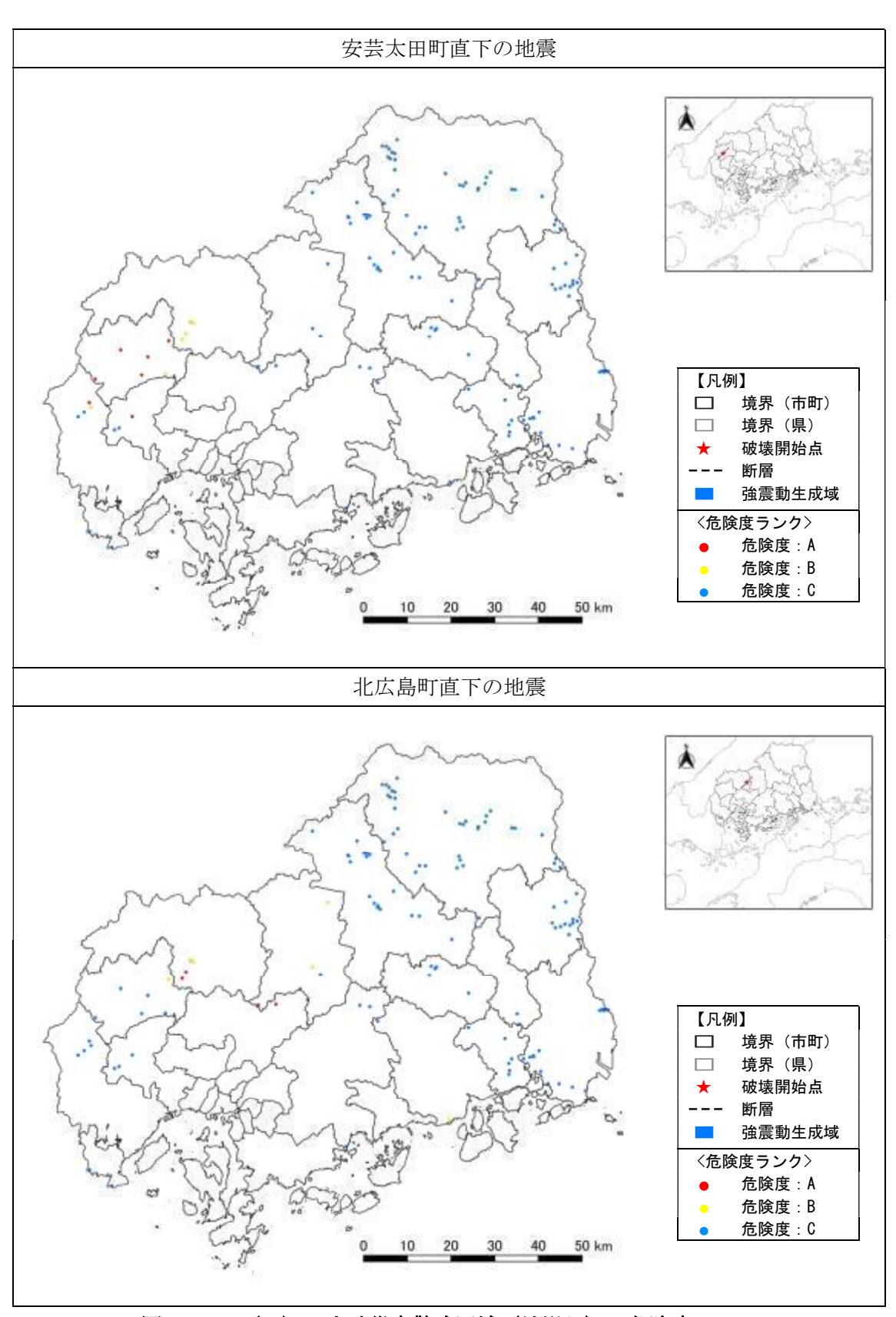
図Ⅲ.2.1-5(7) 土砂災害警戒区域(地滑り)の危険度ランク



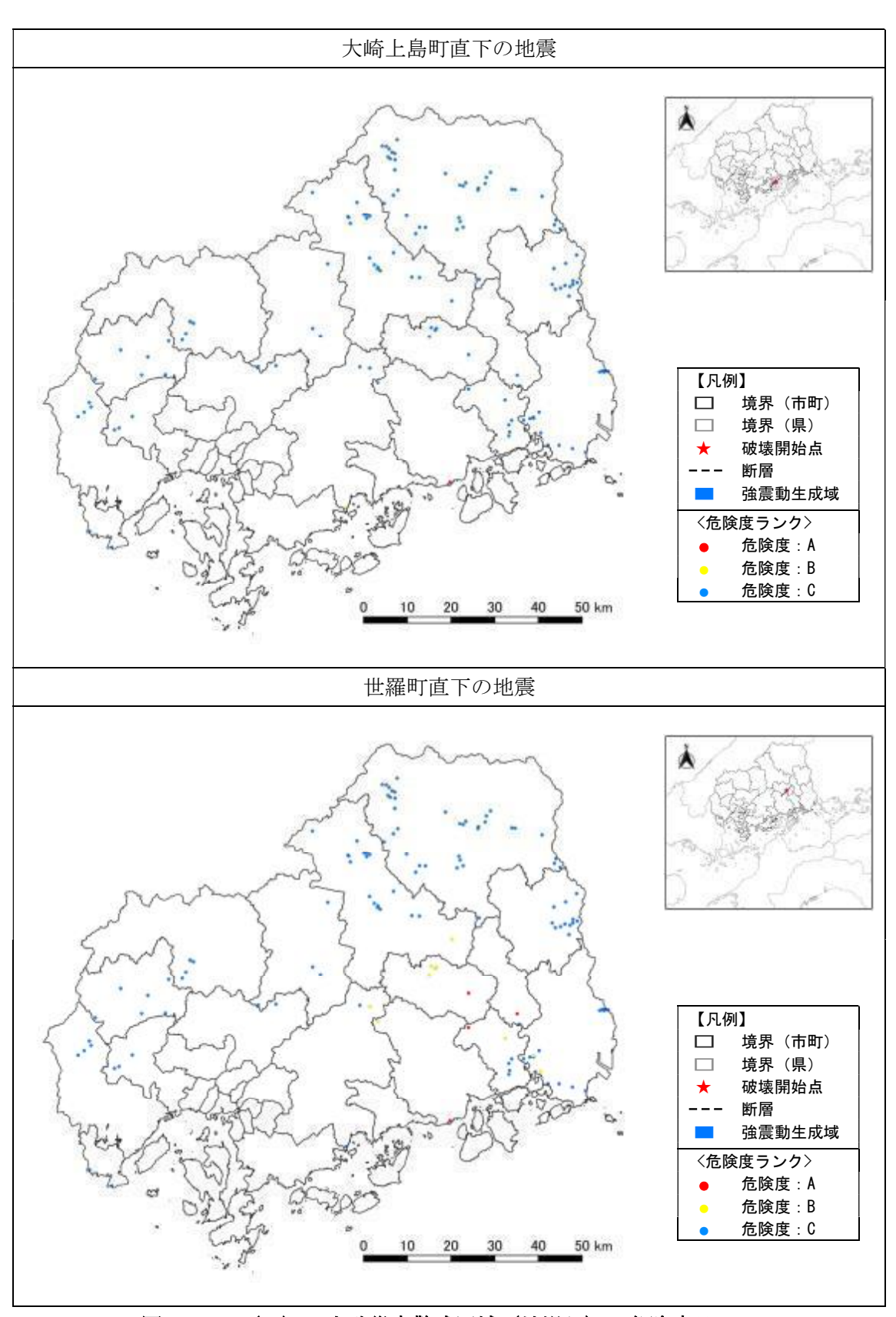
図Ⅲ.2.1-5(8) 土砂災害警戒区域(地滑り)の危険度ランク



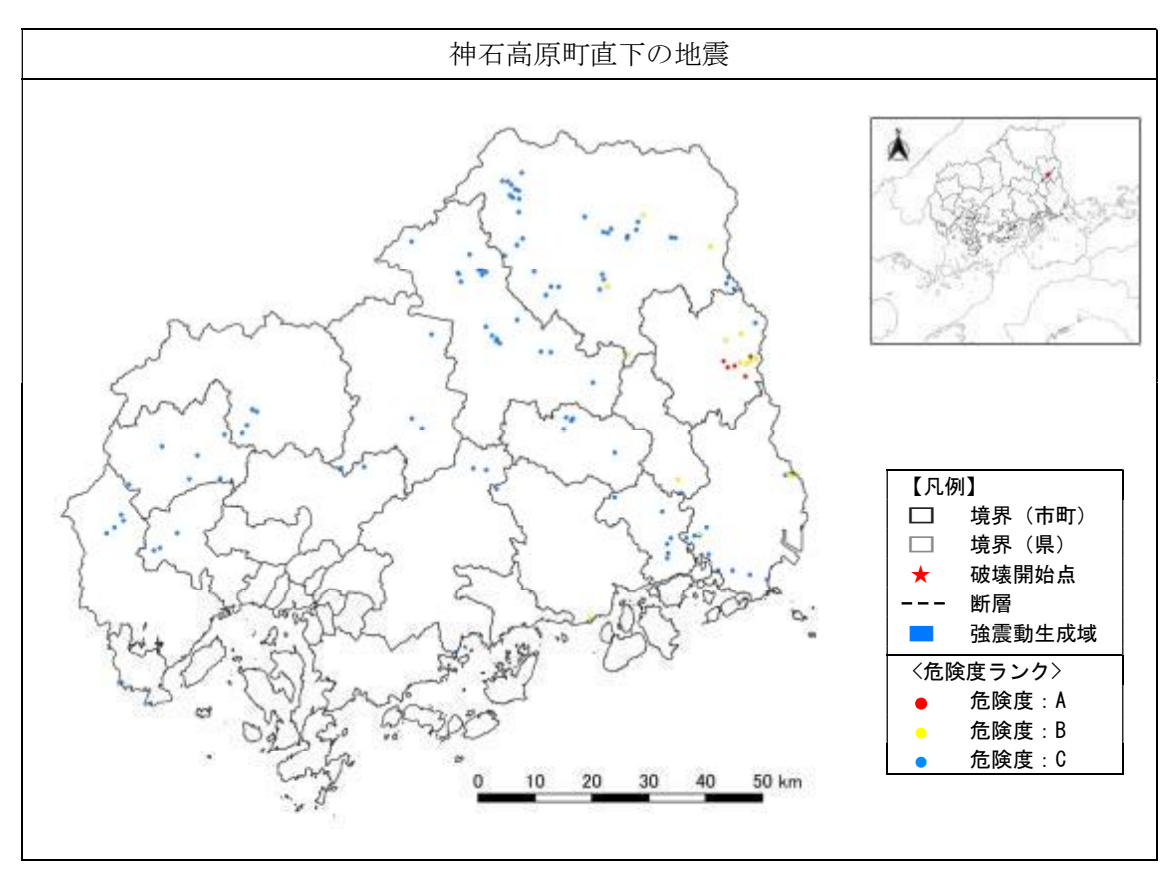
図Ⅲ.2.1-5(9) 土砂災害警戒区域(地滑り)の危険度ランク



図Ⅲ.2.1-5(10) 土砂災害警戒区域(地滑り)の危険度ランク



図Ⅲ.2.1-5(11) 土砂災害警戒区域(地滑り)の危険度ランク

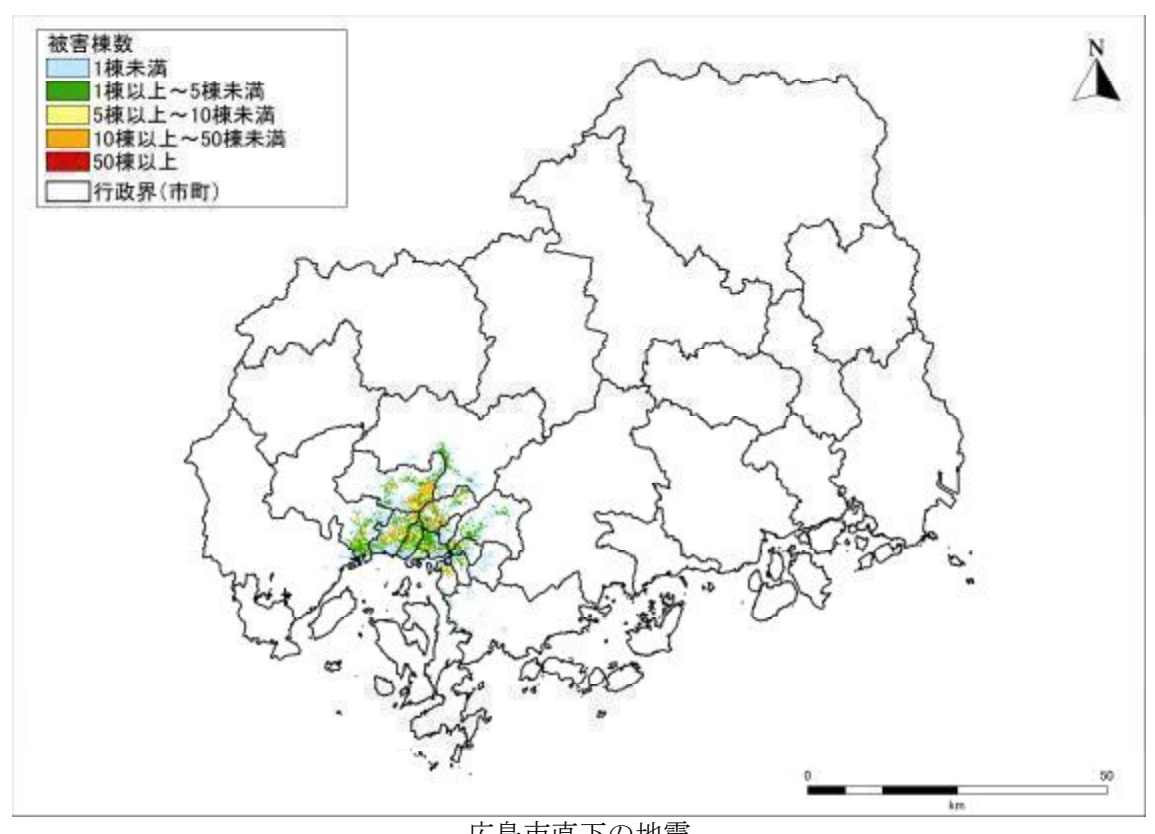


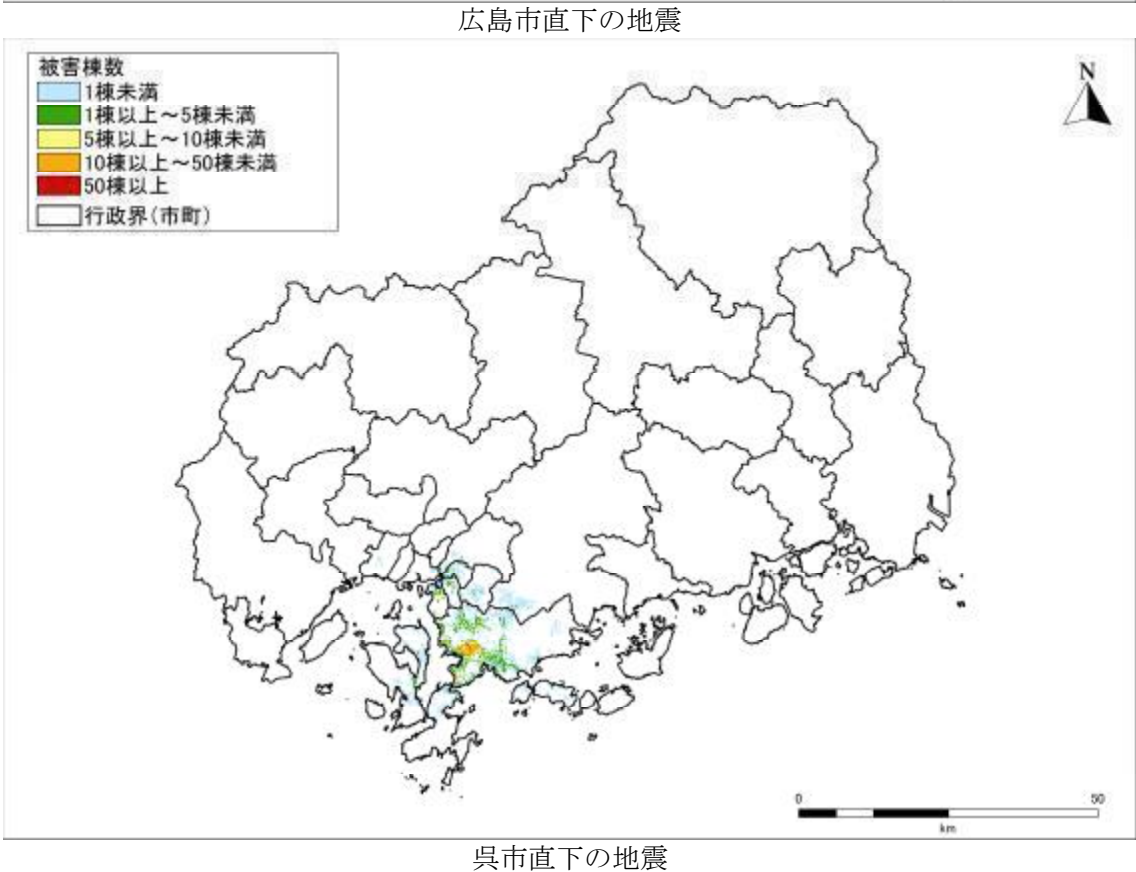
図Ⅲ.2.1-5(12) 土砂災害警戒区域(地滑り)の危険度ランク

2 被害の想定

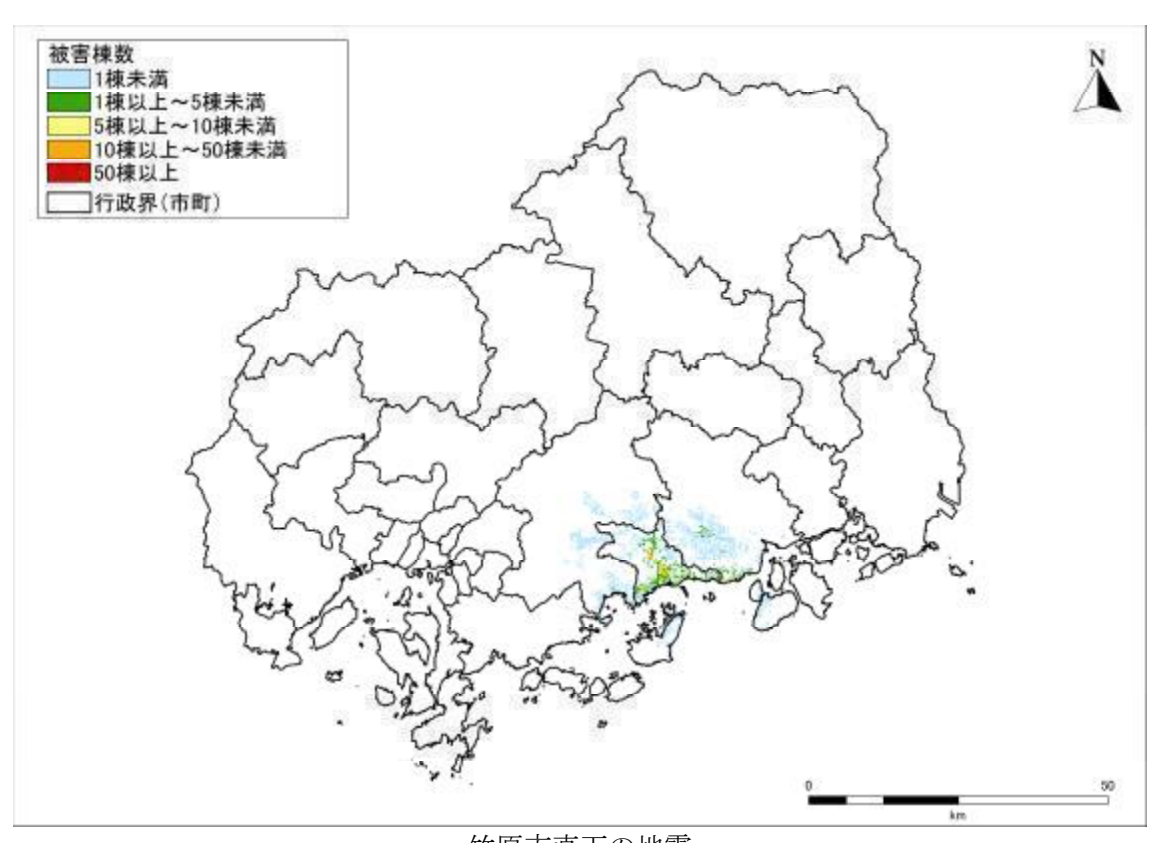
(1) 揺れによる建物被害

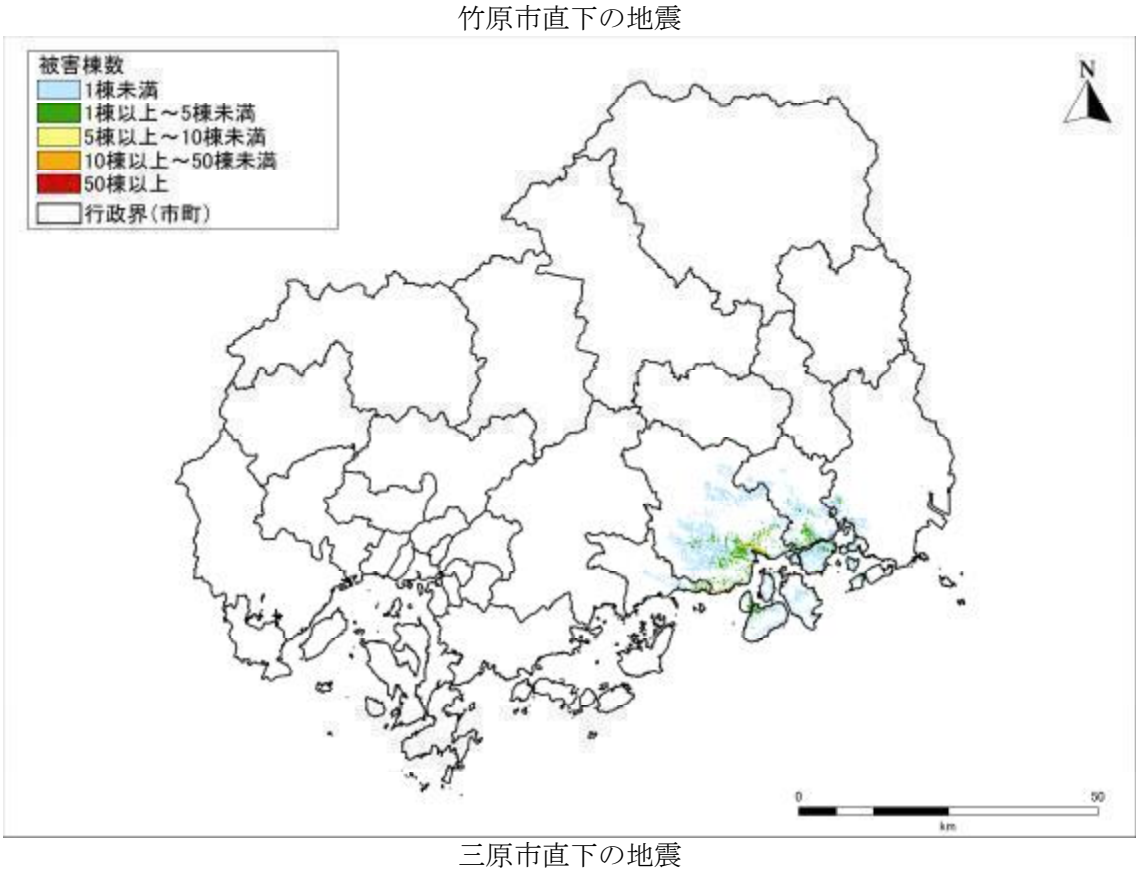
県内各市町役場の所在地に震源位置を仮定した23の地震を想定地震とする、揺れによる建物被害を250mメッシュで表示した。



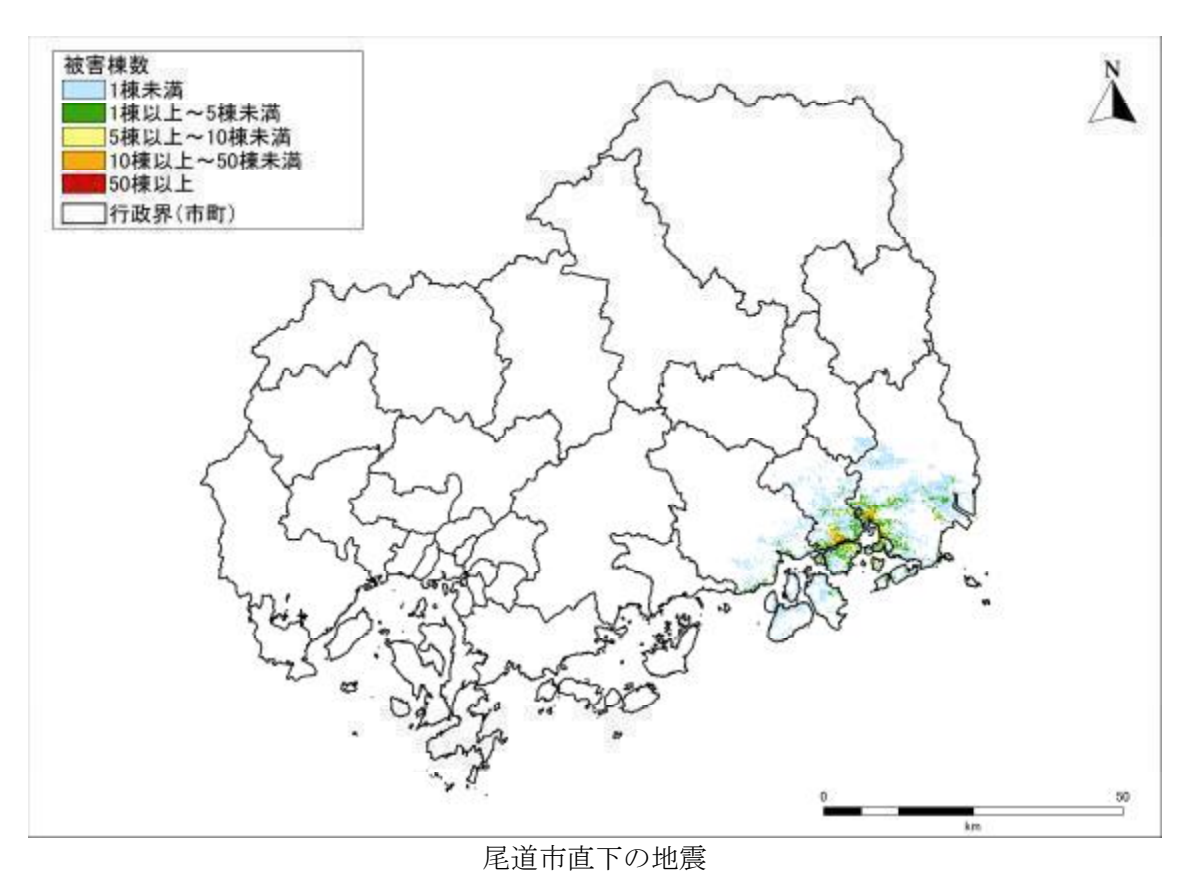


図Ⅲ.2.2-1(1) 揺れによる全壊棟数分布



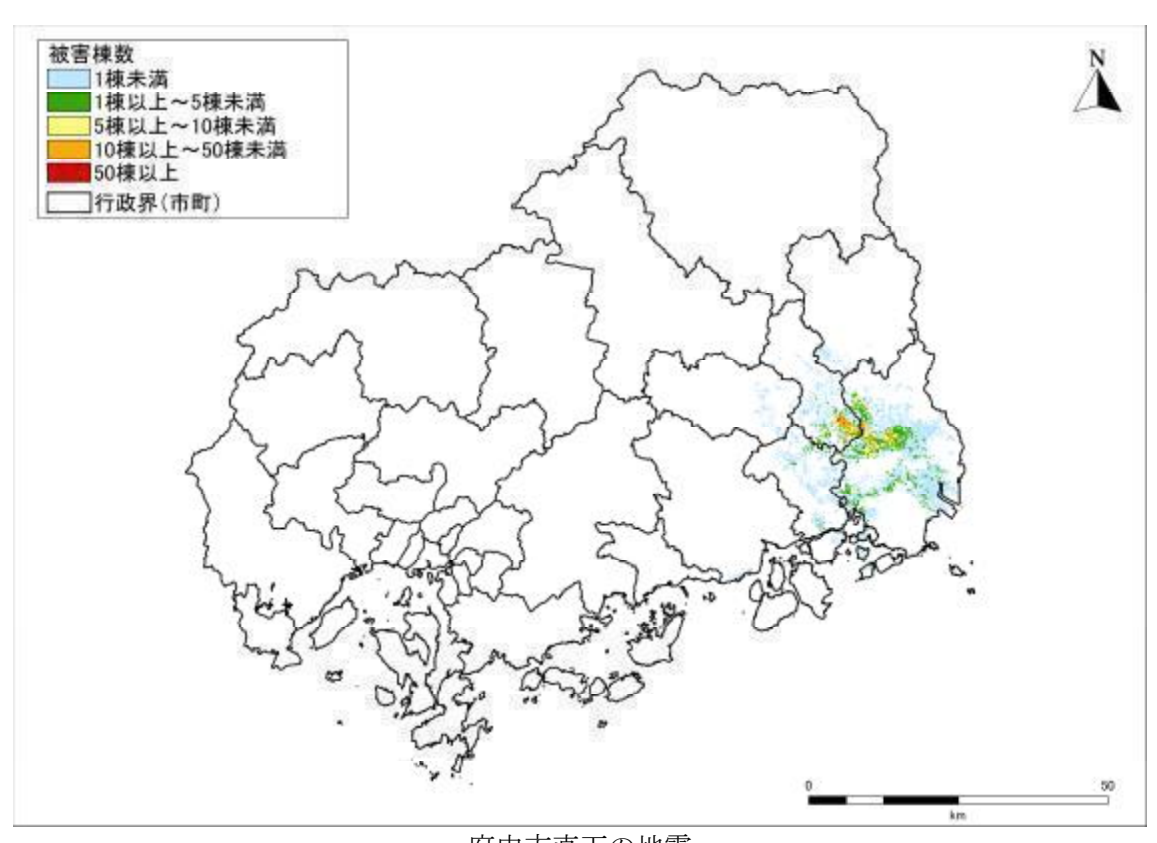


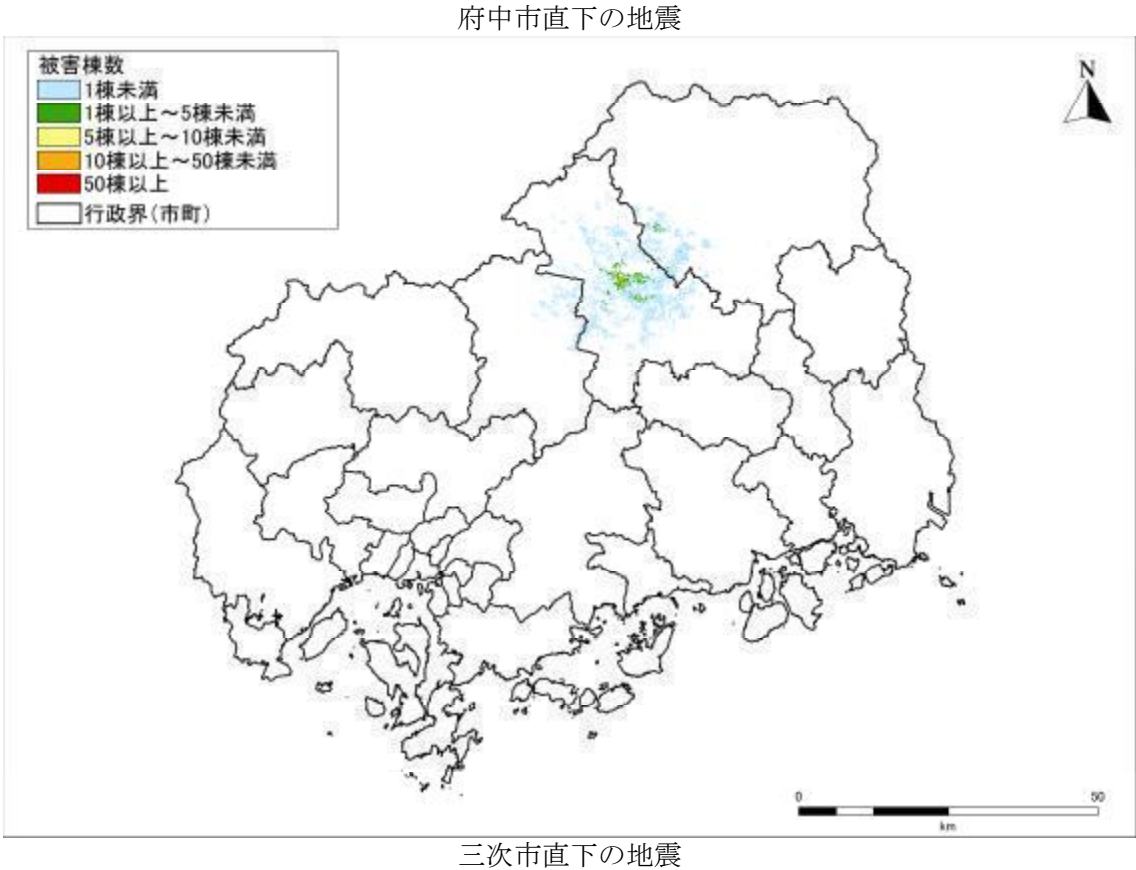
図Ⅲ.2.2-1(2) 揺れによる全壊棟数分布



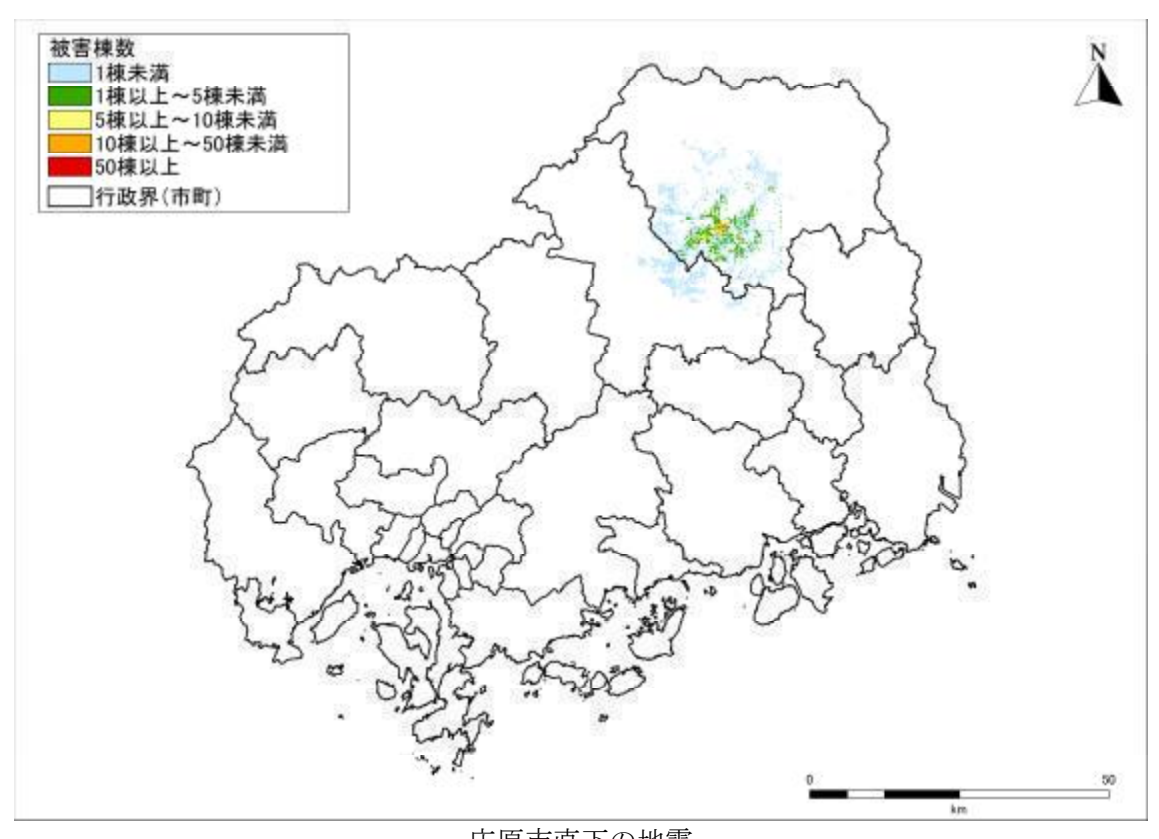


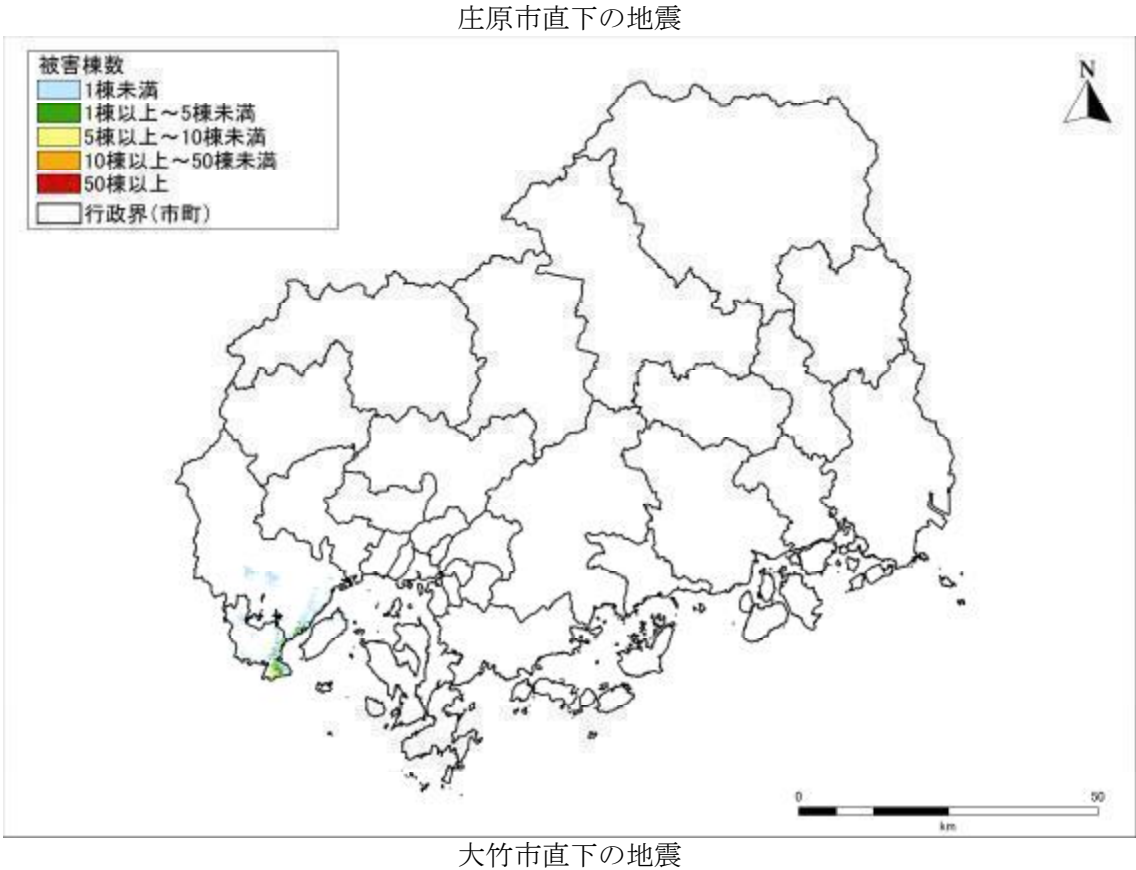
福山市直下の地震 図Ⅲ.2.2-1(3) 揺れによる全壊棟数分布



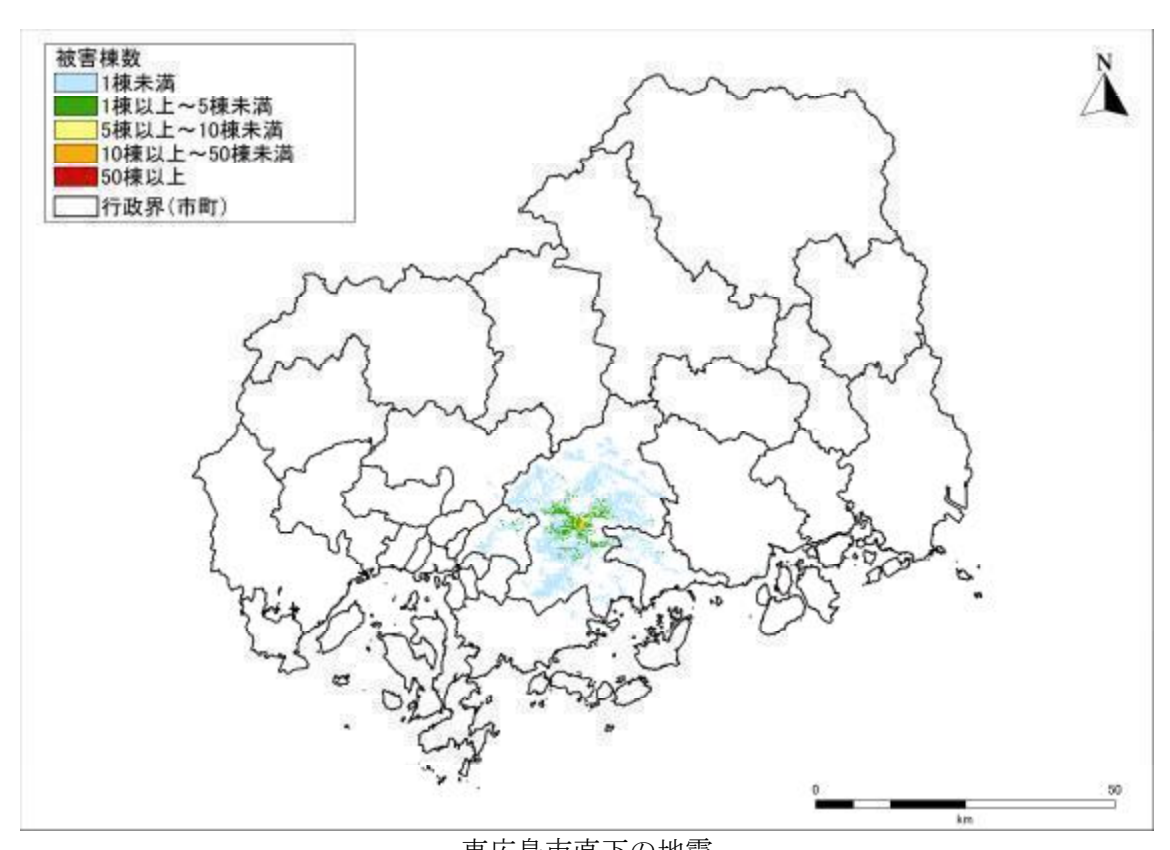


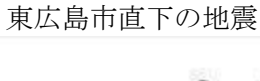
図Ⅲ.2.2-1(4) 揺れによる全壊棟数分布

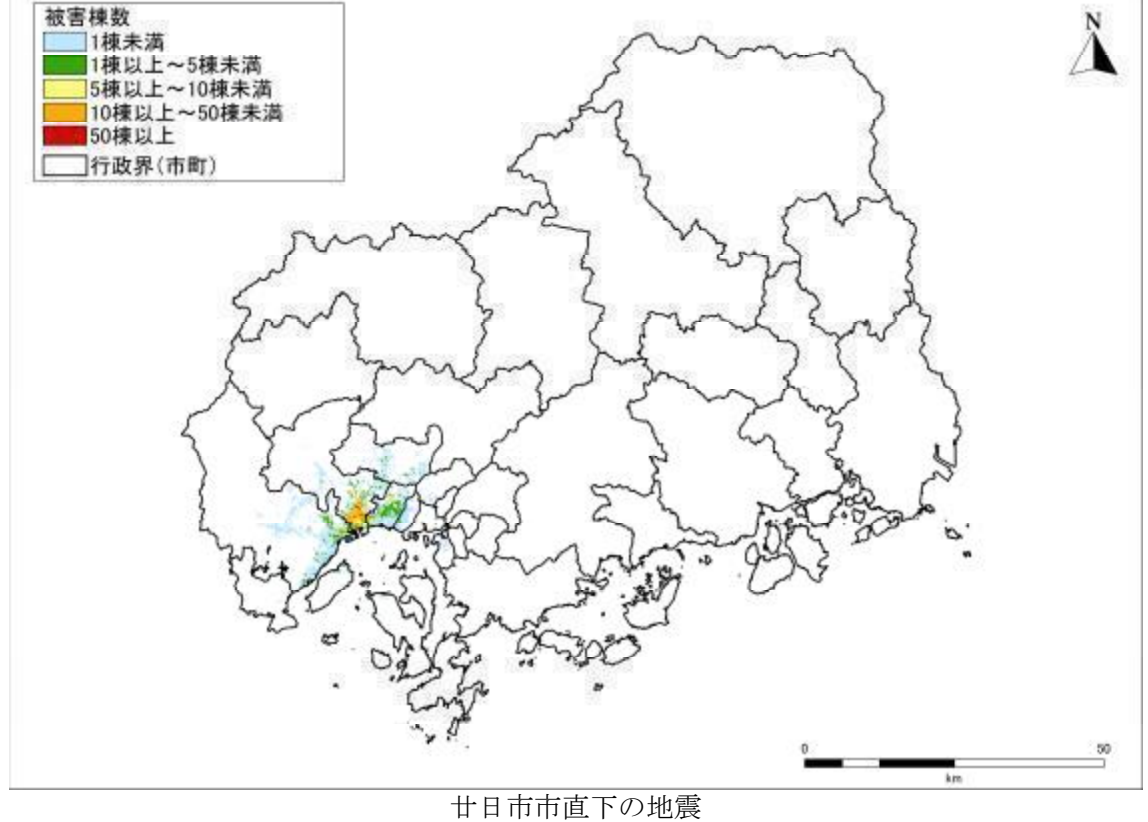




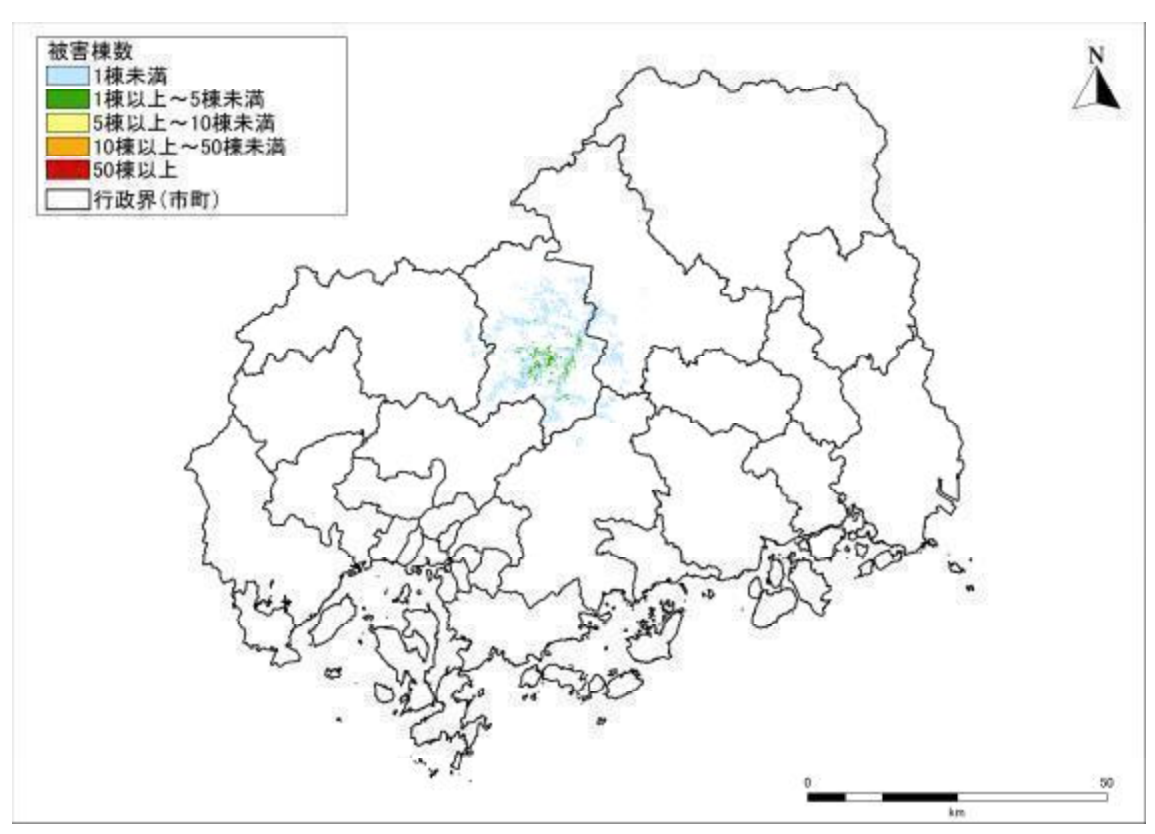
図Ⅲ.2.2-1(5) 揺れによる全壊棟数分布

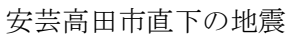






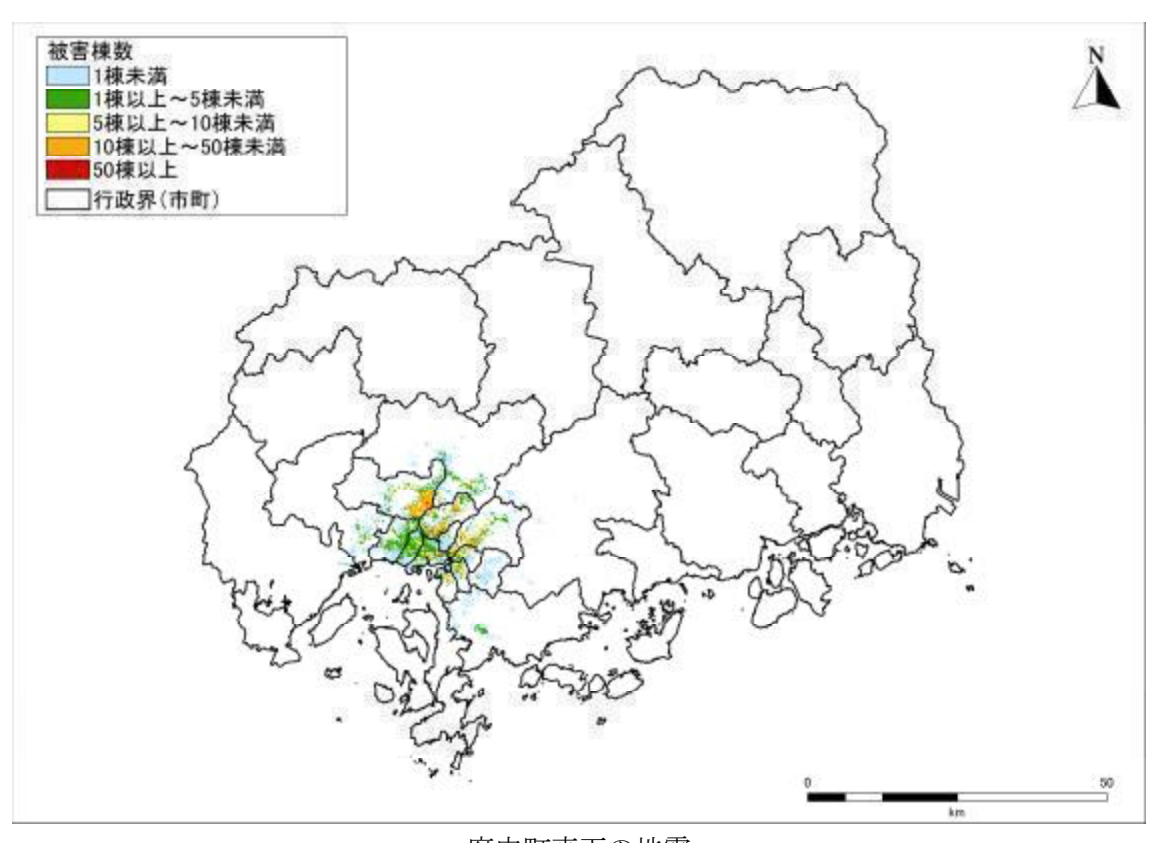
図Ⅲ.2.2-1(6) 揺れによる全壊棟数分布

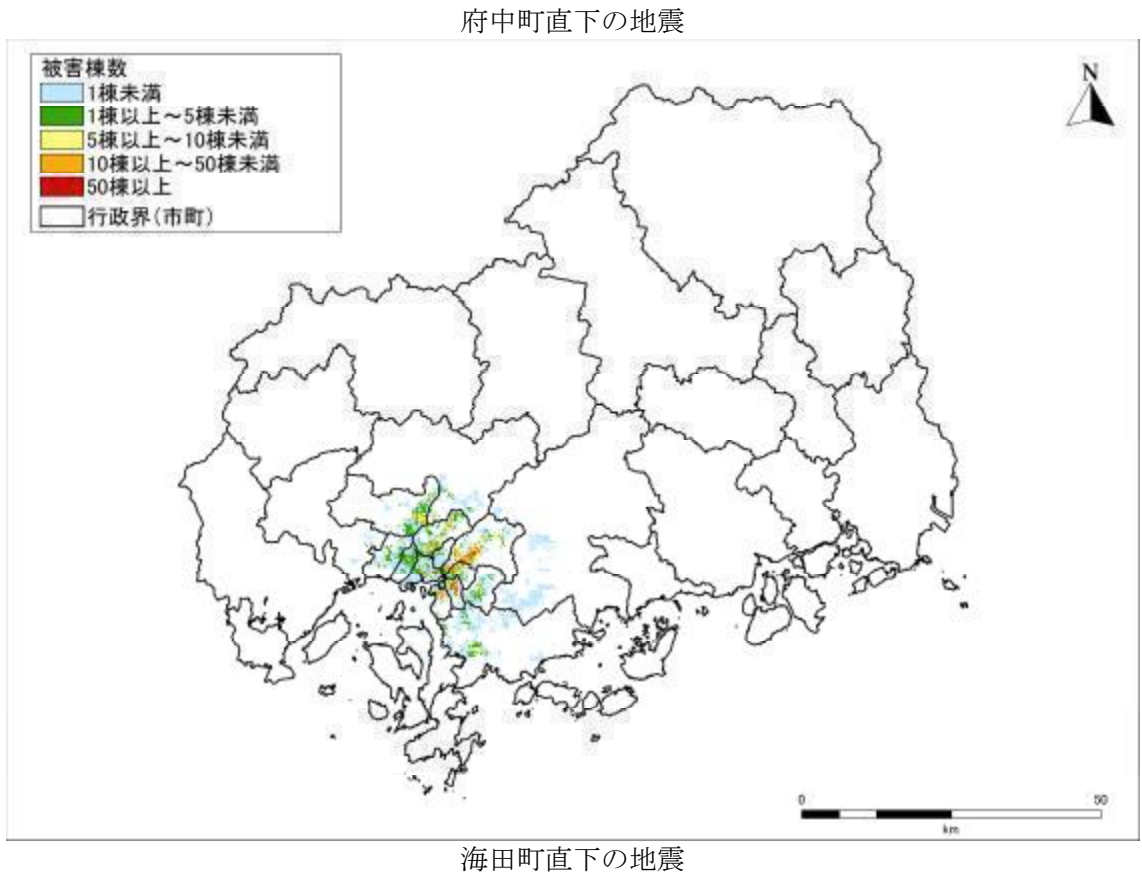




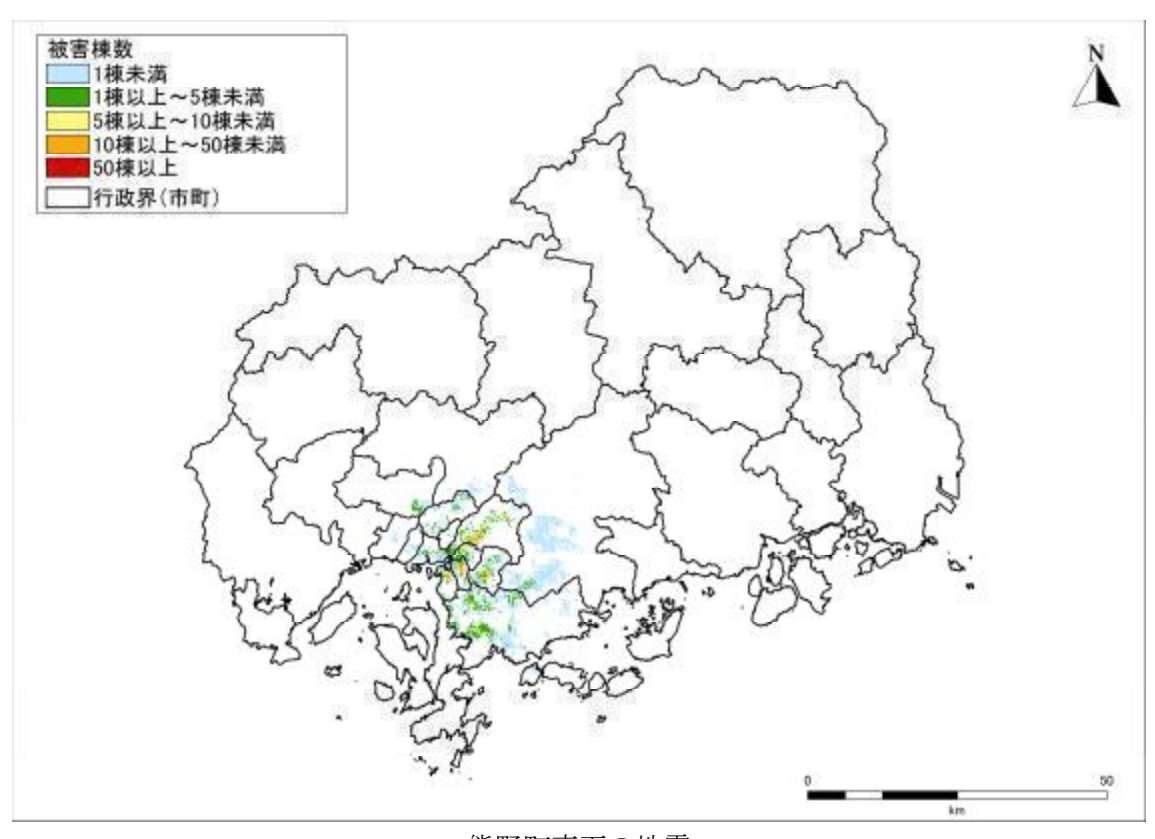


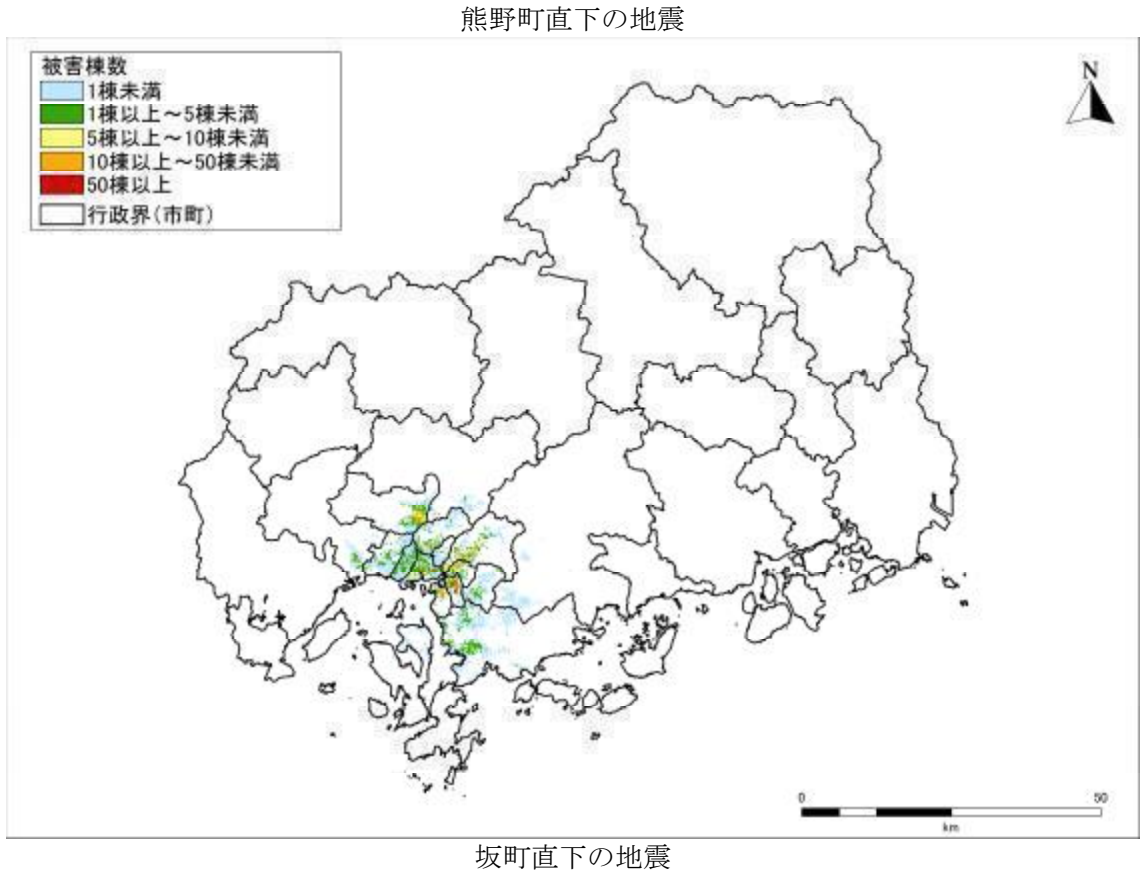
図Ⅲ.2.2-1(7) 揺れによる全壊棟数分布



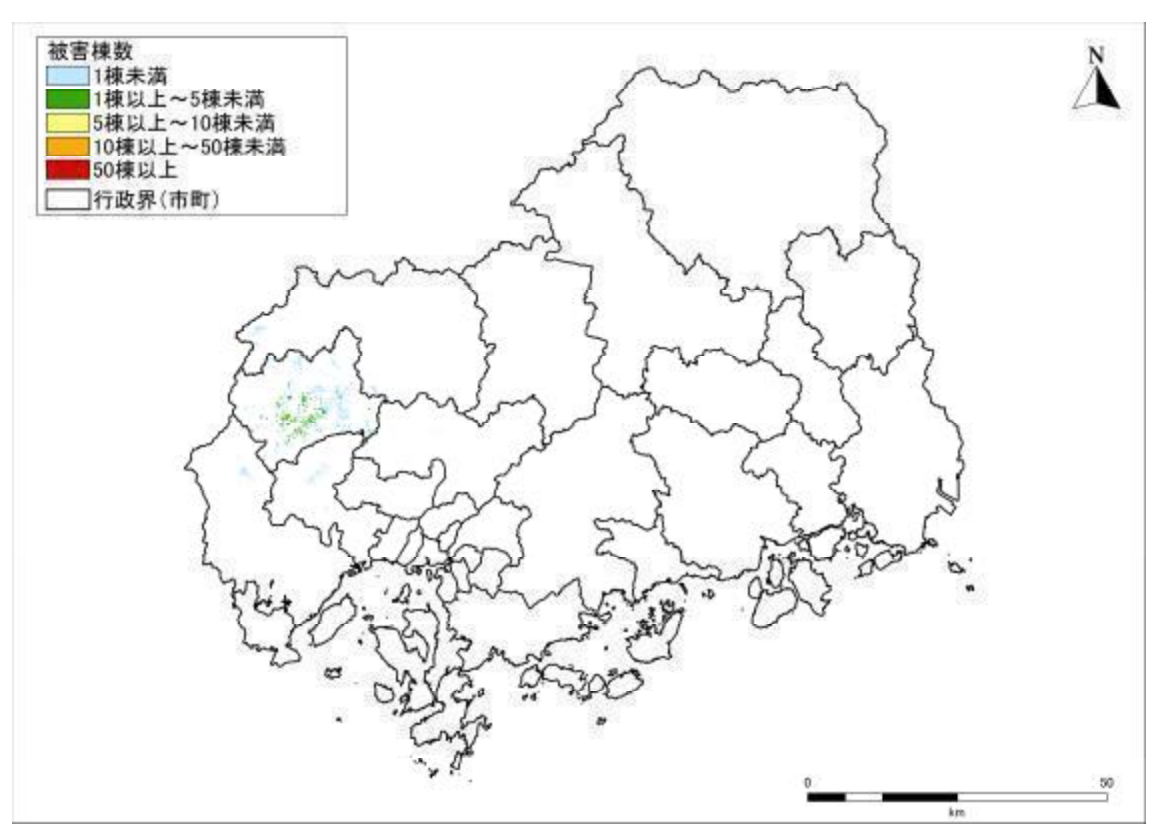


図Ⅲ.2.2-1(8) 揺れによる全壊棟数分布





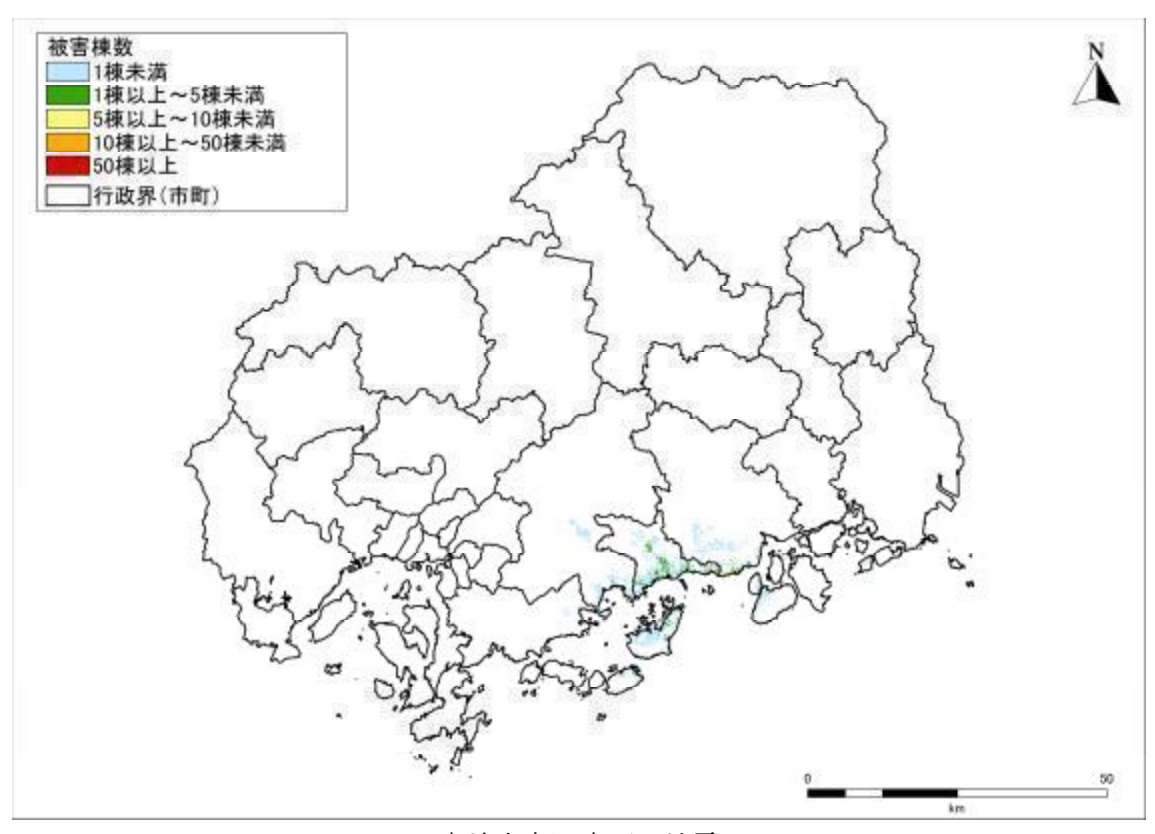
図Ⅲ.2.2-1(9) 揺れによる全壊棟数分布







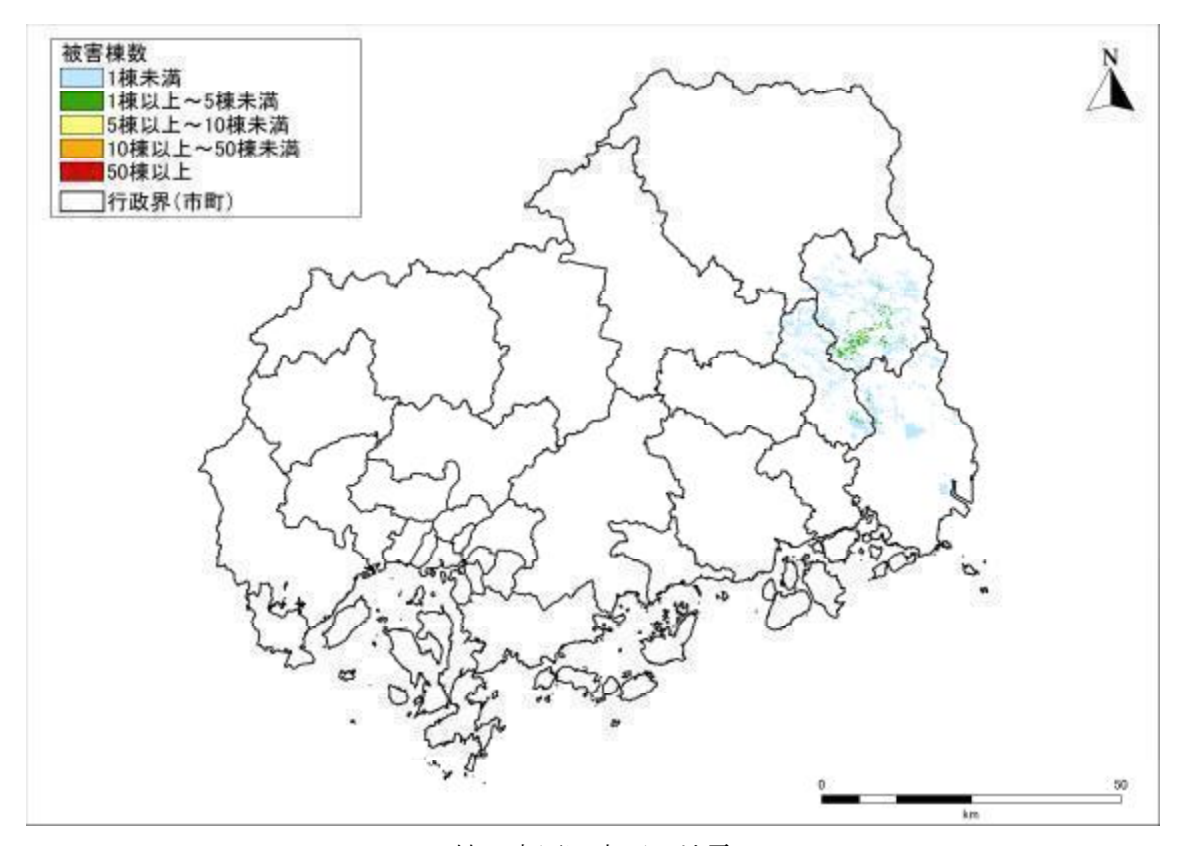
図Ⅲ.2.2-1(10) 揺れによる全壊棟数分布







図Ⅲ.2.2-1(11) 揺れによる全壊棟数分布

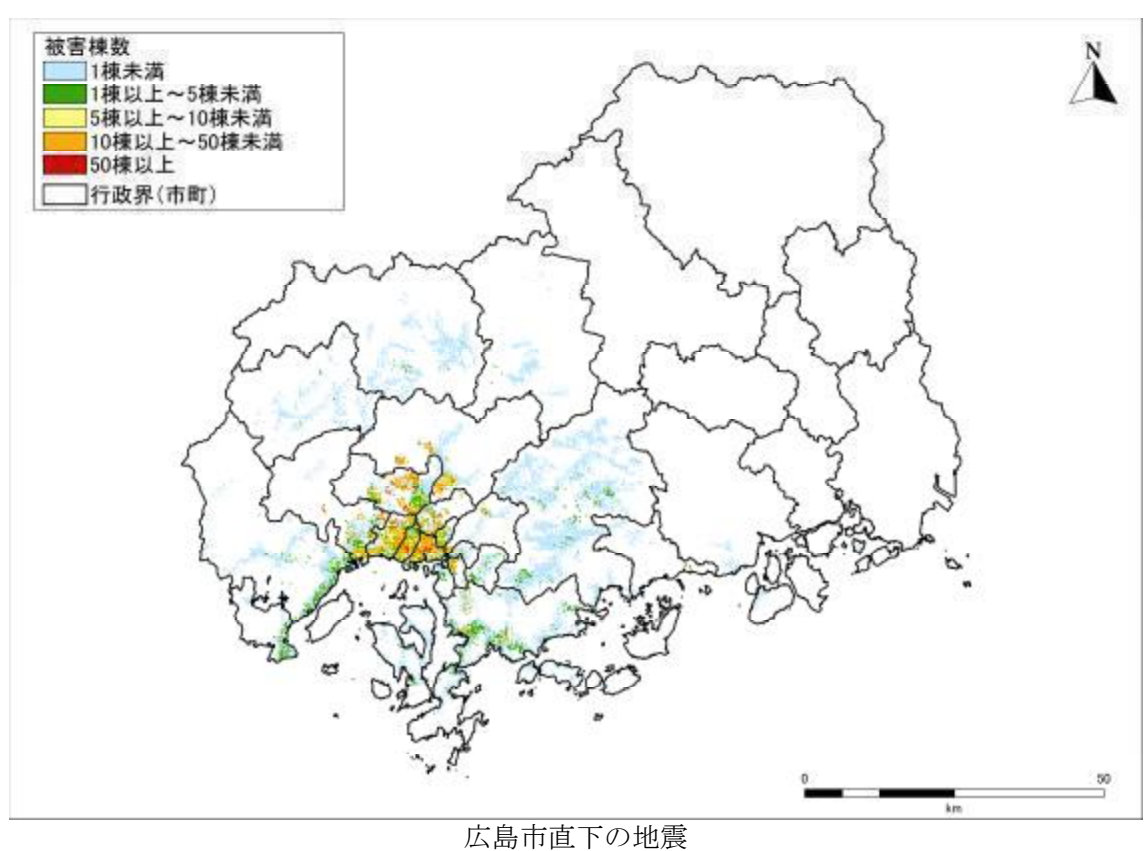


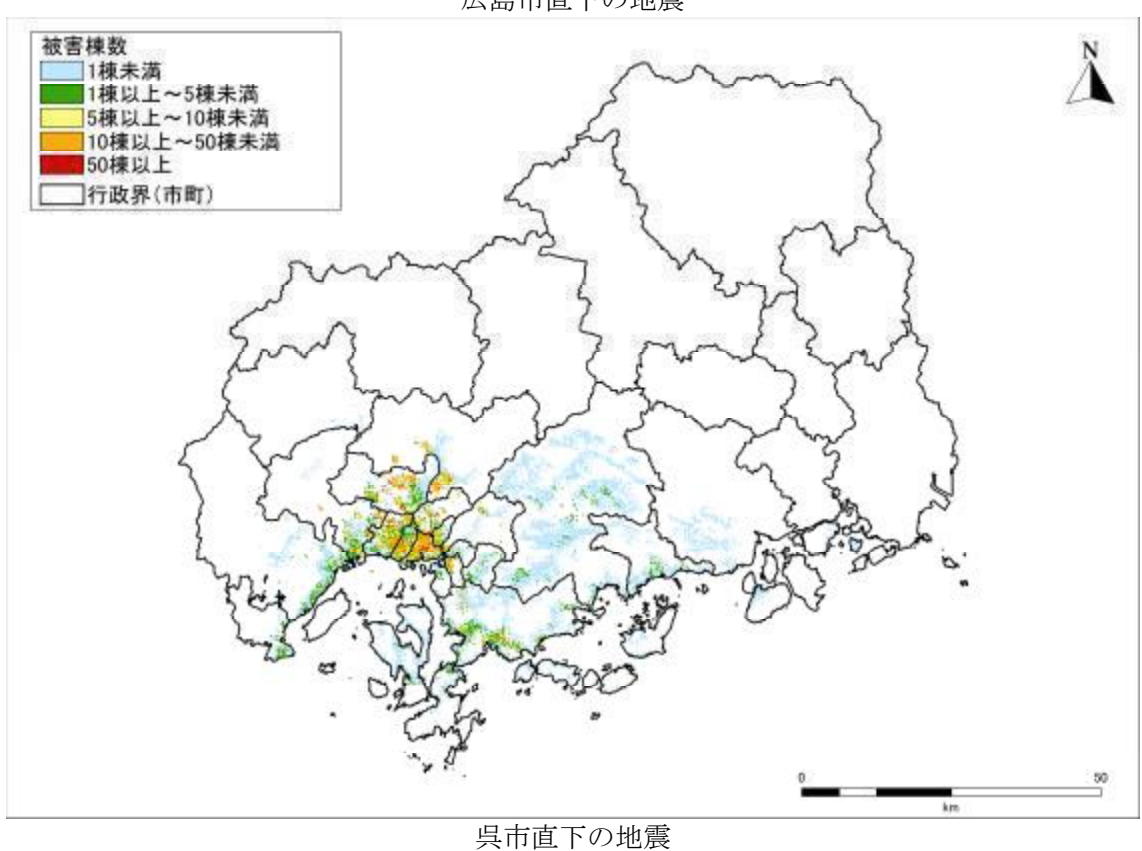
神石高原町直下の地震

図Ⅲ.2.2-1(12) 揺れによる全壊棟数分布

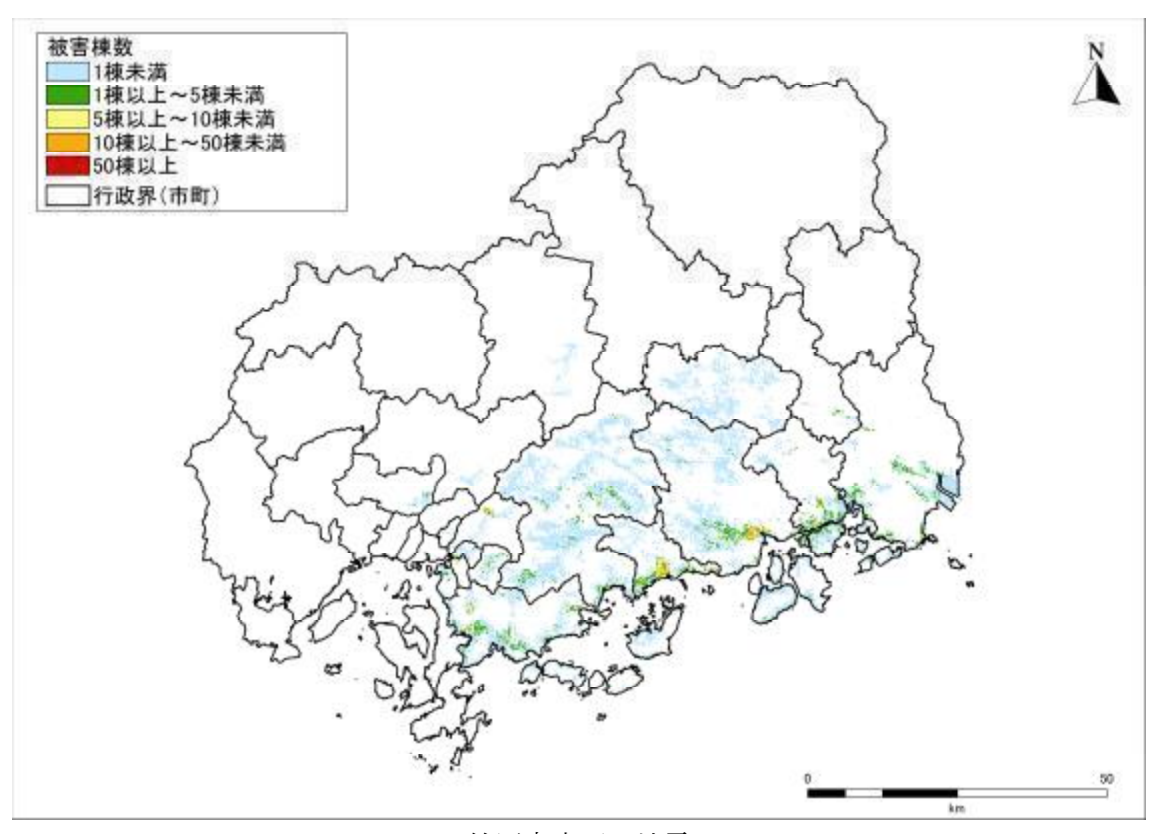
(2) 液状化による被害

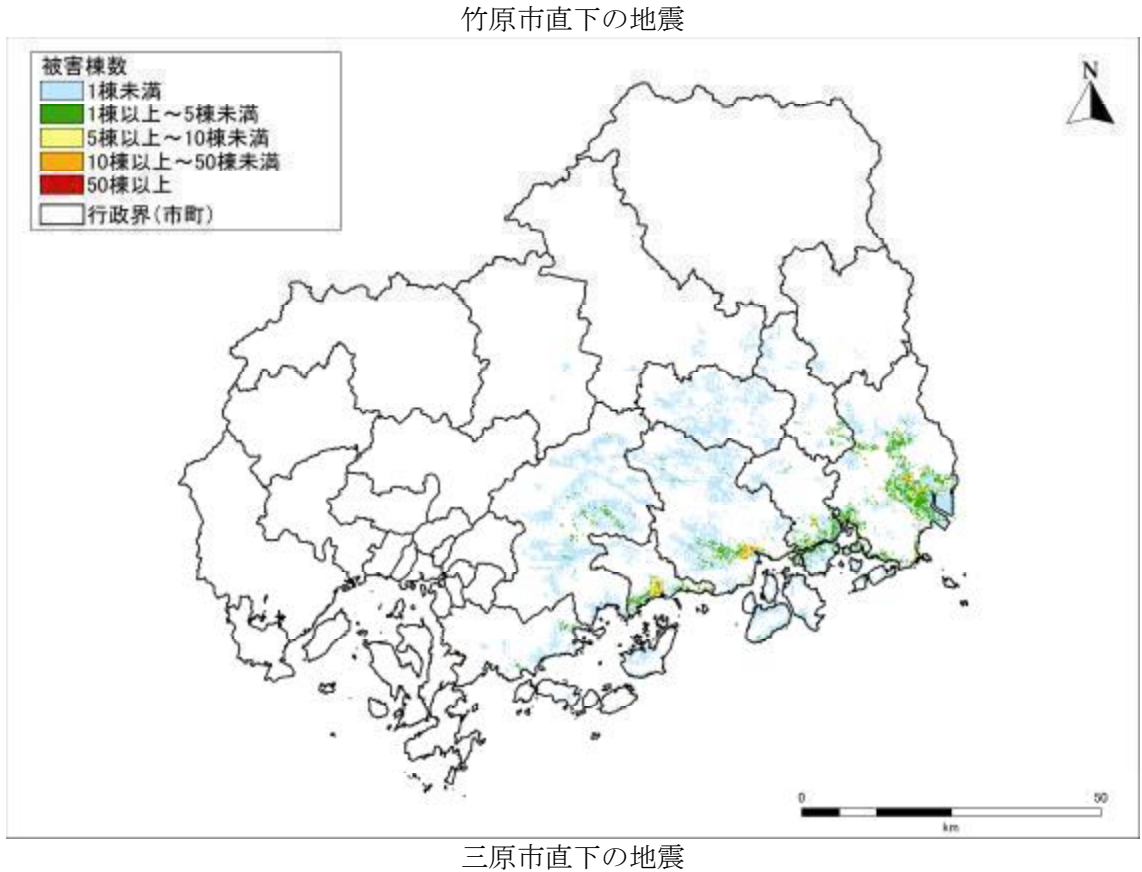
県内各市町役場の所在地に震源位置を仮定した23の地震を想定地震とする、液状化による建物被害を250mメッシュで表示した。



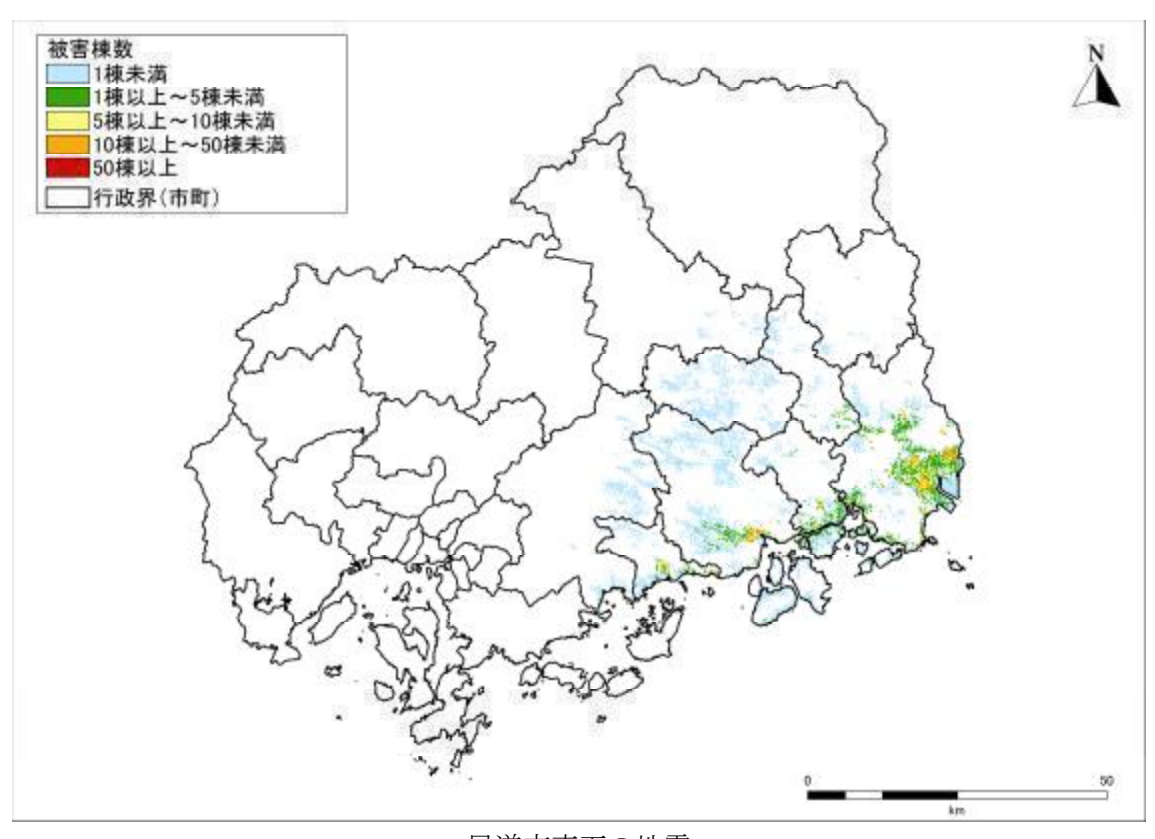


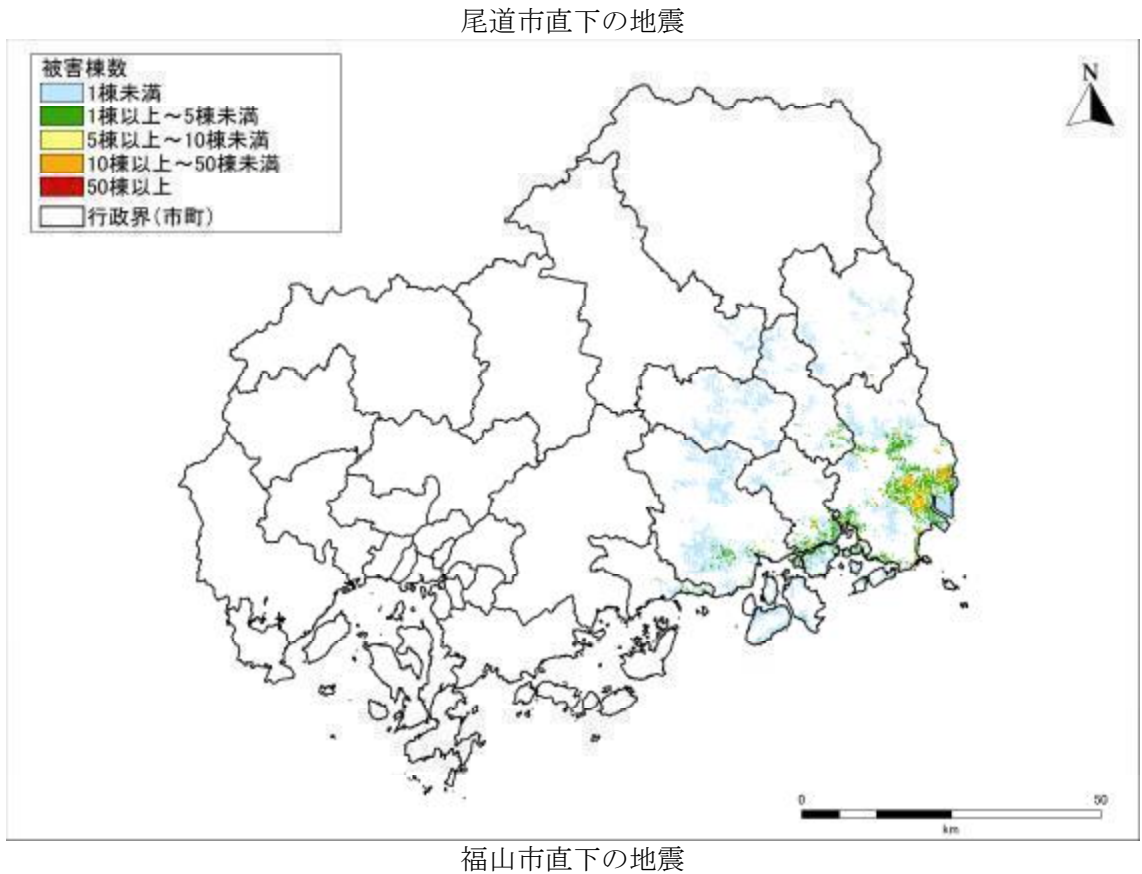
図Ⅲ.2.2-2(1) 液状化による全壊棟数分布



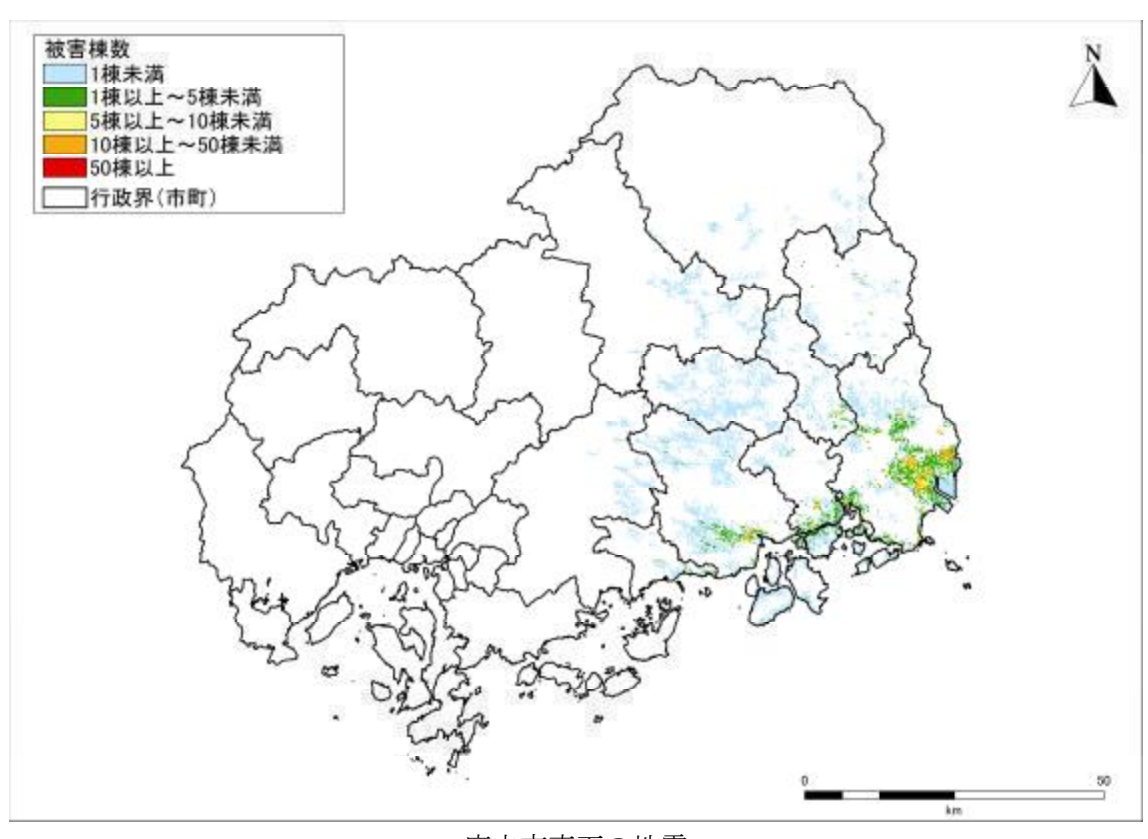


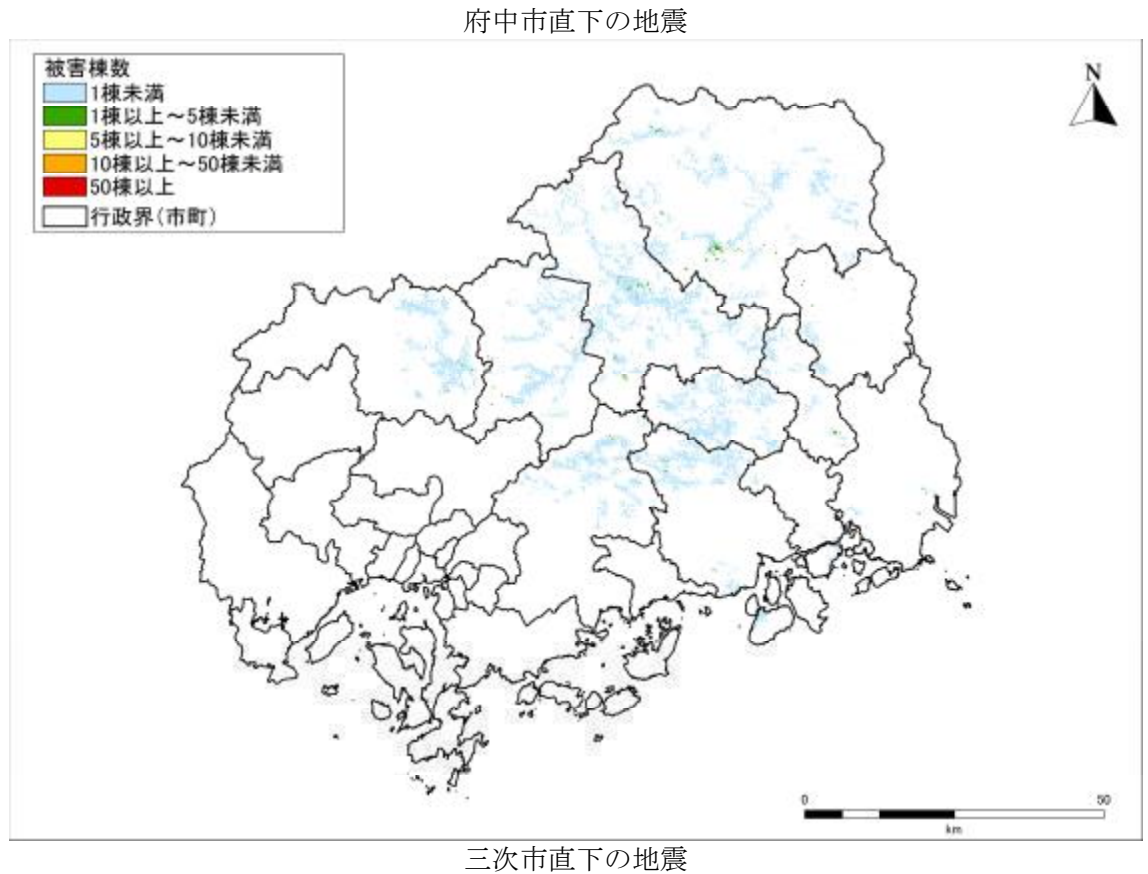
図Ⅲ.2.2-2(2) 液状化による全壊棟数分布



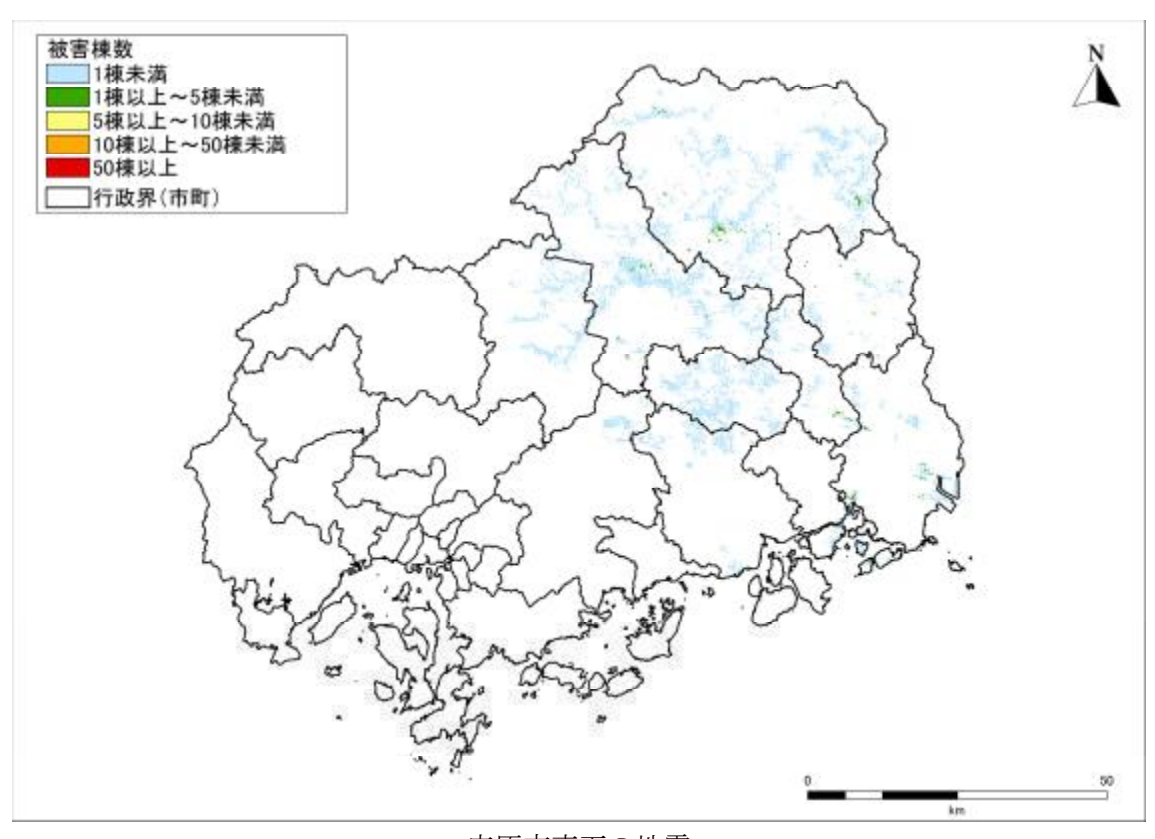


図Ⅲ.2.2-2(3) 液状化による全壊棟数分布



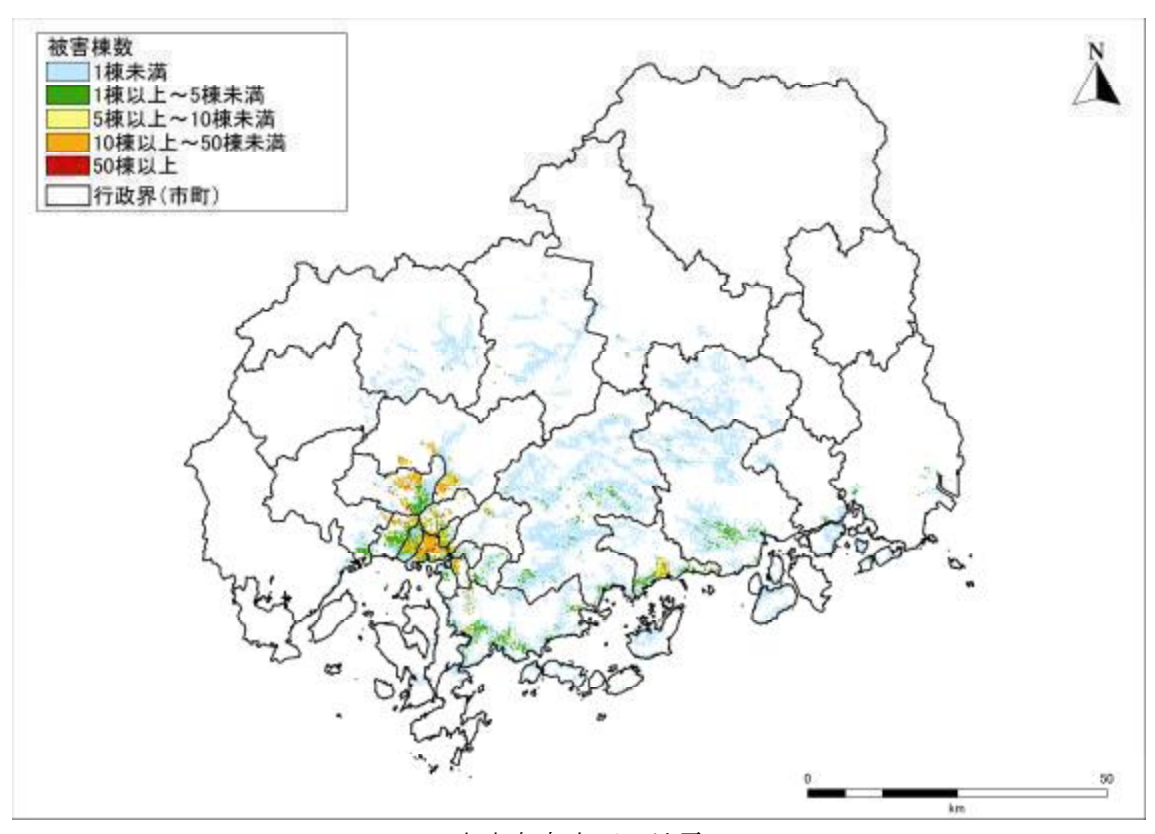


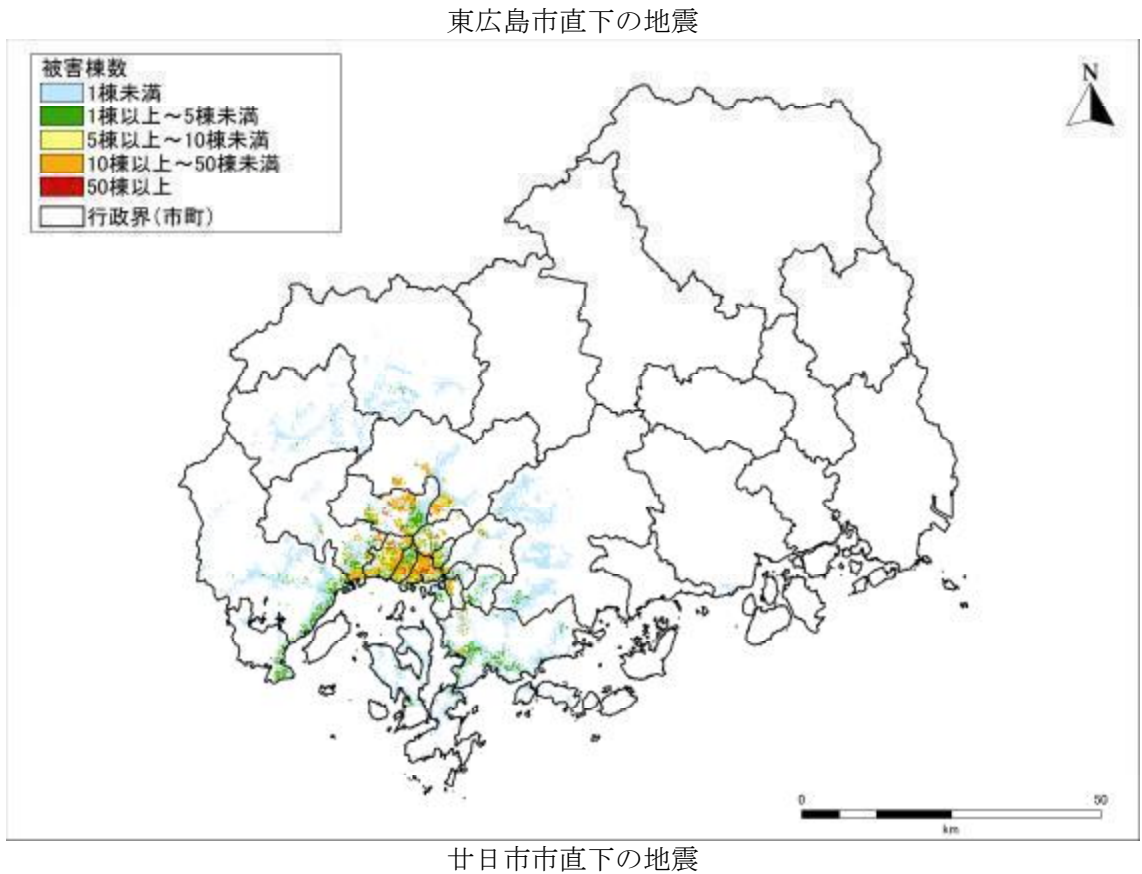
図Ⅲ.2.2-2(4) 液状化による全壊棟数分布



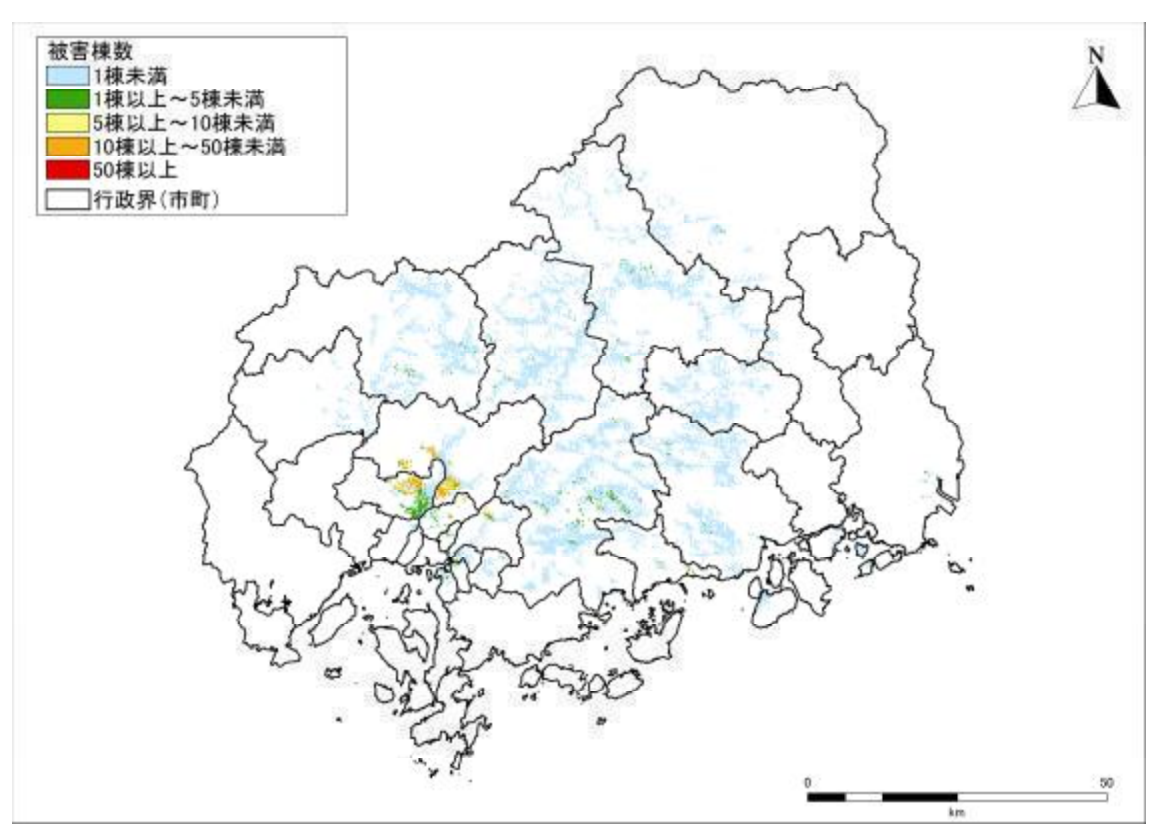


大竹市直下の地震 図Ⅲ.2.2-2(5) 液状化による全壊棟数分布

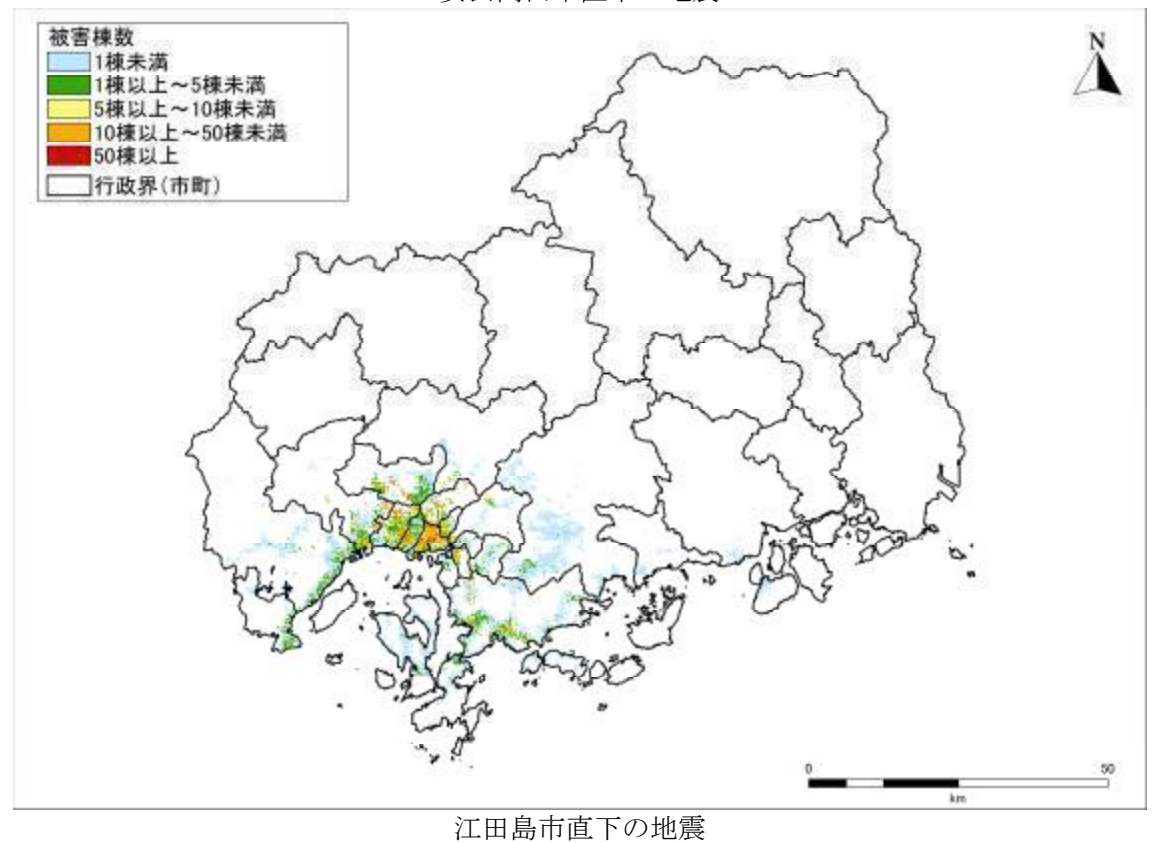




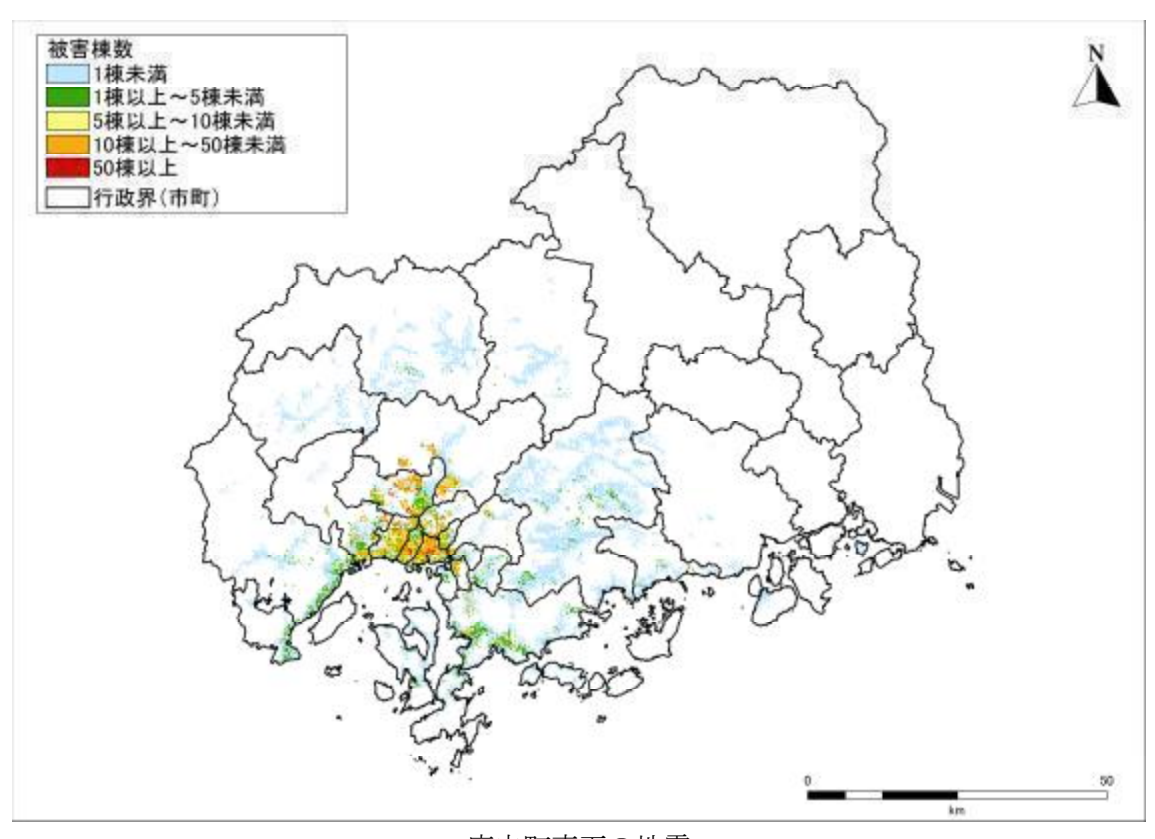
図Ⅲ.2.2-2(6) 液状化による全壊棟数分布

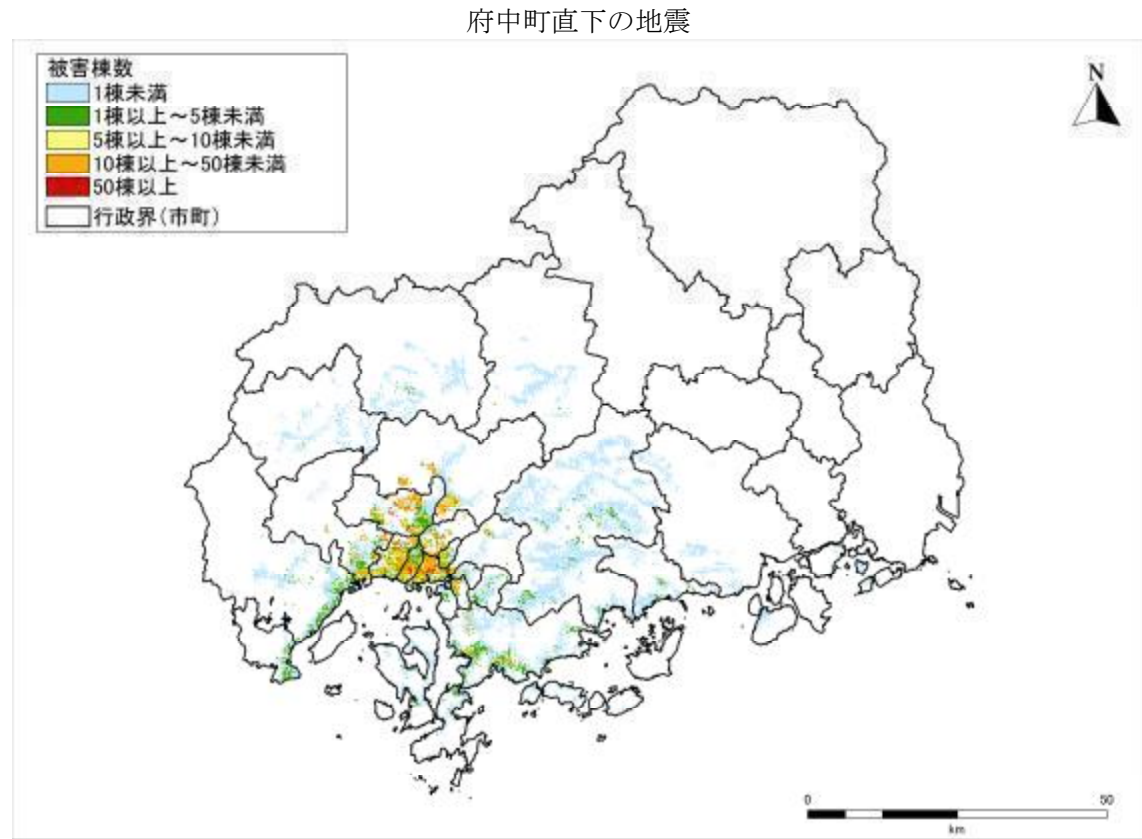




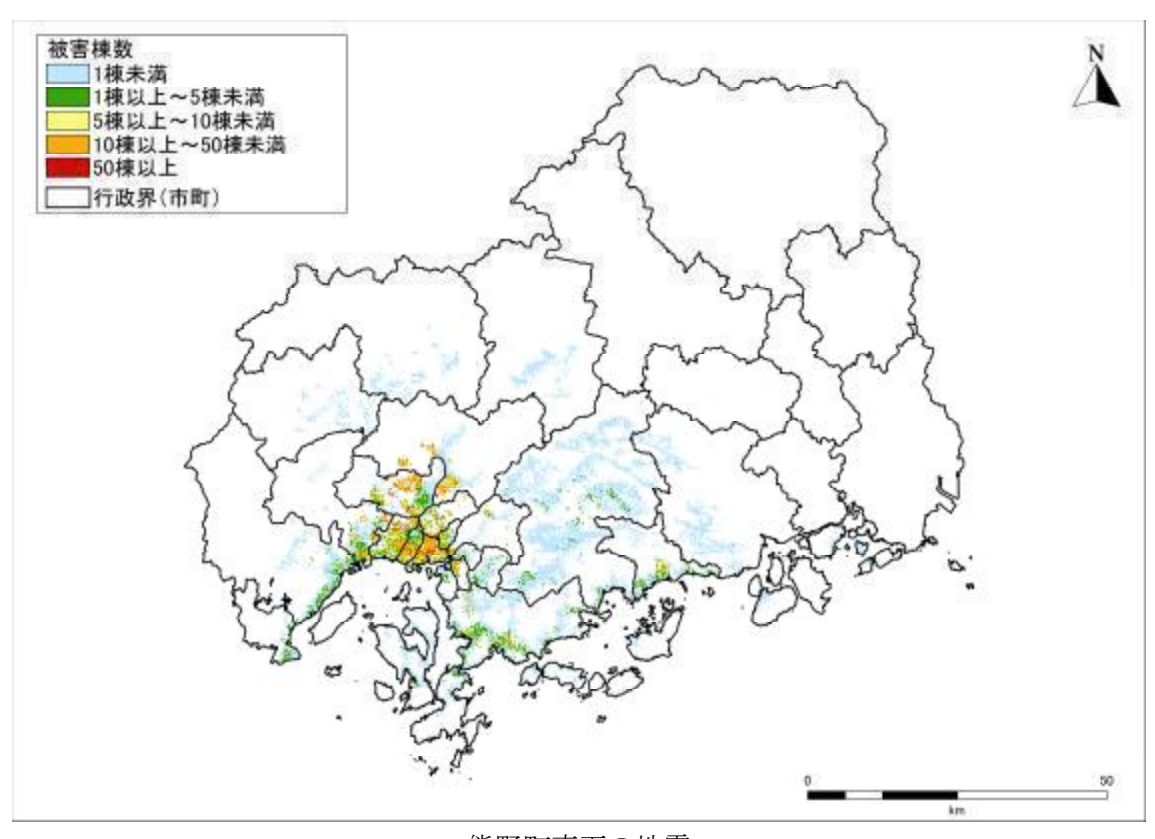


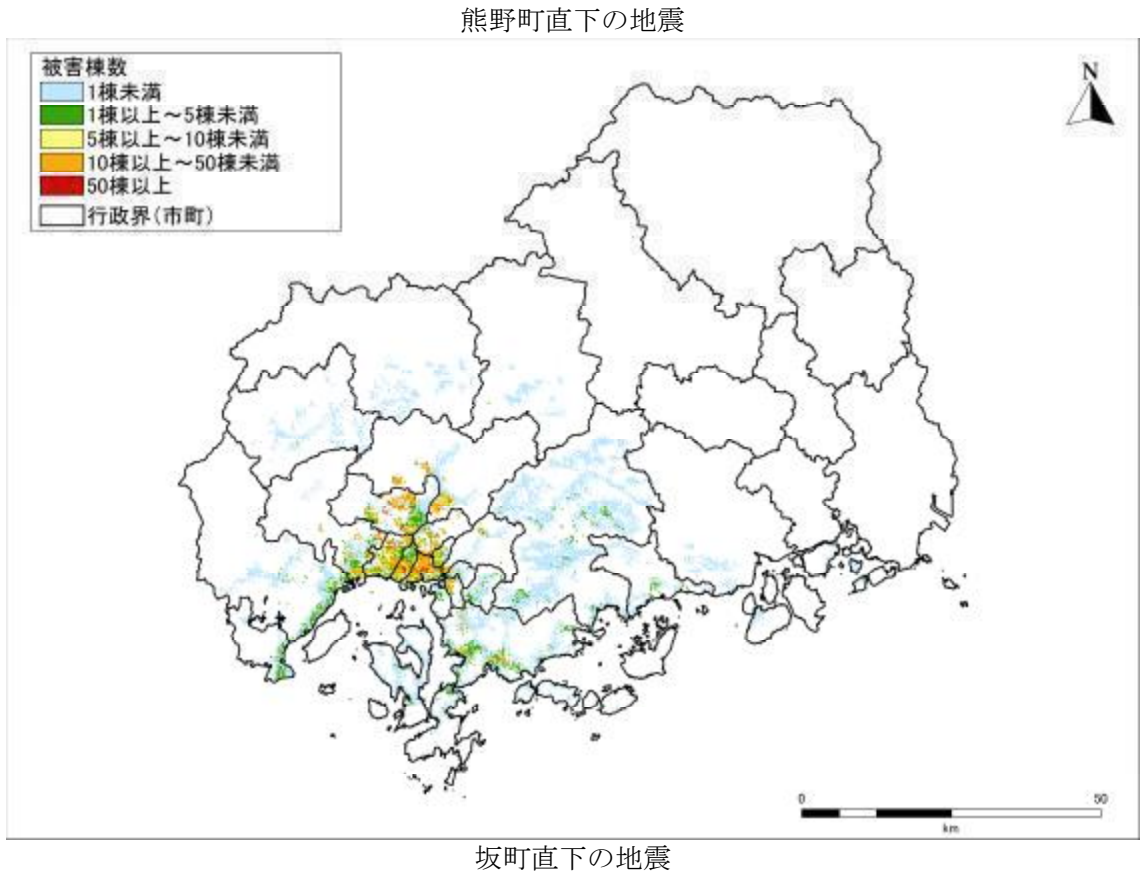
図Ⅲ.2.2-2(7) 液状化による全壊棟数分布



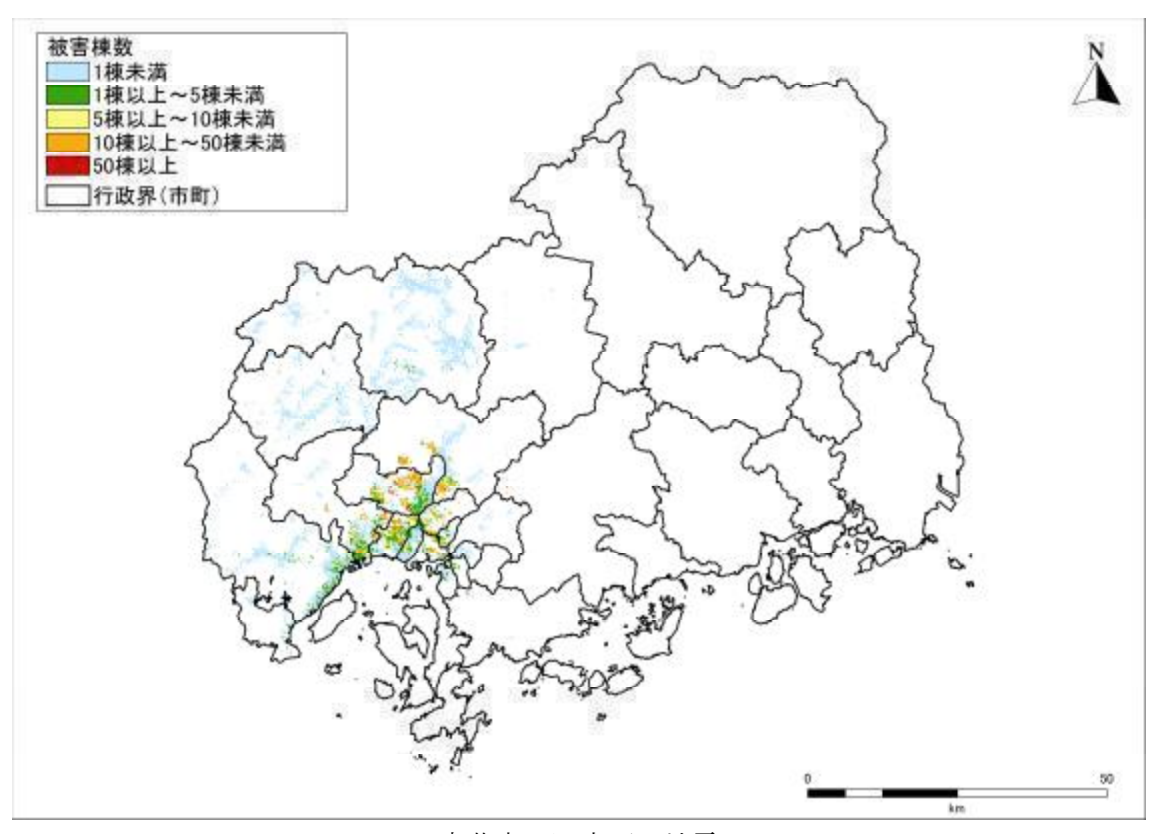


海田町直下の地震 図Ⅲ.2.2-2(8) 液状化による全壊棟数分布

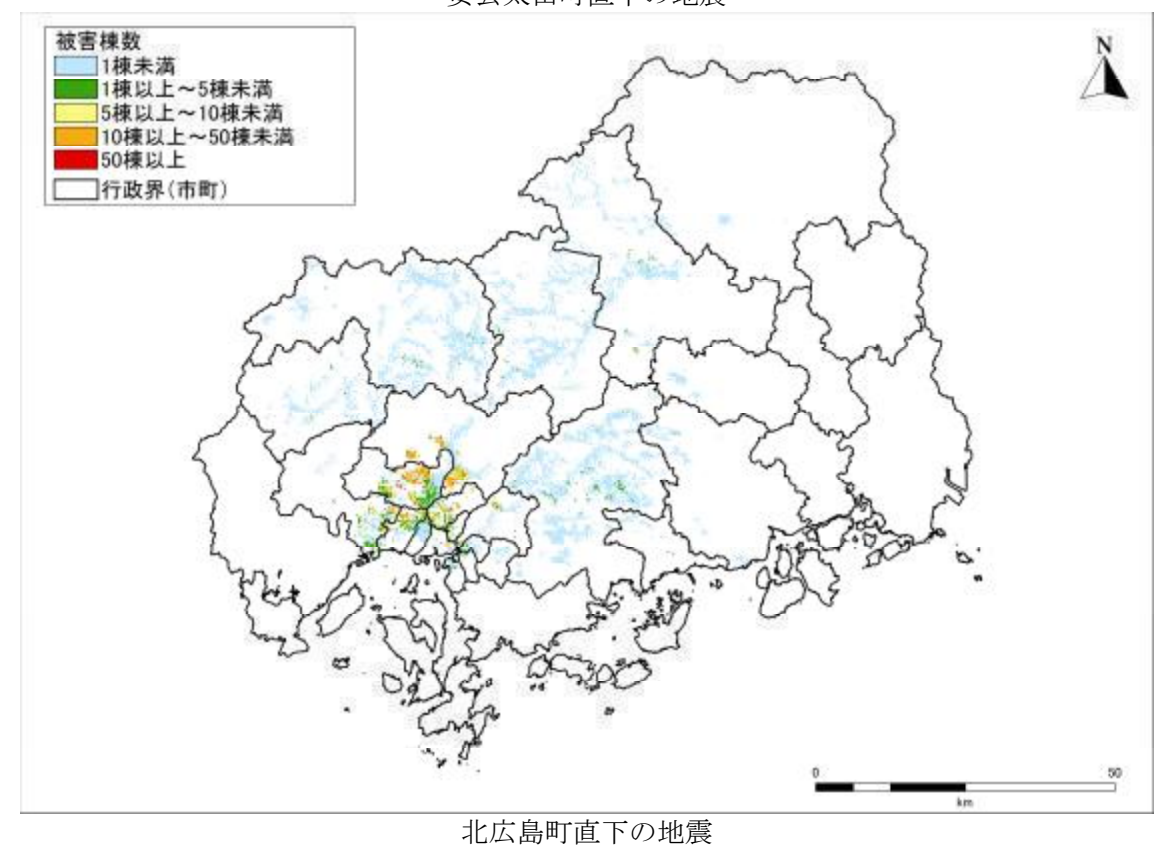




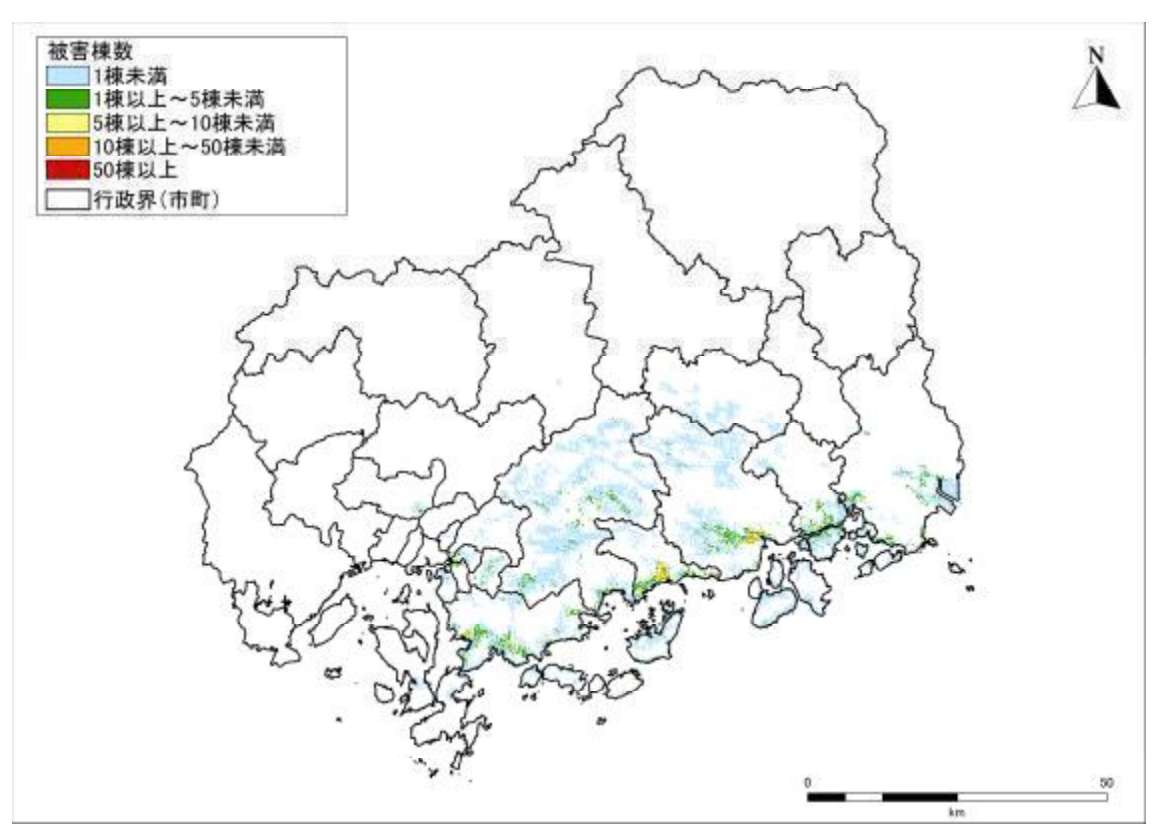
図Ⅲ.2.2-2(9) 液状化による全壊棟数分布



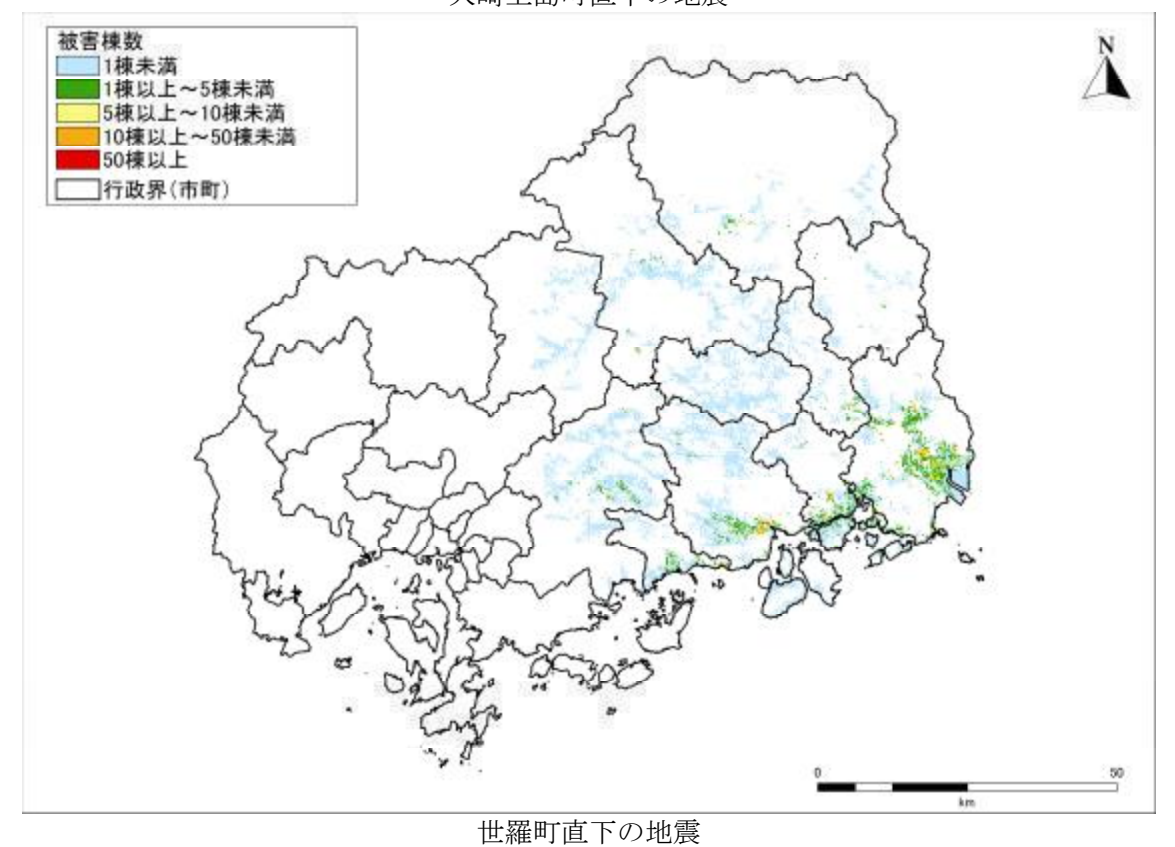




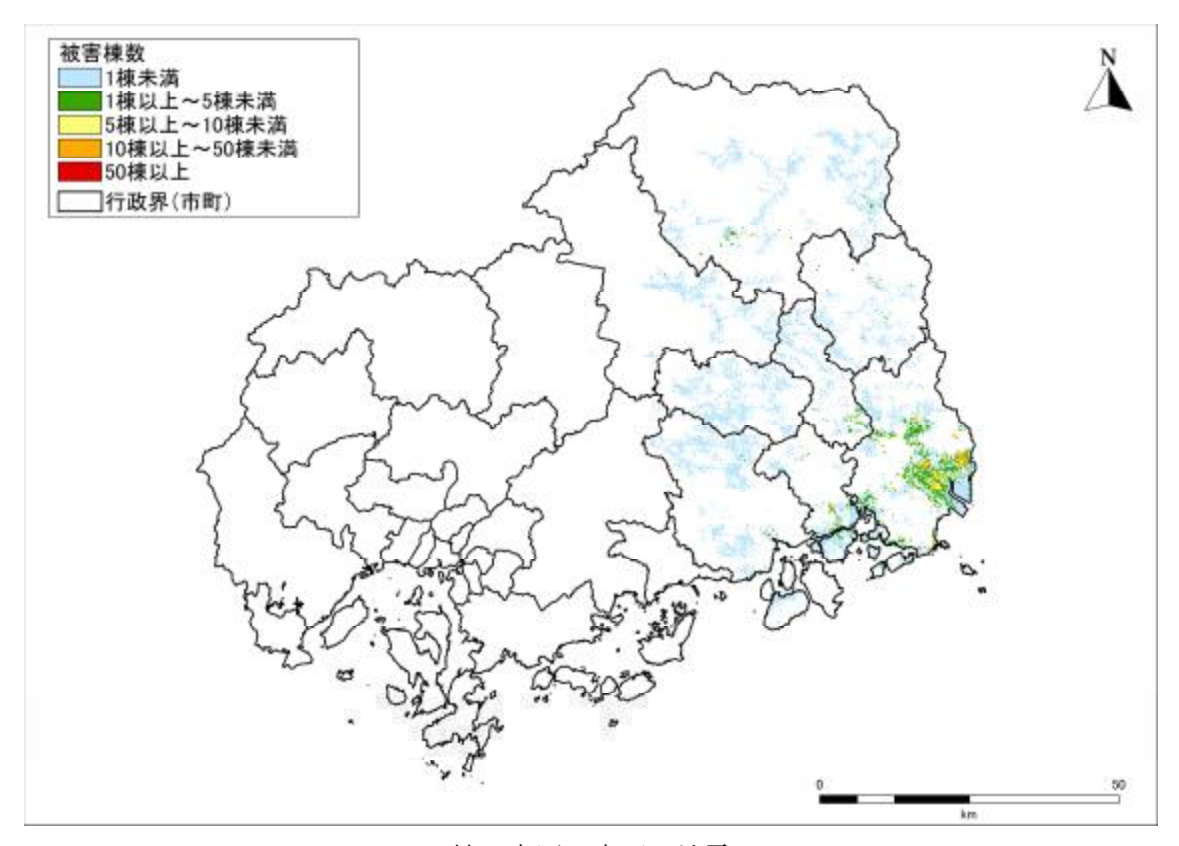
図Ⅲ.2.2-2(10) 液状化による全壊棟数分布







図Ⅲ.2.2-2(11) 液状化による全壊棟数分布



神石高原町直下の地震

図Ⅲ.2.2-2(12) 液状化による全壊棟数分布